

ГОСУДАРСТВЕННЫЙ ГЕОЛОГИЧЕСКИЙ КОМИТЕТ СССР  
ГОСУДАРСТВЕННЫЙ ПРОИЗВОДСТВЕННЫЙ  
ГЕОЛОГИЧЕСКИЙ КОМИТЕТ РСФСР  
ЧИТИНСКОЕ ГЕОЛОГИЧЕСКОЕ УПРАВЛЕНИЕ

ГЕОЛОГИЧЕСКАЯ  
КАРТА СССР

масштаба 1:200 000

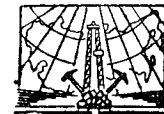
*Серия Восточно-Забайкальская*

Лист М-49-ХХII, XXVIII

Объяснительная записка

Составители: В. В. Старченко, В. П. Краснов  
Редактор Н. И. Тихомиров

Утверждено Научно-редакционным советом ВСЕГЕИ  
28 декабря 1961 г., протокол № 55



ИЗДАТЕЛЬСТВО «НЕДРА»  
МОСКВА 1965

## СОДЕРЖАНИЕ

|                                   | Стр. |
|-----------------------------------|------|
| Введение . . . . .                | 3    |
| Стратиграфия . . . . .            | 5    |
| Инtrузивные образования . . . . . | 25   |
| Тектоника . . . . .               | 42   |
| Геоморфология . . . . .           | 46   |
| Полезные ископаемые . . . . .     | 51   |
| Подземные воды . . . . .          | 65   |
| Литература . . . . .              | 68   |
| Приложения . . . . .              | 70   |

Редактор издательства *В. В. Кузовкин*

Технический редактор *В. В. Романова*

Корректор *А. В. Сергеева*

Подписано к печати 24/VIII—65 г. Формат 60×90<sup>1</sup>/<sub>16</sub> Печ. л. 6 Уч.-изд. л. 7,2  
Тираж 100 экз. Зак. № 04176

Издательство «Недра». Москва. Центр, ул. Кирова, 24  
Типография фабрики № 9 ГУГК

## ВВЕДЕНИЕ

Территория листов М-49-ХХII, М-49-ХХVIII расположена между  $49^{\circ} 11' 00''$ — $50^{\circ} 00'$  с. ш. и  $111^{\circ} 00'$ — $112^{\circ} 00'$  в. д.; по административному делению относится к Кыринскому и Улётовскому районам Читинской области. На этой площади находится районный центр — с. Кыра — и села Билютуй, Алтан, Шумунда, а также небольшие поселки Букукун, Верхний Букукун, Усть-Букукун и Аршантуй, связанные между собой грунтовыми дорогами. В остальной части района сообщение возможно только по вьючным тропам. Район в основном сельскохозяйственный, скотоводческий.

В орографическом отношении данная территория расположена в пределах Даурского и частично Борщовочного и Ононского (Пограничного) хребтов. Даурский и Борщовочный хребты отделены от Ононского узкой Алтано-Куиринской впадиной. Максимальные высотные отметки Даурского хребта достигают 1900—2499 м (гора Соходно), а Борщовочного и Ононского хребтов — 1500—1600 м. Минимальные отметки (900—1000 м) приурочены к Алтано-Кыринской впадине. Относительные превышения колеблются от 300 до 500 м и редко достигают 700 м.

Крупнейшие реки района — Букукун, Агуца, Кыра и Былыра — принадлежат системе р. Онон. В Даурском хребте у горы Цохондо располагаются истоки р. Ингода. Все реки имеют горный характер.

По особенностям природных условий в районе выделяются три ландшафтные зоны: гольцовская, охватывающая водораздельную часть Даурского хребта и его наиболее высокие отроги; горно-таежная, представляющая наибольшую часть площади листа, и лесостепная, расположенная в пределах Алтано-Кыринской впадины и частично к югу от нее. Климат района резко континентальный со значительными колебаниями сезонных и суточных температур. Средняя годовая температура для горно-таежной зоны равна  $-3,5^{\circ}$ , количество осадков 366—470 мм в год; в лесостепной зоне соответственно  $-2,2^{\circ}$  и 290—340 мм в год. Максимальное количество осадков приходится на летний период, особенно на июль. Средняя летняя температура плюс

15—плюс 17°. Средняя температура в зимние месяцы колеблется в пределах минус 20—минус 28°.

Глубина снежного покрова в горно-таежной зоне достигает 30 см, в гольцовской — 1—1,5 м. В лесостепной зоне снег полностью сдувается ветром еще в начале зимы. Реки замерзают в первой половине ноября и вскрываются в начале мая.

Первые сведения о геологии рассматриваемого района были получены в 80—90-е годы прошлого столетия при маршрутных исследованиях и посещениях золоторудных месторождений В. А. Обручевым, Стаковским, А. Я. Макеровым, Степановым и А. П. Герасимовым. После Октябрьской революции в конце 20-х и начале 30-х годов на территории листа М-49-XXII и на сопредельных с ним площадях геологические съемки масштаба 1 : 200 000 были проведены Ю. П. Деньгиным (1928—1929 г.) И. П. Атласовым (1929 г.) и Б. А. Максимовым (1932—1933 гг.). Б. А. Максимовым были закартированы южная и западная части площади листа М-49-XXII. Развитые здесь метаморфизованные песчанико-сланцевые отложения он расчленил на четыре толщи и условно датировал их как среднепалеозойские, а прорывающие их интрузии гранитоидов считал древнекиммерийскими. Им были выделены также отложения нижнего мела.

Ю. П. Деньгиным предложено более сложное расчленение интрузивных пород с выделением трех разновозрастных интрузий. После открытия С. С. Смирновым оловянного месторождения Хапчеранга, на территории листа М-49-XXII за период с 1931 по 1955 г. проводились интенсивные поисковые работы, главным образом на олово. Наиболее успешными в этом отношении были работы А. П. Скрябикова (1934 г.) в районе горы Цохондо, В. А. Борца (1946—1947 гг.) в верховьях р. Былыры и А. Я. Колтуна (1954—1955 гг.) в верховьях Букукуна, в результате которых были открыты Сохондинское, Былыринское и Букукунское месторождения олова. В геологическом отношении из работ этого периода наиболее интересны исследования М. С. Нагибиной и Е. А. Радкевич (1938 г.), А. С. Стругова (1938 г.), П. Е. Луненка и Е. К. Дербиной (1939 г.), С. Н. Соколова, Е. К. Селезневой (1944 г.), С. Н. Коровина (1940 г.), Т. К. Курьянова (1949—1950 гг.), В. В. Аристова (1951 г.), Т. И. Кудиновой (1952—1953 гг.) и др., в результате которых было установлено, что в районе имеют место разновозрастные осадочные, эфузивные и интрузивные образования среднепалеозойского, пермского, триасового, юрско-мелового и четвертичного возраста.

Однако составленные указанными авторами карты страдают схематизмом, особенно в части, касающейся расчленения палеозойских отложений.

С 1955 по 1958 г. на территории листа В. П. Краснов, В. В. Старченко, В. А. Варламов и А. В. Аргутин проводили полевые съемочные и контрольно-увязочные работы в масштабе

1 : 200 000. В это же время А. Я. Колтуном (1955—1958 гг.), В. И. Шулико и Е. А. Беляковым (1956 г.), А. В. Внуковым (1956 г.), Р. А. Хазовым (1957 г.) и Е. А. Беляковым (1958 г.) велись поисково-съемочные работы в масштабе 1 : 50 000. В результате этих работ были значительно детализированы схемы стратиграфии и магматизма исследованной территории. В частности, А. Я. Колтуном, В. И. Шуликой, Е. М. Беляковым, В. П. Красновым и В. В. Старченко впервые произведено детальное расчленение пермо-триасовых, триасовых и раннеюрских интрузий, а также палеозойских, мезозойских и четвертичных отложений. Эти материалы положены в основу при составлении настоящей записи и геологической карты.

Одновременно геологами ВСЕГЕИ под руководством Н. И. Тихомирова велись тематические работы по изучению гранитоидов и металлогении района. Н. И. Тихомиров пришел к выводу, что подавляющее количество крупных гранитных интрузий Центрального Забайкалья имеет послепермский возраст, что подтверждилось геологосъемочными работами. В 1958—1960 гг. в пределах Алтано-Кыринской впадины производились поисковые буровые и геофизические работы на уголь под руководством Г. Н. Золотухина и И. Х. Тимбекова, а в бассейне рч. Газулутый были проведены съемки и поиски масштаба 1 : 50 000 под руководством М. И. Тулохонова. Составленная последним геологическая карта не учтена при составлении карты листа М-49-XXII.

## СТРАТИГРАФИЯ

Осадочные и эфузивные образования на территории листов М-49-XXII и XXVIII представлены большей частью немыми песчанико-сланцевыми толщами средне-верхнепалеозойского возраста. Стратиграфический разрез представлен силурийской, девонской, каменноугольной, пермской, юрской, меловой, палеогеновой и четвертичной системами.

### СИЛУРИЙСКАЯ (?) СИСТЕМА

#### Ононская свита

Ононская свита развита в юго-восточной части площади листа М-49-XXII. Она является наиболее древней в районе, обнажается в ядре крупной антиклинальной структуры и имеет гектонические контакты с отложениями ундургинской свиты девона. Ононская свита представлена слюдисто-кварцевыми филлитами, филлитизированными песчаниками и микрокварцитами, горизонтами зеленых ортосланцев (метаэфузивов) и нередко известняков. Общая степень регионального метаморфизма отложений соответствует высоким ступеням филлитовой фации. Для пород свиты характерно развитие чрезвычайно мелкой гофрировки и плойчатости. Отличительной особенностью свиты является также повсеместное развитие тонких (1—3 мм)

послойных кварцевых обособлений (инъекций), образовавшихся в результате метаморфической дифференциации вещества в условиях высокого метаморфизма филлитовой фации. По литологическим особенностям отложения ононской свиты разделяются на две подсвиты: нижнюю и верхнюю.

**Нижняя подсвита ( $S? op_1$ )** обнажается в ядрах крупных антиклинальных складок. Она закартирована в бассейне рч. Газулутый. В состав подсвиты входят сильно плойчатые кварцево-слюдистые сланцы (филлиты), кварцito-песчаники, микрокварциты, слюдистые песчаники, зеленые ортосланцы и изредка известняки.

Нижние горизонты подсвиты обнажаются у восточной рамки планшета, по левобережью рч. Газулутый, в бассейнах падей Хурай-Шивыр и Осоты-Хурулты. Они представлены тонко плойчатыми слюдисто-кварцевыми филлитами, чередующимися (слоями мощностью от 5 до 10 см и больше) с плитчатыми волнисто-гофрированными кварцito-песчаниками, горизонтами зеленых ортосланцев (хлорит-актинолитовых, эпидот-актинолитовых и др.) и с прослоями мраморизованных известняков. На водоразделе рч. Газулутый и пади Хурай-Шивыр выходят средние горизонты нижней подсвиты, которые имеют следующий разрез (снизу вверх):

|  |          |
|--|----------|
| 1. Черные слюдистые филлиты с бластоалевропелитовой структурой . . . . .   | 100 м    |
| 2. Темно-зеленые хлорит-актинолитовые сланцы . . . . .   | 50—100 „ |
| 3. Темно-зеленые и черные плотные слоистые слюдистые филлиты . . . . .   | 100 „    |
| 4. Плотные слоистые волнисто-гофрированные кварцito-песчаники серого цвета, чередующиеся с мелкоплойчатыми черными слюдисто-кварцевыми филлитами. Мощность псаммитовых прослоев 5—8 см, плойчатых филлитов 5—15 см . . . . . | 400 „    |
| 5. Слюдистые темно-серые филлиты (по алевролитовым сланцам) . . . . .  | 100 „    |
| 6. Черные тонкослоистые микрокварциты . . . . .  | 100 „    |
| Примерная мощность средних горизонтов около 800—900 м.   |          |

В верхней части разреза подсвиты присутствуют горизонты зеленых ортосланцев (метаэфузивов) и зеленовато-серых и желто-серых филлитизированных песчаников мощностью от 5—10 до 200 м.

Общая видимая мощность нижней подсвиты оценивается в 1300—1500 м.

**Верхняя подсвита ( $S? op_2$ )** закартирована на обширной площади в бассейнах рч. Газулутый и пади Ср. Кормачи. В состав подсвиты входят филлиты по алеврито-псаммитам, слюдистые песчаники и сланцы, горизонты зеленых ортопород. Эти породы переслаиваются пластами разной мощности (от сантиметров до десятков метров) без видимой закономерности.

В низах разреза, непосредственно на слюдистых филлитах нижней подсвиты, залегают горизонты зеленых ортосланцев и

слюдистых филлитизированных зеленовато-серых песчаников мощностью от 5—10 до 50—80 м, обычно чередующихся с пластами филлитизированных алеврито-псаммитов. Алеврито-псаммиты представляют собой тонкое чередование выклинивающихся линзочек и прослоев мощностью от 2 мм до 10 см филлитизированных алевропелитовых сланцев и тонкозернистых песчаников. Мощность нижней части подсвиты оценивается в 400—500 м.

Выше по разрезу развита однородная толща филлитизированных алеврито-псаммитов, содержащая редкие разрозненные прослои мощностью 10—30 м серых филлитизированных песчаников и зеленых ортосланцев.

Общая мощность верхней подсвиты достигает, по-видимому, 700—1000 м, а всей ононской свиты 2500 м.

Наиболее развитые в составе нижней подсвиты **слиудистые, кварцево-слиудистые сланцы (филлиты)** представляют собой зеленовато-серые и темно-серые плойчатые породы с шелковистым блеском по плоскостям отдельности. На поперечном изломе обнаруживается интенсивная гофрировка тонких прослоев (мощностью 1—5 мм) разного цвета — от черного до зеленовато-серого. Слюдистые филлиты обладают микролепидогранобластовой, микрогранобластовой и бластоалевролитовой структурой и слоисто-сланцеватой полосчатой текстурой. Главные породообразующие минералы: кварц, биотит, хлорит, серицит, мусковит, альбит; втростепенные: гранат, турмалин, сфен, лейкоксен, циркон и рудные. Присутствует распыленное углистое вещество. По преобладанию тех или иных минералов среди филлитов можно выделить кварцево-хлоритовые, кварцево-хлорит-серицитовые, кварц-серицитовые, мусковит-кварцевые и другие сланцы.

**Микрокварциты и кварцito-песчаники** представляют собой плойчатую породу серого и темно-серого цвета. Они обладают сутурной, мозаичной и бластоалевропсаммитовой структурой, яснослоистой текстурой. В составе пород главную роль играет кварц, образующий удлиненные вдоль слоистости зерна размером 0,04—0,1 мм. Подчиненное значение имеют чешуйки биотита, мусковита, серицита и изометричные зерна граната. В породе обнаруживаются мелкие кластические зерна полевых шпатов и микрокварцитов.

**Слюдистые (филлитизированные) песчаники** представляют собой плотную темно-серую и зеленовато-серую, местами довольно плойчатую породу с гранобластовой и бластоалевропсаммитовой структурой. Обломки остроугольной формы представлены кварцем, разложенным плагиоклазом и калиевым полевым шпатом с вростками альбита. Цементирующая масса мелкозернистая и соответствует вышеописанным кварцево-слиудистым сланцам.

**Зеленые ортосланцы** макроскопически представляют собой плотные, местами рассланцованные породы светло-темно-зеле-

ного цвета, иногда с голубоватым оттенком. Они содержат кварц-карбонатные и кварц-карбонат-эпидотовые послойные обособления, аналогичные кварцевым обособлениям в филлитах. В ортосланцах обнаруживается гранобластовая, фибронематобластовая, микролепидогранобластовая и реже бластодиабазовая и бластопилотакситовая структуры. Минералогический состав: актинолит, эпидот, цоизит, хлорит, серцицит, карбонаты, кварц, альбит, апатит, сфен и рудные. По минералогическому составу выделяются: актинолитовые, клиноцоизит- и эпидот-актинолитовые, хлоритовые, карбонат-кварц-хлоритовые и другие разности. Описываемые породы являются продуктами зеленокаменного изменения магматических пород основного и среднего состава.

В сопредельных районах Восточной Монголии, у г. Ундуур-Хан, по данным П. А. Маринова (1957), В. Г. Васильева и др. (1959), в отложениях, аналогичных ононской свите и представленных филлитами и зеленокаменными эфузивами с прослоями известняков, обнаружен большой комплекс силурийской фауны. На Агинском палеозойском поле ононская свита согласно перекрывается усть-борзинской свитой, в которой обнаружена фауна нижнего — среднего девона (Амантов, 1959ф). На этом основании ононская свита считается условно силурийской.

## ДЕВОНСКАЯ СИСТЕМА

### Нижний — средний отделы

#### Ундургинская свита

Ундургинская свита распространена на значительных площадях, в основном в южной части территории. Она представлена филлитовидными сланцами и граувакковыми песчаниками. Присутствуют горизонты и прослои мраморизованных известняков, зеленых ортосланцев и изредка гравелитов и мелкогалечных конгломератов. Общая степень регионального метаморфизма отложений не превышает низких и средних степеней филлитовой фации. По литологическим признакам ундургинская свита разделяется на три подсвиты.

Нижняя подсвита ( $D_{1-2} up_1$ ) выходит в ядрах антиклинальных структур в вершинах падей Ближние Кормачи, Зун- и Барун-Баяктоли, в бассейне рч. Курейкан, в низовьях рек Киркун и Букукун, по левобережью рч. Передний Алтан и в ее верховьях. Разрез подсвиты наиболее полно изучен по левобережью р. Букукун, к югу от одноименного поселка, где он имеет следующий вид (снизу вверх).

- |   |           |
|---|-----------|
| 1. Черные узловатые контактово-метаморфизованные алевролитовые сланцы . . . . . | 50 м      |
| 2. Белые массивные и слабополосчатые мраморизованные известняки . . . . .       | 100—120 „ |
| 3. Черные окремненные сланцы . . . . .  | 60 „      |

|   |         |
|---|---------|
| 4. Мраморизованные известняки . . . . .   | 4 м     |
| 5. Черные роговики (по алевролитовым сланцам) . . . . .   | 50 „    |
| 6. Мраморизованные битуминозные известняки белого цвета с двухметровыми прослоями (вверху пачки) зеленых известковистых сланцев . . . . . | 120 „   |
| 7. Черные алевролитовые сланцы, переслаивающиеся с серыми мелко- и среднезернистыми окварцованными песчаниками . . . . .                  | 100 „   |
| 8. Прослои серых «пудингов» (песчаников, насыщенных обломками алевролитов) . . . . .  | 15 „    |
| 9. Черные алевролиты с прослоями песчаников . . . . .   | 75 „    |
| 10. Горизонт белых мраморизованных известняков . . . . .  | 10—15 „ |
| 11. Монотонная пачка черных филлитовидных сланцев с редкими прослоями серых песчанистых сланцев . . . . .                                 | 350 „   |
| 12. Чередование черных алевролитовых и кремнистых сланцев . . . . .   | 100 „   |
| 13. Черные окварцованные алевролитовые сланцы . . . . .   | 300 „   |
| Общая мощность приведенного разреза около 1300 м, а с учетом влияния мелкой складчатости, по-видимому, не более 1000 м.                   |         |

При прослеживании разреза по простианию на восток горизонты известняков через 5—6 км выклиниваются и далее к вершине рч. Передний Алтан и пади Зун-Баяктоли наблюдались только монотонные черные алеврито-глинистые сланцы с прослоями мелкозернистых песчаников. В западном направлении количество известняков возрастает, и по р. Киркун, в ее нижнем течении, известняки образуют несколько горизонтов мощностью свыше 200 м. В бассейне рч. Курейкан и верховьев р. Агуца нижняя подсвита представлена метаморфизованными глинистыми сланцами и алевролитами, содержащими прослои и горизонты тонкозернистых песчаников, известняков и метаэфузивов мощностью до 180 м и протяженностью до 7 км.

Средняя подсвита ( $D_{1-2} up_2$ ) закартирована на обширной площади в южной части планшета М-49-XXIII и условно выделяется в верховье р. Ингоды. Представлена подсвита флишоидным чередованием песчаников и сланцев. Границы между нижней и средней подсвитами проведены в местах, где в черных алевролитовых сланцах в заметном количестве появляются будины и прослои серых граувакковых песчаников. По водоразделу р. Агуца и ее левого притока — рч. Ближние Кормачи — изучен следующий разрез подсвиты (снизу вверх):

|  |           |
|--|-----------|
| 1. Грубое чередование черных филлитовидных алевролитовых сланцев и серых массивных и рассланцованных граувакковых песчаников в виде слоев мощностью 5—10 см. Прослои песчаника разлинованы в будины диаметром 5—8 см и длиной до 1 м .   | 240 м     |
| 2. Тонкое ритмичное флишоидное чередование черных филлитовидных сланцев и алевролито-псаммитов. Мощности ритмов от 35 до 150 см. Характер ритмичности: 1-й элемент ритма — черные алевролиты с включениями будин серого и тонкозернистого песчаника; 2-й элемент ритма — черные алевролиты с тонкими прослоями (1—2 мм) серых песчанистых алевролитов; 3-й элемент ритма — черные алевролиты. Ритмично переслаивающиеся алевролиты и алевролито-псаммиты содержат прослои серых песчаников мощностью от 30—50 см до 1 м и изредка 19 м . | 800—900 „ |
| Мощность средней подсвиты по разрезу 1050—1150 м.  |           |

В других местах разрезы в общем аналогичны вышеописанным и отличаются в деталях. Так, например, на водоразделе между рч. Агуца и падью Капчерангуй, к северу от с. Кыра, и в других местах в разрезе среди однообразного переслаивания алевролитов и алеврито-псаммитов со значительным преобладанием алевролитов встречаются горизонты песчаников мощностью 20—70 м, зеленых ортосланцев мощностью до 60 м и конгломератов (до 5 м).

Верхняя подсвита ( $D_{1-2}$  и  $n_3$ ) приурочена к синклинальным структурам. Она закартирована по падям Зун- и Барун-Баяктоли, Саготуй и Ирэвэк, Ср. Кормачи, на водоразделе падей Передний Алтан и Кучегер и по рч. Букукун в ее нижнем течении. Наиболее полные разрезы подсвиты развиты по рекам Баяктоли и Ирэвэк. В ее составе здесь выделяются две пачки. Нижняя пачка представлена толстослоистыми средне- и крупнозернистыми серыми граувакковыми песчаниками, содержащими редкие прослои и линзы черных алевролитов. Иногда в низах встречаются горизонты ненасыщенных сedиментационных брекчий (пуддингов). Верхняя пачка представлена чередующимися прослоями черных алевролитов, алевритов, алеврито-псаммитов и песчаников (мощность прослоев от нескольких сантиметров до нескольких метров). Изредка здесь встречаются прослои зеленых ортопород. Мощность верхней пачки переслаивания составляет примерно 500 м, а всей верхней подсвиты — 1100—1200 м.

Общая мощность ундургинской свиты достигает 3000—3500 м.

Наиболее распространенные в отложениях ундургинской свиты филлитовидные алеврито-глинистые сланцы представляют собой сланцеватые породы черного и темно-серого цвета. В сланцах обнаруживается алевритопелитовая, бластоалевропелитовая, а также микролепидогранобластовая и лепидогранобластовая структуры. Текстура слоистая, сланцеватая, линзовидная и т. п. Основная масса породы состоит из кремнистого углисто-глинистого вещества и мелких агрегатных скоплений чешуек биотита, серицита и хлорита, на фоне которых наблюдаются алевритовые угловатые обломки кварца, полевых шпатов, биотита и изредка апатита, циркона, рудных и редкоземельных минералов. Из новообразований встречаются также эпидот и цоизит, мелкие зерна граната и турмалин. Среди описываемых пород можно выделить следующие разновидности: кварц-серицитовые, углисто-глинисто-кварц-серицитовые, кремнисто-углисто-серицитовые, кварц-биотитовые и другие.

Алеврито-псаммиты являются сложными породами, состоящими из тонкого переслаивания алевропелитов и песчаников, между которыми установлены как постепенные переходы, так и четкие границы раздела. Песчаники по составу граувакковые; подвергнуты рассланцеванию, при этом кластические зерна раз-

давлены и вытянуты вдоль сланцеватости, придавая породе «крапчатый» облик. По крупности зерна преобладают среднезернистые разности. Кластические зерна представлены угловатыми и слабоокатанными обломками пород и минералов, среди которых преобладают кварц, полевые шпаты, биотит, микрокварциты и кислые эфузивы. Цемент породы базальный, местами контактовый, по составу — углисто-глинисто-кремнистый.

Зеленокаменные метаэфузивы (ортосланцы) среди отложений ундургинской свиты распределены неравномерно и встречаются главным образом в восточной части площади. Макроскопически это зернистые или рассланцованные породы от светло- до темно-зеленого цвета. Структура пород гранонематобластовая, нематогранобластовая и микролепидогранобластовая с элементами бластопорфировой и бластодиабазовой структуры. Минералогический состав: актинолит, эпидот, цоизит, карбонат, плагиоклаз (реликтовый), кварц, хлорит, биотит, турмалин, рудный и др. В участках бластодиабазовой и бластопорфировой структуры на фоне основной измененной массы отмечаются слабо различимые реликты вкрапленников плагиоклаза (альбита). Среди зеленых ортосланцев по минералогическому составу можно выделить: эпидот-циозит-актинолитовые, хлорит-эпидотовые, эпидот-мусковитовые, карбонат-кварцевые и другие. Вышеперечисленные породы являются, по-видимому, продуктами метаморфизма основных и средних эфузивов в процессе регионального метаморфизма фации зеленых сланцев.

В отложениях ундургинской свиты палеонтологических остатков не обнаружено. На Агинском палеозойском поле В. А. Амантов (1959ф) выделяет ундургинскую свиту девонского возраста на основании того, что она согласно залегает на ононской свите силурийского (?) возраста. При этом В. А. Амантов считает ундургинскую свиту фациальным аналогом усть-борзинской свиты, содержащей фауну нижнего — среднего девона и также, как и ундургинская свита, согласно залегающей на ононской. В Монгольской Народной Республике, несколько юго-восточнее изученной территории, в бассейне рч. Керулен, по данным Н. А. Маринова (1957), В. Г. Васильева и др. (1959), известны отложения нижнего и среднего девона, представленные известняками, песчаниками, сланцами и метаэфузивами с фауной соответствующего возраста. По описаниям эти отложения имеют большое сходство с отложениями ундургинской свиты.

## КАМЕННОУГОЛЬНАЯ СИСТЕМА

### Нижний отдел

#### Уртуйская свита

Уртуйская свита развита в северо-западной части листа, в верховьях рек Ингода и Кыра. Она представлена кварцитовидными мелко- и среднезернистыми песчаниками, алевролитами,

аргиллитами, кремнистыми сланцами, яшмами, метаморфизованными эфузивами основного состава и изредка конгломератами. Уртуйская свита по тектоническому контакту соприкасается с отложениями более древней ундургинской свиты и прорвана пермогориасовыми интрузиями. По литологическим особенностям свита разделяется на три подсвиты, из них в пределах изученной территории развиты две (нижняя и средняя).

Нижняя подсвита ( $C_1 ur_1$ ) обнажается в ядрах антиклинальных складок. Наиболее крупные поля развития пород подсвиты наблюдаются в бассейнах речек Зылькунде и Цангинандуй. По рч. Бугорихте (приток р. Ингоды) в северном крыле антиклинальной складки наблюдался следующий разрез нижней подсвиты (снизу вверх):

|   |           |
|---|-----------|
| 1. Черные окремненные алевролиты с прослоями аргиллитов | 100 м     |
| 2. Зеленые кремнистые сланцы                            | 100 "     |
| 3. Черные алевролиты                                    | 100—150 " |
| 4. Черные алевролитовые песчаники                       | 85 "      |
| 5. Зеленые кремнистые сланцы                            | 10 "      |
| 6. Красно-бурые яшмовидные сланцы                       | 80 "      |
| 7. Зеленые кремнистые сланцы                            | 5 "       |
| 8. Черные алевролитовые тонкоплитчатые алевролиты       | 60 "      |
| 9. Красно-бурые яшмовидные сланцы (ящмы)                | 3 "       |
| 10. Чередование зеленых и черных кремнистых алевролитов | 50 "      |
| 11. Зеленые кремнистые сланцы и аргиллиты               | 80 "      |
| 12. Черные окремненные алевролиты (аргиллиты)           | 80 "      |
| Общая мощность разреза около                            | 750 м.    |

Кремнистые сланцы и яшмы, описанные в разрезе, прослеживаются по простиранию в данной структуре на 12 км.

Приведенный разрез наиболее насыщен яшмовидными кремнистыми сланцами. В других полях развития подсвиты в разрезе преобладают черные аргиллиты, алевролитовые сланцы, серые кремнистые породы и зеленые ортосланцы, а яшмы образуют более маломощные прослои. Так, по речкам Зылькунде и Анацакан нижняя подсвита представлена черными и зелеными кремнистыми алевролитами и глинисто-кремнистыми сланцами, чередующимися с прослоями тонкозернистых песчаников и кремнистых сланцев серого и зеленого цвета и изредка яшм и ортосланцев.

Общая мощность отложений нижней подсвиты составляет примерно 1000—1200 м.

Кремнистые сланцы представляют собой плотную массивную, иногда грубослоистую афанитовую породу, разнообразной окраски: серой, черной, зеленой и красно-буровой.

Яшмовидные сланцы обладают микрокварцитовой до кристаллической и пелитовой структурой и представляют собой гематитизированный кремнистый сланец, состоящий либо из кристаллического кварца, либо из микромозаичного кварца, по основному полю которого рассеяна гематитовая пыль, иногда сгруппированная в полоски.

Кремнистые алевролиты представляют собой плотную афанитовую массивную, реже слоистую породу черного, иногда с зеленоватым оттенком цвета. Структура их алевролитовая, алевропелитовая или бластроалевролитовая; текстура массивная и слоистая. Порода состоит из кремнистой криптокристаллической основной массы и алевролитовых обломков кварца, плагиоклаза, микросланцев и других пород. Глинисто-кремнистые сланцы (аргиллиты) представляют собой тонкозернистую зеленовато-черную породу, имеющую кристаллическую, местами пелитовую структуру. Состоят они из кремнисто-пелитовой основной массы с редкими обломками эфузивов, по которой развиваются лапчатые чешуи биотита, серицита и хлорита.

Средняя подсвита ( $C_1 ur_2$ ) согласно залегает на отложениях нижней подсвиты. Во всех полях развития подсвиты преобладающими породами являются мелкозернистые серые и зеленовато-черные плотные песчаники. Они содержат угловатые, островербные, реже полуокатанные зерна размером в среднем 0,2—0,4 мм, представленные кварцем, плагиоклазом, калиевым полевым шпатом, пироксеном и редко биотитом, спилитом, порфиритом, микрографитом, микрокварцитом, микрофельзитом. Из акцессорных присутствуют циркон, сфен, апатит, рудный. Вторичные минералы: эпидот, цоизит, хлорит. Цемент кремнисто-слюдистый. Иногда в низах разреза песчаники содержат обломки черных аргиллитов и алевролитовых сланцев. На стрелке речек Зун- и Барун-Цангинандуй и по рч. Ару-Хончол встречены прослои мелко-, среднегалечных конгломератов, содержащие гальку кремнистых сланцев, песчаников, алевролитов и яшм. Присутствующие в составе толщи черные алевролиты образуют прослои и горизонты мощностью от нескольких метров до десятков метров. Иногда количество алевролитового материала в разрезе возрастает до 50—60% (на водоразделе рек Барун- и Зун-Цангинандуй и на южных склонах гольцов Хонин-Чолун). О мощности средней подсвите можно судить сугубо ориентировочно. Видимая мощность толщи колеблется в разных местах от 1 до 2—2,5 км. При крутом падении слоев (50—60°) и наличии осложняющих складок высоких порядков мощность подсвиты оценивается в 900—1200 м.

Мощность уртуйской свиты оценивается в 2000—2200 м.

В отложениях уртуйской свиты, кроме проблематических остатков перекристаллизованных радиолярий, палеонтологического материала не обнаружено. Нижнекаменноугольный возраст уртуйской свиты устанавливается на основании сопоставления ее с литологически сходными фаунистически охарактеризованными отложениями сопредельных районов. Непосредственно к северу от изученной территории (М-49-XVI), по данным Т. А. Милая (1959ф), из аналогичных отложений (ингодинской свиты) выделены единичные споры, позволяющие датировать

содержащие их отложения верхним девоном или нижним карбоном (*Lophotriletes rotundus* Naum., *Asonomotriletes rarus* Naum., *Zonotriletes turgidus* Walt.), На Агинском палеозойском поле в окрестностях Тургинской депрессии в уртуйской свите собрана богатая фауна нижнекаменноугольного возраста.

## ПЕРМСКАЯ СИСТЕМА

### Верхний отдел

#### Хапчерангинская свита

Верхнепермские отложения на исследованной территории приурочены к синклинальной структуре, протягивающейся с запада на восток через всю площадь листа. В состав верхнепермских отложений входят зеленовато-серые граувакковые кварцитовидные песчаники, туфопесчаники, гравелиты, конгломераты, зеленовато-серые и черные глинистые и глинисто-алевролитовые сланцы, алеврито-псаммиты. Изредка встречаются прослои измененных кислых эфузивов и туфов. По степени метаморфизма верхнепермские отложения отвечают начальным ступеням филлитовой фации. Из четырех подсвит, входящих в хапчерангинскую свиту в окрестностях пос. Хапчеранга, на исследованной территории выделяются только две — первая и вторая.

Первая подсвита ( $P_2 hp_1$ ) чаще всего обнажается в ядрах верхнепермских антиклинальных складок. Она закартирована в бассейнах падей Хатун, Шивычи (к северу от с. Кыра), по южному и северному борту пади Передний Алтан, в районе горы Ныри, около селений Усть-Букукун, Алтан и Букукун. Наиболее полный разрез первой подсвиты наблюдался около поселка Букукун, где он представлен следующими породами:

1. На девонских отложениях в основании подсвиты залегает горизонт конгломератов, пуддингов и песчаников, насыщенных угловатыми плитчатыми обломками черных алевролитов размером от 0,5 до 5 см. Мощность горизонта колеблется от 350 м на западном крыле складки до 400—450 м на восточном (гора Гугдая).

2. Выше залегает толща массивных зеленовато-серых плотных песчаников, содержащих угловатые обломки черных алевролитов величиной до 2 см. В толще песчаников через интервал 200—300 м встречаются прослои мощностью 10—20 м черных алевропелитовых сланцев и пуддингов. Последние залегают чаще всего непосредственно на черных алевролитах и являются брекчиями размыва. Мощность толщи песчаников с прослоями алевролитов и туффитов достигает 600—700 м, а всей нижней подсвиты — 1000—1250 м.

Сходный характер нижней подсвиты установлен у пос. Усть-Букукун, по падям Алтан и Хатун. Несколько другой разрез установлен в окрестностях горы Ныры (правобережье р. Агу-

цакан) и по рч. Шиколан. Здесь развиты ороговикованные крупнозернистые песчаники и туфопесчаники, содержащие мощные (50—100 м) прослои зеленовато-черных алевропелитовых сланцев. В вершине пади Шиколан среди переслаивающихся песчаников и сланцев встречены два прослоя средне- и мелко-галечных конгломератов видимой мощности по 200—300 м каждый. Конгломераты содержат окатанную и угловатую гальку песчаников, сланцев и алевролитов и изредка гранитов, гнейсов, кварца и фельзитов. Цемент конгломератов базальный, по составу песчаный и алевритовый.

Вторая подсвита ( $P_2 hp_2$ ) представлена чередующимися алевролитами и глинистыми сланцами, песчаниками, туфопесчаниками и редкими линзообразными горизонтами осадочных брекчий. Наиболее детально разрез второй подсвиты изучен по левому борту р. Агуца, к югу от с. Алтан, где породы подсвиты образуют опрокинутую на северо-запад складку. По северному крылу складки составлен следующий разрез (снизу вверх):

|   |           |
|---|-----------|
| 1. Черные алевролито-глинистые сланцы с тонкими прослоями темно-серых алевролитов, с незначительным количеством разливованных прослоев серых песчаников мощностью 1—5 см .  | 20 м      |
| 2. Переслаивание черных алевролито-глинистых сланцев и серых граувакковых песчаников слоями мощностью от 0,2—1,0 до 5—10 см. Количество сланцев несколько преобладает над песчаниками. Встречаются отдельные горизонты песчаника мощностью до 0,5, реже 2 м . | 150 ,     |
| 3. Песчаники средне-мелкозернистые серого цвета с тонкими (до 1—1,5 см) прослоями черных сланцев . . . . .  | 28 ,      |
| 4. Алевролитовые сланцы . . . . .   | 10 ,      |
| 5. Алевролито-псаммиты с преобладанием псаммитового материала . . . . .   | 20 „      |
| 6. Алевролитовые сланцы с редкими прослоями песчаников . . . . .  | 40 „      |
| 7. Алевролитовые сланцы с будинированными прослоями серых песчаников мощностью 2—10 см . . . . .  | 230—160 „ |
| 8. Тонкое (2—5 мм) чередование черных и серых алевролито-глинистых сланцев . . . . .  | 10 „      |
| 9. Разливованные алевролито-псаммиты . . . . .  | 60 „      |
| 10. Темно-серые средне- и крупнозернистые песчаники . . . . .   | 80 „      |
| 11. Черные и зеленовато-черные алевролиты . . . . .   | 10 „      |
| 12. Песчаники крупно- и мелкозернистые . . . . .  | 120 „     |
| 13. Алевролитовые сланцы чередующиеся с мелко- и среднезернистыми песчаниками . . . . .   | 80 „      |
| 14. Крупнозернистый песчаник серого и светло-серого цвета с прослоями алевролито-псаммитов . . . . .  | 80 „      |
| 15. Алевролитовые сланцы, чередующиеся с серыми песчаниками. Содержат прослои кремнисто-сернистого сланца мощностью 30 см . . . . .   | 60 „      |
| 16. Серые крупнозернистые песчаники . . . . .   | 10 „      |
| 17. Чередование песчаников и алевролитов. Прослой кремнисто-сернистого сланца мощностью до 1 м . . . . .  | 40 „      |
| Суммарная мощность отложений  | 1060 м.   |

Учитывая наличие мелких складок, которые наблюдались внутри алевролитовых и алевролито-псаммитовых горизонтов, при-

веденную мощность подсвиты следует уменьшить минимум на 250—300 м.

В поле пермских отложений восточнее пос. Усть-Букуун выходят только нижние горизонты подсвиты. Здесь они представлены темно-зелеными и зеленовато-серыми алевролитовыми и глинистыми сланцами. К северу от с. Алтан, в окрестностях пади Кынгергитуй, подсвита представлена зеленовато-серыми песчанистыми и глинистыми сланцами, чередующимися с тонкими прослойями серых и зеленовато-серых граувакковых песчаников.

Песчаники хапчерангинской свиты граувакковые и туффитовые (туфопесчаники), реже аркозовые. По структуре преобладают среднезернистые разности, но вообще характерна разнозернистость обломков. Часто песчаники тонко переслаиваются со сланцами. Кластические зерна слабоокатанные, угловатые размером от 0,1 до 2 мм, чаще 0,2—1,0 мм. Их состав: кварц, полевые шпаты, биотит, мусковит и обломки пород. В ничтожных количествах присутствуют мелкие обломки турмалина, циркона, апатита и рудного минерала. Обломки пород представлены микрокварцитами, микросланцами, кремнистыми породами, сростками кварца и полевых шпатов (гранит?), филлитами, алевролитами, кварцевыми порфирами и микропегматитом. Цемент песчаников базальный состоит из алевролитовых обломков, скементированных глинисто-серicit-кварцевой массой с примесью углистого вещества.

Туфопесчаники макроскопически не отличаются от обычных граувакковых песчаников. Для них характерна только более темная окраска (темно-серая, зеленовато-темно-серая). Под микроскопом в туфопесчаниках наблюдается литокристалло-кластическая псаммитовая и алевропсаммитовая структура.

Алевритовые, алевропелитовые и глинистые сланцы представляют собой слоистые тонкозернистые породы. Цвет пород серый, темно-серый и черный с зеленым оттенком. Структура: алевритовая, алевропелитовая и пелитовая; текстура: слоистая, полосчатая, сланцеватая, реже массивная и линзовидная. Основная масса состоит из тонкозернистого слабо поляризующего кремнистого и глинистого вещества, насыщенного мельчайшими чешуйками биотита, серицита, хлорита, а также углистыми и, в меньшей степени, рудными частичками. В основной массе породы встречаются угловатые обломки кварца (преобладают), полевых шпатов и реже пород (фельзита, микросланца и др.). Из аксессориев встречены: апатит, циркон, гранат и редкоzemельный минерал. Часто в сланцах наблюдаются новообразования турмалина.

В поле развития отложений хапчерангинской свиты в окрестностях рудника Тарбальджей (на территории листа М-49-ХХIII) С. М. Коровиным в 1943 г. обнаружена галька глинистого сланца с отпечатком аммонита, определенным В. Е. Руженце-

вым, который отнес его к верхнепермскому роду *Paraceltites* (Тихомиров, 1957). В последние годы В. И. Шуликой, В. А. Амантовым (1961) и другими к востоку от изученной территории в отложениях хапчерангинской свиты обнаружены в ряде пунктов (реч. Долонго, верховье р. Былыра и др.) остатки фауны и флоры, указывающие на верхнепермский (по фауне) и пермотриасовый (по флоре) возраст отложений. Из образца, взятого в окрестностях пос. Усть-Букуун, в лаборатории ВСЕГЕИ М. М. Седовой определены споры *Selaginella*, *Calamites* (?), указывающие на пермский возраст отложений.

## ЮРСКАЯ СИСТЕМА

### Средний — верхний отделы

#### Букуунская свита

Букуунская свита ( $J_{2-3} bk$ ) представлена континентальными осадочно-вулканогенными отложениями, развитыми в мезозойских тектонических депрессиях. Базальными горизонтами букуунской свиты являются дресвяники и конгломераты. Последние состоят из галек и обломков размером от 1—2 см до валунов диаметром 1—1,5 м. Крупноглыбовые разности — фангломераты — приурочены к базальным горизонтам и к периферии впадин. Галька представлена гранитоидами, роговиками, алевропелитовыми сланцами, песчаниками, гранит-порфирами, диоритовыми порфиритами и дациами сохондинского комплекса и другими породами. Состав галек зависит от состава подстилающих пород. Преобладают гальки гранитоидов, песчаников и сланцев. Цемент песчаный, глинистый и туфовый.

В Букуунской впадине, в ее центральной части, разрез отложений реконструируется по отдельным обнажениям в следующем виде (снизу вверх):

|   |          |
|---|----------|
| 1. Крупно- и среднегалечные конгломераты, скементированные желтовато-серым гравийным песчаником; прослои осадочных брекций . . . . .  | 50—100 м |
| 2. Переслаивание пластов средне-мелкогалечных конгломератов и аркозовых песчаников мощностью до 5—10 м с тонкими (до 10 см) пропластками туффитов и туфов . . . . .                             | 50 „     |
| 3. Переслаивание аркозовых гравелитистых и крупнозернистых песчаников с туффитами, туфами и редкими прослойями мелкогалечных конгломератов. Мощность отдельных слоев несколько метров . . . . . | 30—50 „  |
| 4. Переслаивание туфов, туффитов и аргиллитов светло-серого, зеленого, кремового и буровато-серого цветов с прослойями песчаников и гравелитов . . . . .  | 30—50 „  |
| Общая мощность свиты достигает 200—250 м.   |          |

В песчаниках, туффитах и туфах на поверхности напластования встречаются многочисленные отпечатки растений.

Песчаники представляют собой желтовато-серую, желтую и буровато-серую, яснозернистую, существенно кварц-полевошпа-

товую породу. Преобладают гравийные, грубозернистые и крупнозернистые разности. Обломки угловатые, реже слабоокатанные. Состав обломков: кварц, плагиоклаз, калиевый полевой шпат, биотит и различные породы. Туффиты и пепловые туфы представляют собой тонкоплитчатую листоватую яснослоистую породу разного цвета (зеленого, салатного, бурого, серого и др.). Они имеют пелитовую и алевролитовую кристаллолитовитрокластическую структуру. Основная масса состоит из криптокристаллического кремнистого вещества и стекла с ядрами кристаллизации. Аргиллиты от пепловых туфов отличаются более темной окраской. Они состоят из серой, буроватой, желтоватой глинистой основной массы, содержащей мелкие угловатые обломки кварца и полевых шпатов.

В Алтано-Кыринской впадине отложения букуунской свиты встречены в пади Передний Алтан, в устье речек Курейкан, Горохон и Хатун.

В устье пади Хатун букуунская свита имеет следующий разрез:

- |   |            |
|---|------------|
| 1. На пермских туфопесчаниках залегают осадочные брекции, сложенные обломками песчаников, зеленых алевролитов и гранитоидов   | 5—10 м     |
| 2. Среднегалечные конгломерато-брекции  | 5—10 „     |
| 3. Мелко- и среднезернистые аркозовые косослоистые песчаники желтовато-серого цвета с тонкими прослойками туффитов и линзами конгломератов  | 2—5 „      |
| 4. Слоистые, чаще тонкополосчатые «пестрые» туффиты и пепловые туфы кислого состава, окремненные. Окраска серая, салатно-зеленая, буро-красная и др. Содержат тонкие прослои туфопесчаников. На плоскостях сланцеватости часто встречаются окремненные отпечатки флоры (хвоя, древесные стволы) | 100—120 „  |
| Общая мощность разреза  | 115—145 м. |

В Кулиндинской впадине в составе букуунской свиты присутствуют в верхах разреза липариты и их псаммитовые туфы и туфоловы. Псаммитовые туфы и туфоловы липаритов и кварцевых порфиров представляют собой породы палево-желтого, салатного, реже бурого цвета. Они имеют псаммитовую, кристаллолитовитрокластическую структуру и состоят из острореберных обломков кварца, полевых шпатов, слюд, стекла, сцепментированных слабораскристаллизованным стеклом. Липариты и кварцевые порфиры — это массивные белые, желтовато-белые, розовато-красные, иногда зеленовато-серые, породы порфировой структуры, содержащие вкрапленники кварца, плагиоклаза и белого прозрачного санидина в микрофельзитовой и сферолитовой основной массе.

Средне-верхнеюрский возраст букуунской свиты определяется на основании остатков следующей флоры: *Equisetites* sp., *Pinites* (*Pityophyllum*) cf., *P. kobukensis* Seward., *Shizolepis möllerii* Seward. (сборы П. Михно, определение А. Н. Криштофовича, 1918), *Equisetites* sp., *Czekanowskia setacea* Hegel.

*Czekanowskia* sp., *Leptostrobus laxiflora* Hegel., *Pityophyllum* sp., *Shizolepis kryshtofovichii* Группа (сборы А. Я. Колтуна, 1956б; определение А. В. Аксаринова). По заключению последнего, среди приведенных форм есть формы как среднеюрского, так и более юного, верхнеюрского облика. Следует заметить, что вышеперечисленные формы описываются и в верхнеюрских и нижнемеловых отложениях.

#### Джаргалантуйская свита

Джаргалантуйская свита ( $J_{2-3} dz$ ) является эфузивным аналогом букуунской свиты (Старченко, 1958). Если последняя формировалась в озерных котловинах тектонического происхождения, то джаргалантуйская свита приурочена к глыбовым поднятиям. На исследованной территории отложения джаргалантуйской свиты выходят в северо-западном углу площади листа М-49-ХХII, где они представлены фельзитами, кварцевыми порфирами и их туфами, аналогичными таковым из букуунской свиты Кулиндинской впадины. Мощность эфузивов, по-видимому, не превышает 30—50 м.

#### Верхний отдел

Эфузивы среднего и основного состава верхнеюрского возраста ( $J_3$ ) выделяются в местную бырцинскую свиту. Развита она в пределах мезозойских депрессий. Вне депрессии свита закартирована по рч. Зуи-Цангнандуй (приток р. Ингода) в северо-западной части территории. Бырцинская свита несогласно залегает на средне-верхнеюрских отложениях букуунской свиты, что наблюдалось в приустьевой части р. Хатун, к северу от с. Кыра, и несогласно перекрыта отложениями нижнего мела (по данным бурения у с. Алтан, Кыра).

Эфузивы характеризуются различными структурой, текстурой и окраской. Среди них выделяются пористые миндалекаменные и массивные порфиры. Миндалекаменные породы по составу соответствуют пироксеновым и андезитовым порфиритам. Они имеют обычно бурую и кирпично-красную, реже серую окраску. Поры (миндалины) занимают от 30 до 90% объема породы. Их диаметр колеблется от 1—2 мм до 15—20 см. Поры обычно выполнены полосчатым халцедоном, иногда с жеодами кварца, аметиста и цеолитов в центре. При микроскопическом изучении в миндалекаменных порфиритах установлены андезитовые, эвпорфировые структуры с гиалопилитовой и пилотакситовой основной массой. Вкрапленники представлены призматическими лейстами плагиоклаза (андезин № 30—50) и пироксеном. Мезостазис представлен краснобурым и бурым стеклом с лейсточками плагиоклаза, зернами магнетита, ильменита и пироксена. Массивные андезитовые и

пироксеновые порфириты и андезито-базальты имеют черную, бурую, красно-бурую, зеленовато-серую, серую, лиловую окраску. Это плотные отчетливо порфировые породы с микролитовой и реже микрзернистой основной массой. Вкрапленники представлены плагиоклазом и пироксенами. Текстура породы массивная, флюидальная. В породе много мелких зерен магнетита и ильменита.

Среди эфузивов встречены базальтовые порфиры. Они отличаются присутствием вкрапленников аортита (№ 65) и оливина. Основная масса интерсертальная, состоит из темно-бурого стекла с мельчайшими лейстами плагиоклаза и зернами магнетита. Долеритовые разности пород имеют плотную мелко-зернистую основную массу черного цвета. Состоит из пироксена и плагиоклаза (андезин-лабрадор). Пироксен моноклинный, образует зерна размером 0,2—0,7 мм, выполняющие промежутки между плагиоклазами. В породе много зерен апатита и рудных минералов. Перечисленные выше разновидности пород в отдельных потоках распределяются в большинстве случаев закономерно. Миндалекаменные породы приурочены к подошве и кровле потоков. Плотные разности, в том числе долериты, характерны для внутренних частей покровов. Мощности отдельных покровов колеблются от 4 до 30 м; в среднем 10—15 м. На аэрофотоснимках в пади Хатун насчитывается 20—30 отдельных покровов, что определяет суммарную мощность порfirитов бирцинской свиты 300—400 м. Геофизическими методами (магниторазведкой) в низовьях падей Нижний Олукучаг и Икэ-Шывыр установлено плоское кругопадающее тело с повышенной магнитностью, являющееся, по-видимому, дайкой порfirитов, скрытой под покровом. Дайки эруптивных брекчий порfirитов встречены также по р. Кыра. По-видимому, указанные тела являются корнями излияний описанных эфузивов.

Верхнеюрский возраст порфиритов определяется по их положению в стратиграфическом разрезе между средне-верхнеюрской букуунской свитой и отложениями нижнего мела.

## МЕЛОВАЯ СИСТЕМА

## Нижний отдел

Отложения нижнего мела ( $C_1$ ) приурочены к Алтанс-Кыринской мезозойской впадине. Они в большинстве случаев погребены под четвертичными отложениями. На геологической карте нижний мел показан в местах естественных обнажений и в тех пунктах, где мощность перекрывающих отложений невелика. Состав отложений нижнего мела довольно однообразен. Это серые и зеленовато-серые разнозернистые песчаники и аргиллиты, образующие пласты мощностью от 1 до 50 м, и тонкое чередование этих пород. Реже в разрезе встречаются слои конгломератов, гравелитов и бурых углей. Породы нижнего

мела слабо диагенезированы, на поверхности быстро теряют плотность и разрушаются, превращаясь в суглинистую песчано-глинистую массу. По своему генезису отложения нижнего мела являются континентально-озерными. По данным буровых работ, отложения нижнего мела условно разделяются на три толщи.

Нижняя толща по простирианию испытывает изменения в литологическом составе и мощности (от 48 до 184 м). Разрез по скв. № 1, пробуренной в Центральной части впадины, у с. Алтан, характеризуется преобладанием алевролитов. Разрез имеет следующий вид (снизу вверх):

|  |      |   |
|--|------|---|
| 1. На туфобрекчиях бырцинской свиты залегает мощный горизонт черных плотных аргиллитов . . . . . | 156  | м |
| 2. Средне- и мелкозернистые песчаники серого и светло-серого цвета . . . . .                     | 12,2 | " |
| 3. Аргиллиты темно-серого цвета . . . . .  | 14,2 | " |

Иной разрез толщи в прибрежной части депрессии. Так, по скв. № 34 разрез следующий (снизу вверх):

|   |  |        |   |
|---|--|--------|---|
| 1. На отложениях букуунской свиты залегают конгломераты   |  | 1,8    | м |
| серого цвета . . . . .  |  |        |   |
| 2. Аргиллиты серого цвета . . . . .   |  | 0,45   | „ |
| 3. Мелкозернистые песчаники серого цвета . . . . .  |  | 2,75   | „ |
| 4. Аргиллиты черного цвета с редко встречающимися обуглившимися растительными остатками . . . . .         |  | 19,56  | „ |
| 5. Песчаники мелкозернистые серого и темно-серого цвета с обуглившимися растительными остатками . . . . . |  | 6      | „ |
| 6. Аргиллиты темно-серого цвета с многочисленными обуглившимися растительными остатками . . . . .         |  | 12,2   | „ |
| 7. Песчаники светло-серого, темно-серого цвета с обуглившимися растительными остатками . . . . .          |  | 163,35 | „ |
| Общая мощность толщи по скважине 207 м.   |  |        |   |

В этой части депрессии в разрезе нижней толщи резко преобладают песчаники, а также присутствуют горизонты мелкогалечных конгломератов.

Средняя (угленосная) толща характеризуется резким преобладанием песчаников в разрезе. Наблюдается зависимость разреза от его положения в депрессии: в центральных частях увеличивается роль тонкообломочного компонента, к периферии — более грубого. Примером мелкообломочной фации средней толщи может служить разрез по скв. № 1 (снизу вверх):

|   |         |
|---|---------|
| 1. Аргиллиты черного цвета . . . . .  | 6,55 м  |
| 2. Песчаники серого цвета . . . . .   | 1,90 „  |
| 3. Уголь (бурый) . . . . .  | 0,50 „  |
| 4. Аргиллиты темно-серого цвета с 20-сантиметровыми прослойками песчаника у основания . . . . . | 7,55 „  |
| 5. Песчаники мелкозернистые с полуметровым прослоем аргиллита . . . . .                         | 4,70 „  |
| 6. Аргиллиты серого цвета с прослоем тонкозернистого песчаника . . . . .                        | 11,45 „ |
| 7. Уголь бурый . . . . .  | 0,40 „  |
| 8. Аргиллиты с прослойми песчаников . . . . .   | 3,55 „  |

|  |         |
|--|---------|
| 9. Уголь бурый с прослойками (10 см) аргиллита . . . . .   | 0,80 м  |
| 10. Песчаник тонкозернистый . . . . .  | 4,75 "  |
| 11. Сложный пласт угля с пятью прослойками углистых сланцев и аргиллитов . . . . .   | 8,15 "  |
| 12. Чередование слоев (2—4 м) средне- и мелкозернистых песчаников с черными и серыми аргиллитами; прослой углистого сланца . . . . . | 31,55 " |
| 13. Сложный пласт, представленный чередованием углей и аргиллитов мощностью 0,05—0,50 м . . . . .                                    | 3 "     |
| 14. Уголь бурый . . . . .  | 3,3 "   |
| 15. Аргиллиты черного цвета с прослойками (до 0,1—0,2 м) песчаников, углистых и глинистых сланцев, углей . . . . .                   | 13,85 " |
| 16. Песчаники . . . . .  | 6,33 "  |
| 17. Аргиллиты черные . . . . .   | 4,45 "  |
| 18. Чередование слоев (0,5—0,3 м) серых песчаников и аргиллитов темно-серого и черного цвета . . . . .                               | 5,75 "  |
| 19. Аргиллиты серого цвета . . . . .   | 5,30 "  |
| 20. Углистый сланец . . . . .  | 0,40 "  |
| 21. Песчаник мелкозернистый . . . . .  | 1,50 м  |
| 22. Аргиллит черный с прослойками (0,4 м) тонкозернистого песчаника . . . . .  | 18 "    |
| 23. Песчаник серого цвета . . . . .  | 20 "    |
| Общая мощность разреза по скважине 146,5 м.  |         |

По этой скважине песчаники занимают всего 41,5 м, т. е. около одной трети разреза. Разрезы средней толщи, характеризующие периферическую фацию, отличаются резким преобладанием песчаников, количество которых достигает иногда 90%.

Верхняя толща установлена в окрестностях с. Алтан. Здесь над угленосной толщей залегает толща аргиллитов с прослойми песчаников и алевролитов (скв. 39), имеющая следующий разрез (снизу вверх):

|   |         |
|---|---------|
| 1. На угольных пластиах средней подсвиты на глубине 191 м залегают аргиллиты темно-серого цвета . . . . . | 6,4 м   |
| 2. Песчаники глинистые серого цвета . . . . .   | 3,8 "   |
| 3. Аргиллиты темно-серого и черного цвета с обуглившимися остатками растений . . . . .                    | 12,5 "  |
| 4. Перемежаемость алевролитов и аргиллитов серого и темно-серого цвета . . . . .                          | 5,00 "  |
| 5. Аргиллиты черного и темно-серого цвета с остатками обуглившихся растений . . . . .                     | 48,35 " |
| 6. Песчаник мелкозернистый темно-серого цвета с прослойми аргиллитов мощностью до 1 м . . . . .           | 6,85 "  |
| 7. Аргиллиты темно-серого цвета с единичными прослойми тонкозернистых песчаников . . . . .                | 15,80 " |
| 8. Песчаники тонко- и мелкозернистые . . . . .  | 1,30 "  |
| 9. Аргиллиты черного цвета . . . . .  | 9,2 "   |
| Общая мощность приведенного разреза 180,20 м.   |         |

Верхняя толща развита, по-видимому, и в окрестностях с. Кыра, где на глубину до 300 м вскрыты отложения, сходные с вышеописанными. По данным буровых и геофизических работ, суммарная мощность отложений нижнего мела в окрестностях с. Алтан достигает 600—700 м, из них нижняя толща составляет 50—210 м, средняя (угленосная) 150—200 м и верхняя толща около 200—300 м. В наиболее глубоких мульдах Алтанско-Кырин-

ской депрессии (в районе пади Передний Алтан, у с. Билютуй и западнее с. Кыра), по данным ВЭЗ, мощность отложений нижнего мела достигает 1100—1300 м.

В окрестностях с. Алтан, у Большого озера, были собраны остатки пресноводной фауны плохой сохранности, среди которых Ч. М. Колесниковым определены: *Campeloma* sp., *Lioplax* sp., *Viviparus* sp., *Bithinia* sp., а также *Viviparus fusistomus* Chi., Ping. Последняя форма характерна для верхов юры и валанжинского яруса нижнего мела. У пос. Мордой (за рамками планшета) из описываемых отложений были собраны остатки многочисленной фауны нижнемелового возраста (*Cyrena* и др.).

#### ПАЛЕОГЕНОВАЯ — НЕОГЕНОВАЯ СИСТЕМЫ НЕРАСЧЛЕНЕННЫЕ

К палеогеновой — неогеновой системам (Pg—N) отнесены покровы базальтов, развитые в пади Передний Алтан. Они образуют на левом склоне пади потоки, сложенные пузыристыми и массивными смоляно-черными лавами и агломератами, переполненными вулканическими бомбами размером от горошины до 0,5 м. По правобережью пади Передний Алтан базальты образуют горизонтальные покровы мощностью до 40 м. В подошве покрова залегают пузыристые красно-бурые миндалекаменные породы, содержащие захваченные обломки юрских конгломератов. По данным Алтанской геофизической партии (Тимбеков, 1960ф), среди отложений нижнего мела около с. Алтан выявлены положительные магнитные аномалии. При бурении установлено, что они обусловлены базальтами, которые, очевидно, образуют силлы и дайки среди нижнемеловых отложений. Базальты представляют собой плотные стекловатые породы смоляно-черного цвета, изредка содержащие тонкие призмочки черных плагиоклазов. Вкрашенники представлены длинными (до 7 мм) лейстами плагиоклаза (лабрадор № 35—65) и оливином, интенсивно замещенным серпентином. Основная масса — бурое неполяризующее стекло, содержащее отдельные зерна магнетита.

В сходных породах, развитых в бассейне р. Ингоды, в окрестностях с. Чунгурук, Е. В. Барабашевым (1960) была найдена псевдоморфоза галлуазита по плоду растения эоценового времени. Это позволяет нам считать (с большой долей условности) описываемые базальты палеоген-неогеновыми. Не исключена возможность, что они имеют и более молодой, четвертичный, возраст.

В заключение необходимо отметить, что миндалекаменные и некоторые массивные разности палеоген-неогеновых базальтов похожи на верхнеюрские порфириты, развитые около с. Шумунда, в Букуунской впадине и в вершине р. Ингоды.

## ЧЕТВЕРТИЧНАЯ СИСТЕМА

На исследованной территории четвертичные отложения пользуются широким развитием. Они принадлежат к различным генетическим категориям континентальной группы. Среди них выделяются отложения среднего, верхнего и современного отделов.

### Средний — верхний отделы нерасчлененные

К нерасчлененным среднему и верхнему отделам ( $Q_{2-3}$ ) условно относятся моренные водно-ледниковые отложения, широко развитые в верховьях рек Ингода, Букуун и Агуца и их притоков. Морены образуют обширные покровы большой мощности (до 30—50 м), а также выстилают троги (долинные морены). Они сложены крупными (от 0,5 до 5—6 м в поперечнике) угловатыми, хаотично нагроможденными валунами, сцепментированными глинистым и галечно-гравийно-песчаным плохо отсортированным материалом.

### Верхний отдел

Отложения верхнего отдела ( $Q_3$ ) четвертичной системы представлены аллювиальными толщами высоких террас рек Кыра и Агуца, в окрестностях сел Билютуй, Олукучаг и Алтан. Их мощность колеблется от 40 м в окрестностях с. Кыра до 10—12 м около сел Алтан и Олукучаг. Скважиной 56 на глубину 38,6 м вскрыт следующий разрез верхнечетвертичных отложений (сверху вниз):

|   |        |
|---|--------|
| 1. Галечник с примесью песчано-глинистого материала . . . . .                 | 3,5 м  |
| 2. Песок буроватого цвета . . . . .   | 3,5 „  |
| 3. Галечники . . . . .  | 4,2 „  |
| 4. Галечники слабоокатанные с примесью песчано-глинистого материала . . . . . | 3,8 „  |
| 5. Валунные галечники . . . . .   | 2,0 „  |
| 6. Галечники слабоокатанные с примесью песчано-глинистых отложений . . . . .  | 4,8 „  |
| 7. Галечники с примесью песчано-глинистых отложений и щебенки . . . . .       | 11,8 „ |

Около с. Кыра в обрыве террас верхнечетвертичные отложения представлены уплотненными галечниками, состоящими из слабоокатанных галек размером от 1 до 50 см, сцепментированных гравийными песками. В верховье р. Былыра, по р. Н. Салбартуй, за пределами территории листа, в отложениях, синхронных отложениям высоких террас, найден зуб мамонта, принадлежащий, по определению Э. А. Вангенгейм, к виду *Mamutus primigenius* B Iu m. и указывающему на верхнечетвертичный возраст отложений.

### Верхний — современный отделы нерасчлененные

К нерасчлененным верхнечетвертичным — современным отложениям ( $Q_{3-4}$ ) относятся пролювиально-аллювиальные и озерные отложения, широко развитые в прибрежных частях Алтанско-Кыринской депрессии и в долинах крупных рек. Они представлены мелкой щебенкой, песками, галечниками, глинами, песчано-глинистым материалом. Характерной их особенностью является широкое развитие глин.

Закрепленные эоловые пески распространены у с. Кыра по правобережью р. Кыры. Это белесые, палево-желтые мелководные породы существенно кварцево-полевошпатового состава.

Верхнечетвертичный — современный возраст описываемых отложений определяется тем, что их формирование началось в период отложения галечников высоких террас и продолжается в настоящее время. Мощность описанных отложений достигает 10—15 м.

### Современный отдел

Современные отложения ( $Q_4$ ) различных типов пользуются широким развитием. На геологической карте показаны в основном аллювиальные отложения. Аллювий русел и пойм современных водотоков очень разнообразен. В верховьях речек и их притоков он представлен слабоокатанным валунно-глыбовым материалом почти без мелкообломочной фракции. Ниже по течению происходит постепенная смена валунно-глыбовых отложений валунно-галечными. В нижней части течения крупных рек (Кыра, Агуца, Букуун и др.) аллювий становится более разнообразным при общем уменьшении размера обломочного материала. Широкое развитие получают песчаные и мелкогалечно-песчаные косы; в старицах и протоках накапливаются значительные толщи илов. Мощность аллювия достигает 8—10 м. Озерные отложения, имеющие мощность 1—5 м, представлены тонкозернистым песчано-илистым материалом.

Делювий развит на склонах водоразделов. Представлен он щебенисто-супесчаными (на осадочных породах) и дресвяно-супесчаными (на гранитах) отложениями. Мощность делювия невелика и колеблется от 0 до 1—2 м на осадочных породах и до 3—4 м на гранитах.

Элювиальные отложения широко развиты на плоских водоизделах. Представлены они чаще всего глыбовыми россыпями.

## ИНТРУЗИВНЫЕ ОБРАЗОВАНИЯ

### ПЕРМО-ТРИАСОВЫЙ ИНТРУЗИВНЫЙ КОМПЛЕКС (КЫРИНСКИЙ)

Интузии кыринского комплекса слагают обширные площади, преимущественно в северной части территории листа. В составе комплекса выделяются четыре интузивные фазы, из

которых породы первой фазы, представленные габбро-диоритами, в районе не встречены.

Вторая фаза ( $\gamma_2 < \delta_2 P - T$ ). На территории листа гранодиориты второй фазы слагают четыре массива площадью от 150 до 450 км<sup>2</sup>, которые прослеживаются прерывистой полосой от верховий речек Букукуна и Джермалтая на северо-восток до верхнего течения р. Былыры. Очертания массивов в плане неровные, извилистые, но в общем вытянутые в северо-восточном направлении согласно с простиранием складчатых структур верхнего палеозоя. Сравнительно небольшие (12—25 км<sup>2</sup>) массивы-ксенолиты описываемых гранодиоритов располагаются в междуречье Кыры и Былыры, а также в бассейне р. Угдыры среди гранодиоритов более молодых фаз. Для гранодиоритов второй фазы характерны согласные взаимоотношения со складчатыми структурами пермских отложений и инъекционные контакты. Причем, в эндоконтакте наблюдается широкая (до 5—8 км) полоса гнейсовидных контаминированных пород (гнейсо-гранодиоритов и гнейсо-диоритов), а в экзоконтакте — инъекционно-магматические мигматиты, переходящие в гнейсы и роговики.

Наиболее распространены среди гранитоидов второй фазы порфировидные гранодиориты, слагающие центральные части массивов. По внешнему облику это серые или светло-серые породы с роговой обманкой, нередко образующей вкрапленники размером 1—2 см, реже до 4—5 см. Во вкрапленниках реже наблюдается плагиоклаз. Структура пород гипидиоморфозернистая с резко подчеркнутым идиоморфизмом плагиоклаза. Заметен катаклаз. Минералогический состав: андезин № 30—35 (40—45%), ортоклаз (15—20%), кварц (15—36%), обыкновенная роговая обманка и биотит (10—15%). Роговая обманка, как правило, преобладает над биотитом. Иногда в качестве реликтов в роговой обманке присутствует авгит. Аксессорные минералы: циркон, апатит, торит, ортит, ильменит, пирит, арсенопирит, сфен, турмалин, монацит, шеелит и гранат.

Развитые в эндоконтактовых зонах массивов краевые гнейсовоидные фации в общем отличаются несколько более основным составом и соответствуют кварцевым диоритам с переходом непосредственно в эндоконтактах в гнейсо-диориты. Поля развития краевых фаций отличаются обилием согласных ксенолитов гнейсифицированных вмещающих пород. По внешнему облику гнейсовоидные кварцевые диориты (кварцевые гнейсо-диориты) отличаются большим содержанием темноцветных минералов, особенно мелкочешуйчатого биотита, в виде многочисленных линзообразных субпараллельно ориентированных скоплений. Структура пород гипидиоморфнозернистая и гранобластовая с элементами бластокатастической; текстура гнейсовоидная. Минералогический состав: андезин № 28—33 (40—45%), кварц (20—22%), биотит (10—12%), роговая

обманка (10%), решетчатые микроклин и анортоклаз ( $2V=64^\circ-82^\circ$ ) 12—14%. Аксессорные минералы: рутил и ортит.

Гнейсо-диориты обладают темно-серой окраской, средне-мелкозернистой, нередко порфировидной структурой. Гнейсовидность пород обусловлена чередованием линзовидных полос кварцевого диорита и скоплений мелкочешуйчатого биотита или реликтов гнейса и сланца. Из темноцветных минералов присутствует почти один биотит, а роговая обманка сравнительно редка. Структура гнейсо-диоритов гипидиоморфозернистая, катакластическая; текстура полосчатая, гнейсовидная. Минералогический состав гранитоидной части; андезин № 30—33 (55%), микроклин (15—17%), кварц (5—10%), роговая обманка (3—5%), биотит (10—15%); остальная часть породы сложена реликтами биотитового сланца или гнейса. Из акцессорных минералов отмечены сфен и апатит. Наблюдаемые в породе мелкие, согласные с гнейсовидностью реликты мелкозернистого гнейса представлены олигоклаз-андезином (70%) и биотитом (30%). Структура лепидогранобластовая; текстура сланцеватая. При сравнении массивных гранодиоритов, развитых в центральных частях массивов, с гнейсовидными краевыми фациями отчетливо намечается тенденция к некоторому повышению основности пород, связанная с контаминацией магмы при ассилияции вмещающих образований. Это проявляется в увеличении количества темноцветных минералов, главным образом биотита, при одновременном уменьшении количества кварца. Состав плагиоклаза и соотношение калинатровых и известково-натровых полевых шпатов остаются почти неизменными.

Относительный возраст гранодиоритов определяется тем, что они прорывают верхнепермские отложения и прорываются сами гранитами и гранодиоритами третьей и четвертой фазы кыринского комплекса, что отчетливо наблюдалось в междуречье Кыры и Былры, к северу от пос. Хара-Куджир, и в верховьях левых притоков р. Агуца (рч. Кумыльская Алия).

Третья фаза ( $\gamma_3$  Р-Т). Гранодиориты третьей фазы кыринского комплекса слагают крупный интрузив, вытянутый в северо-восточном направлении и погружающийся к юго-востоку. Обнаженная поверхность его представлена рядом выступов-массивов, разделенных выходами осадочно-метаморфических пород и гранитоидов второй фазы. Наибольшие по размежрам (от 120 до 350 км<sup>2</sup>) выступы интрузива расположены ближе к сводовой части Даурского антиклиниория к северу и западу от Алтано-Кыринской впадины (верховья Агуцы и Букукуна). К югу от впадины выступы имеют значительно меньшие размеры (8—15 км<sup>3</sup>). По внутренней структуре интрузив конформный, а по отношению к складчатым структурам рамы несогласный, секущий. Тип контактов эруптивный (в зоне эндоконтакта наблюдаются обильные ксенолиты вмещающих пород).

Вмещающие песчанико-сланцевые отложения ороговикованы в зонах шириной от 0,2 до 2,5 км. Изредка в узкой полосе (до 20—30 м) непосредственного контакта развиты биотитовые сланцы и гнейсы.

Гранодиориты третьей фазы представлены несколькими структурными типами. В центральных частях массивов развиты равномернозернистые и порфировидные гранодиориты, которые в эндоконтактовых зонах сменяются неравномернозернистыми мелкозернистыми гранодиоритами и кварцевыми диоритами. Кварцевые диориты обычно слагают узкую (первые сотни метров) оторочку массивов вдоль контактов с палеозойскими отложениями. Только в случаях полого погружения контакта интрузива под кровлю (район Шумунды, Агуцакана, на водоразделе Агуцы и Курейканы, в пади Кегин-Акуй) кварцевые диориты обнажаются на площадях в десятки квадратных километров.

*Равномернозернистые среднезернистые и порфировидные гранодиориты* — роговообманково-биотитовые и биотитовые светло-серые породы, сложенные белым и розоватым полевым шпатом и светло-серым кварцем. Размеры вкрапленников 1×2, 1,5×2 см и редко больше. Среди темноцветных минералов биотит всегда резко преобладает. Структура гранодиоритов гипидиоморфнозернистая, текстура массивная. Минералогический состав: плагиоклаз № 25—35 (40—50%), микроклин и аортоклаз ( $2V=65-85^\circ$ ) 25—30%, кварц (20—25%), биотит и обыкновенная роговая обманка (10%, редко до 15%). Аксессорные минералы: циркон, апатит, пирит, молибденит, анатаз, шеелит, ортит, ильменит, сфен, гранат, магнетит, редко торит, турмалин, монацит.

*Неравномернозернистые гранодиориты* характеризуются частыми вариациями состава и особенно структуры. Последняя изменяется на коротком расстоянии от среднезернистой порфировидной до мелкозернистой (мелкозернистые разности преобладают). Колебания состава выражены главным образом в изменении содержания темноцветных минералов (5—25%). Наиболее типичны преимущественно биотитовые гранодиориты, местами имеющие такситовое сложение вследствие гнездообразного расположения мелкочешуйчатого биотита и мелкозернистого кварца.

*Кварцевые диориты* от неравномернозернистых гранодиоритов отличаются значительно большим содержанием биотита, роговой обманки; чаще встречается и ярче выражено такситовое сложение. Нередко наблюдается план-параллельная текстура. Структура гипидиоморфнозернистая, иногда переходная к призматически-зернистой. Минералогический состав: андезин № 35—40 (50—60%), кварц (15—20%), микроклин (до 10%), биотит (10—20%), роговая обманка (до 10%). Аксессорные

минералы: циркон, апатит, шеелит, торит, ильменит, сфен, гранат, турмалин, магнетит.

Непосредственно на контактах с вмещающими осадочными породами среди кварцевых диоритов встречаются небольшие участки (до сотен квадратных метров), сложенные диоритами, переполненными мелкими ксенолитами вмещающих пород. Это темно-серые или зеленовато-серые породы, состоящие из темной основной массы преимущественно биотитового состава и белых вкрапленников плагиоклаза, слагающих от 40 до 70% породы. Структура диоритов призматически-зернистая. Минералогический состав: андезин № 30—48 (65—70%), роговая обманка и биотит (25—30%), кварц (до 5%). Количественные соотношения темноцветных минералов непостоянные.

Относительный возраст гранитоидов третьей фазы определяется тем, что в верховье рч. Кумыльская Алия наблюдалось прорывание ими гранодиоритов второй фазы с образованием зоны структурных изменений. У контакта в гранодиоритах третьей фазы наблюдались ксенолиты гранодиоритов второй фазы. В свою очередь гранодиориты третьей фазы прорываются гранитами четвертой фазы и содержатся в них в виде ксенолитов. Эти контакты наблюдались в вершине рч. Бол. Мангуткен.

*Четвертая фаза* ( $\gamma_4 P-T$ ). Интрузии четвертой фазы обнажаются в верховьях рек Былыры, Кыры и Ингоды. Они образуют крупный, вытянутый в северо-восточном направлении и выходящий за пределы территории листа массив, средняя ширина которого около 25 км при длине 90 км. К югу от него, в устье р. Былыры, обнажается второй, небольшой (45 км<sup>2</sup>), массив.

Основной интрузивный массив четвертой фазы имеет сложный фациальный состав. В его западной части, в верховьях рек Ингоды и Агуцы, широко развиты порфировидные гранодиориты, переходящие в краевых частях на контактах с отложениями уртуйской свиты в меланократовые мелкозернистые порфировидные гранодиориты и кварцевые диориты. Здесь же, в районе горы Быркытын-Янг, около останцов кровли обнажаются мелкозернистые до аплитовидных граниты апикальной фации интрузива. Далее к востоку, от оз. Угдыри и до р. Былыры, преобладают порфировидные граниты. Краевые фации вдоль южного контакта, на отрезке от оз. Угдыри до р. Кыры, представлены мелкозернистыми порфировидными гранитами, иногда переходящими в гранит-порфиры и гранодиорит-порфиры.

*Порфировидные гранодиориты и граниты со среднезернистой основной массой* слагают основную часть массива. Преобладающими являются лейкократовые гранодиориты и менее развиты граниты. По внешнему облику это розовато-серые породы, всегда содержащие большое количество светло-серого

кварца. Характерна розоватая окраска полевых шпатов, особенно во вкрапленниках. Последние резко выделяются на фоне основной массы и имеют размеры от  $1,5 \times 2$  до  $4-5 \times 3$  см. Крупные вкрапленники, имеющие розоватую окраску, представлены калиевым полевым шпатом, а более мелкие, белого цвета, плагиоклазом. Изредка в мелких вкрапленниках ( $0,5-0,7$  мм) наблюдается кварц. Вкрапленники составляют примерно половину породы. В верховьях рек Талачи, Догибкая и Аршантуя среднезернистые граниты местами переходят в крупнозернистые с редкими крупными вкрапленниками (до  $6 \times 4$  см) полевого шпата. Структура основной массы этих пород гипидиоморфозернистая, иногда аллотриоморфозернистая и пегматоидная. В минералогическом составе пород наблюдаются резкие колебания. Соответственно породы варьируют от гранитов, содержащих до 50—40% микроклин-пертита, до гранодиоритов, содержащих 40—45% плагиоклаза и 30—35% микроклин-пертита. По составу плагиоклазы изменяются от олигоклаза № 18—22 до андезита № 30—35, причем тот и другой присутствуют как в гранитах, так и в гранодиоритах. Кварц содержится в количестве от 20 до 40% (обычно 30—40%). Из темноцветных минералов преобладает биотит (2—10%), роговая обманка встречается в количестве не более 1%. Аксессорные минералы: циркон, апатит, пирит, анатаз, шеелит, ортит, ильменит, сфеен, гранат, турмалин, редко торит, арсенопирит, галенит, халькопирит, молибденит, рутил, монацит, магнетит.

*Порфировидные граниты и гранодиориты с мелкозернистой основной массой* характеризуются довольно крупными полевошпатовыми вкрапленниками ( $1 \times 2$ ,  $3 \times 1,5$  см). Нередко наблюдается такситовое сложение, выраженное наличием на фоне основной массы участков ( $2 \times 2$  см и менее) тонкозернистого сложения, весьма обогащенных тонкочешуйчатым биотитом. В приконтактовых зонах описываемые породы местами переходят в гранит-порфиры.

*Гранит-порфиры и гранодиорит-порфиры* — светло-серые с розоватым оттенком породы, на фоне тонкозернистой основной массы которых выделяются крупные (до  $1,5 \times 3$  см) вкрапленники розового полевого шпата и более мелкие округлые кварца. Количество вкрапленников составляет от 15—20 до 50% объема породы. Гранодиорит-порфиры отличаются более высоким содержанием плагиоклазов и биотита. Структура основной массы микрогранитовая в гранит-порфирах и криптовая в гранодиорит-порфирах. Наибольшее число вкрапленников представлено микроклин-пертитом, в меньшем количестве кварцем и олигоклазом № 12—15. Основная масса полевошпатово-кварцевая с преобладанием калиевого полевого шпата. Биотит в основной массе располагается в виде гнездообразных скоплений. В гранодиорит-порфирах в отличие от гранит-порфиров наблю-

дается повышенное содержание сфеена, апатита и рудного минерала.

Мелкозернистые лейкократовые и биотитовые граниты обычно слагают узкие оторочки (мощностью в первые десятки метров) в эндоконтакте гранитоидов четвертой фазы, и только в районе гольца Быркытын-Янг они получили широкое развитие. Это розоватые мелкозернистые породы с характерными шлирообразными (до 5—10 см в длину) обособлениями крупно- и среднезернистого пегматоида, с вкрапленностью арсено-лирита и мелких редких зерен розового граната. Структура гипидиоморфозернистая или аллотриоморфозернистая с элементами пегматоидной. Преобладающим минералом в составе гранитов является калиевый полевой шпат (50—60%); кварц встречается в количестве 25—35%, олигоклаз (№ 15—18)—20—30% и биотит — 2—3%. Аксессорные: апатит и редкоземельный минерал.

*Гранодиориты*, развитые в краевых частях массива четвертой фазы, имеют неравномернозернистую структуру основной массы и такситовое сложение. Во вкрапленниках наблюдается андезин. Характерно сравнительно низкое содержание кварца (15—20%) и высокое биотита и роговой обманки (в сумме до 15%). Вблизи от контактов с палеозойскими отложениями гранодиориты иногда переполнены мелкими угловатыми ксенолитами последних и переходят в кварцевые диориты, которые отличаются высоким содержанием биотита (до 25—35%) и роговой обманки и низким содержанием калиевого полевого шпата (10—7%).

В эндоконтактных частях массива гранитоидов четвертой фазы в верховьях Ингоды и на водоразделе Агуцы и рч. Цанганиандуя развиты небольшие ( $1,5-2$  км $^2$ ) поля лейкократовых среднезернистых гранитов, которые образовались, по-видимому, в результате метасоматической переработки гранитоидов четвертой фазы в связи с нижнемезозойским магматизмом. Это розоватые или желтовато-розовые породы, сложенные розовым полевым шпатом и серым фарфоровидным кварцем. Изредка встречаются мелкие чешуйки биотита. Наибольшая по объему часть породы (60%) представлена микроклином, который вдоль трещин иногда альбитизирован. Плагиоклаз (15%) присутствует в виде мелких идиоморфных кристаллов, часто включенных в микроклин. Характерно присутствие в этих гранитах флюорита и топаза.

Дайковые и жильные образования пермо-триасовых интрузий разделяются на две группы. Первая группа представлена жильными телами аплитов, пегматитов и дайками различных гранитов.

*Пегматиты* (ρ Р—Т). Для второй интрузивной фазы комплекса характерны маломощные, невыдержаные по простиранию жилы пегматитов. Для третьей фазы характерны жилы

крупнозернистого биотитового, редко с турмалином, пегматита, которые были отмечены на левом склоне долины р. Агуцы выше устья р. Улюртуя и на правом склоне долины Кумыльской Алии. Мощность жил колеблется от 1,5 до 2 м, а длина составляет 100—200 м. В жиле, обнажающейся в долине р. Агуцы, отмечена вскрапленность крупнокристаллического ильменита (15%). Кроме пегматитов, часто встречаются дайки и жилы мелкозернистых пегматоидных гранитов, в которых наблюдаются шлирообразные обособления пегматита, иногда с убогой вкрапленностью молибденита. Пегматиты четвертой интрузивной фазы по облику и составу сходны с таковыми третьей фазы, за исключением более частого присутствия в них турмалина и особенно граната. Характерной особенностью некоторых пегматитовых жил является зональное строение и наличие «кварцевой оси», в которой иногда наблюдаются крупные кристаллы горного хрусталя. С четвертой фазой кыринского комплекса, возможно, связан оловоносный пегматит с амазонитом, встреченный в приуставьевой части р. Верхн. Улури в поле развития гранодиоритов второй фазы. В бассейнах речек Зылькунде и Анацакана известны пегматиты, связанные с гранитоидами четвертой фазы и также содержащие кассiterит, правда в незначительном количестве.

*Аплитовидные пегматоидные граниты и гранит-аплиты* ( $\gamma$ : Р—Т) в пределах полей развития гранитоидов третьей фазы образуют мощные (до 130 м при длине 3 км) крутопадающие ( $60$ — $76^\circ$ ) дайки главным образом северо-восточного простирания и обильные рои пологопадающих ( $20$ — $25^\circ$ ) даек различной мощности (от 1 до 100 м), тяготеющих к эндоконтактовым зонам интрузива. Наиболее многочисленны пологопадающие дайки мелкозернистых гранитов, располагающиеся в эндо- и экзоконтактовой зонах интрузива четвертой фазы кыринского комплекса (междуречье Кыры и Былыры). По внешнему облику, минералогическому составу и структурным особенностям мелкозернистые граниты сходны между собой. Среди них различаются биотитовые мелкозернистые граниты, нередко пегматоидные и аплитовидные, и лейкократовые пегматоидные граниты.

Вторая группа ( $\chi$ : Р—Т) жильной серии представлена многочисленными дайковыми образованиями основного и среднего состава. Обычно они залегают в складчатом обрамлении интрузий, образуя рои. Эти дайки используют оперяющие трещины крупных разломов, а также развиваются вне видимой связи с разломами, располагаясь в одиночку или группами в экзоконтактовых зонах массивов (водораздел рек Агуцы и Курейканы, Курейканы и Агуцакана) или (довольно редко) в самой интрузии (район с. Букукун, в бассейне рек Агуцакана и Киркуна и на водоразделе рек Курейканы и Агуцы). Возможно часть этих даек имеют верхнеюрский возраст.

Наиболее ранними являются дайки диоритовых порфиритов, спессартитов, одинитов и вогезитов, после которых следуют роговообманковые и плагиоклазовые порфиры и, наконец, плагиогранит-порфиры. Крупные рои даек отмечены к югу от Алтано-Кыринской впадины в бассейнах рек Агуцы и Баяктоли, а также в междуречье Кыры и Хатуна. В первом случае преобладающее развитие получили одиниты, диоритовые порфиры и другие, во втором — роговообманковые и плагиоклазовые порфиры.

Многочисленные дайки распространены на водоразделах рек Агуцакана и Курейканы, Курейканы и Агуцы. Они представлены диоритовыми порфирами и редко спессартитами и одинитами. Плагиогранит-порфиры встречены в бассейне р. Агуцы и в междуречье Кыры и Хатуна.

Постмагматические образования кыринского комплекса представлены жилами сливного серого, серовато-белого кварца (иногда с друзами), залегающими в гранитоидах. Жилы располагаются как в первичных трещинах отдельности, так и в зонах дробления. В жилах наблюдается редкая вкрапленность молибденита, шеелита и арсенопирита. В весьма малом количестве присутствуют золото и касситерит.

Гранитоиды кыринского комплекса по сравнению со средними типами пород по Р. Дэли характеризуются следующими специфическими чертами: 1) пересыщенность глиноземом и повышенное содержание кремнезема, 2) низкое содержание щелочей и кальция\*.

По химическому составу гранитоиды (прил. 5, анализы 1, 2) второй фазы по содержанию магнезиально-железистых алюмосиликатов близки к среднему типу гранодиорита по Р. Дэли, отличаясь от последнего низким содержанием щелочей в полевошпатовой части при сравнительно низком содержании кальция. По соотношению калинатровых и натрово-кальциевых полевых шпатов данные породы соответствуют промежуточным образованиям между кварцевым монцонитом и гранодиоритом, тяготея к последнему. Гнейсовидные диориты и гнейсо-диориты краевой фации (анализы 3, 4) в отличие от массивных разностей этих пород заметно обогащены алюминием, магнием и кальцием. Породы промежуточные между гранодиоритами и кварцевыми диоритами и отличаются от тех и других низким содержанием кальция (рис. 1).

Гранитоиды третьей и четвертой фаз по химическому составу близки между собой, но для четвертой фазы в общем присущее большее содержание кремнезема и щелочей.

Породы третьей фазы близки к среднему типу гранодиорита по Р. Дэли, отклоняясь от него по содержанию щелочей

\* Результаты химических анализов изверженных пород и пересчет их по А. Н. Заварицкому приведены в приложении 5.

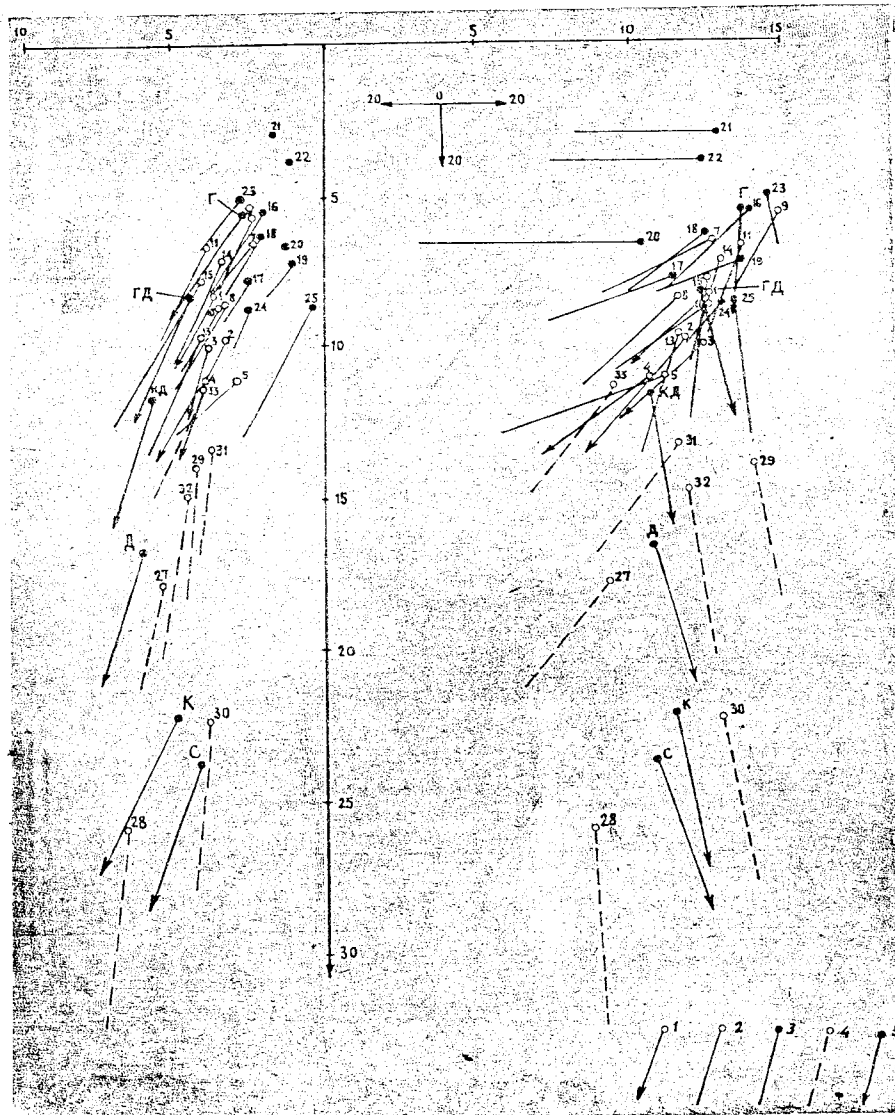


Рис. 1. Диаграмма химических составов изверженных пород пермо-триасового возраста (по А. Н. Заварицкому).

1 — породы второй фазы, 2 — породы третьей фазы, 3 — породы четвертой фазы, 4 — породы жильной серии, 5 — средние типы пород по Р. Дели (Г — щелочноzemельный гранит, ГД — гранодиорит, КД — кварцевый диорит, Д — диорит, К — керсантит, С — спессартит).

к кварцевому диориту, а по соотношению щелочей — к кварцевому монцониту и граниту (анализы 5—9). Низкое содержание извести в полевошпатовой части также сближает их с гранитом. Контаминированные породы краевой фации (кварцевые диориты и диориты) по сравнению с нормальными заметно обогащены железом и магнием (анализы 10—15). Гранитоиды четвертой фазы по отношению к стандартным типам в целом занимают промежуточное положение между кварцевым монцонитом и гранитом, отклоняясь на участках интенсивного развития даек первого этапа до щелочно-земельного гранита (анализы 16—22).

Возраст пород кыринского интрузивного комплекса определяется на основании того, что гранитоиды всех фаз прорывают и метаморфизуют верхнепермские отложения, а образования четвертой фазы прорваны субвулканическими интрузиями среднеюрского возраста (сохондинский интрузивный комплекс).

Абсолютный возраст гранитоидов кыринского комплекса, определенный в лаборатории ВСЕГЕИ Н. И. Полевой, составляет 177 млн. лет (коллекция В. П. Краснова, обр. 1, р. Агуце), 183 млн. лет (коллекция В. П. Краснова, обр. 2444, р. Зылькунде) и 187 млн. лет (коллекция Н. И. Тихомирова, обр. 350, верховье р. Букуун), что соответствует триасу.

## СРЕДНЕЮРСКИЕ ИНТРУЗИИ

### Сохондинский субвулканический комплекс

Интрузивы сохондинского комплекса слагают крупный массив и ряд мелких трещинных тел в районе горы Сохондо (Цохондо) и по левобережью р. Былыры. Наиболее изучен массив гольцов Цаган-Упа, занимающий площадь 170 км<sup>2</sup>. Он имеет в плане неправильные извилистые очертания при хорошо выраженной общей вытянутости в северо-восточном направлении согласно с простирианием главнейших разрывных структур. Ледниковой эрозией массив обнажен на глубину до 900 м. По периферии массива обнажаются типично гипабиссальные интрузивные фации, сменяющиеся к центру субвулканическими и эффузивными. Последние имеют весьма незначительное развитие и представлены остатками покровов (верховье р. Агуцы и др.). Сложное строение массива обусловлено как фациальным разнообразием, так и многократностью внедрениймагмы. Ранние внедрения развиты по периферии, поздние — в центре массива. Последовательность образования различных пород в сохондинском массиве такова: первая фаза — плагиограниты, гранодиориты, гранодиорит-порфиры, кварцевые диоритовые порфириты; вторая фаза — плагиопорфиры и диоритовые порфириты и третья — дакиты. В других местах plutоны сохондинского комплекса представлены несложными, обычно одно-

фазными штоками и дайками, схожими, по петрографическому составу с массивом горы Сохондо, главным образом с породами его первой фазы.

Первая фаза. *Плагиограниты и гранодиориты* ( $\gamma\delta J_2 sh$ ) встречаются только в массиве горы Сохондо, где они слагают центральные части выходов пород первой фазы в верховьях Букукуна и Ингоды. Это зеленовато-серые порфиридовидные породы с мелко- или (редко) среднезернистой основной массой. Плагиограниты от гранодиоритов отличаются внешне только большим содержанием кварца. Основная масса имеет гранитовую структуру, иногда ориентированную текстуру. Минеральный состав плагиогранитов: плагиоклаз № 28—40 (до 70%), кварц (15—25%), роговая обманка и биотит (5—15%). Аксессорные минералы: циркон, апатит, ортит, сфен и рудный минерал. Гранодиориты отличаются присутствием калиевого полевого шпата (до 15%) и меньшим содержанием плагиоклаза (до 40—50%).

*Гранодиорит-порфиры* ( $\gamma\delta\pi J_2 sh$ ) по составу аналогичны гранодиоритам и связаны с ними переходами, а также образуют самостоятельные тела. Структура их порфировая с микрогранитовой, микроаплитовой или микропегматитовой основной массой.

*Кварцевые диоритовые порфиры* — ( $\delta\mu J_2 sh$ ) зеленовато-серые или темно-серые плотные породы с обильными полевошпатовыми вкрапленниками. Структура порфировая с криптопегматитовой основной массой. Во вкрапленниках андезин № 32—36, иногда кварц и псевдоморфозы постмагматических минералов по биотиту и роговой обманке. Основная масса породы состоит из микрозернистого агрегата, представленного измененным плагиоклазом кварцем, тонкочешуйчатым биотитом, реликтовыми зернами роговой обманки и пироксена, замещенных минералами группы эпидота. Аксессорные минералы: циркон, апатит, магнетит. Кварцевые диоритовые порфиры имеют самосекущие контакты с гранодиорит-порфирами и образуют самостоятельные дайковые тела.

Вторая фаза. *Диоритовые порфиры и дацитовые порфиры* ( $\delta\mu J_2 sh$ ) По внешнему облику это темно-серые, почти черные породы с отчетливо выраженной порфировой, иногда туфовидной структурой и андезитоидной основной массой. Вкрапленники составляют до 20—30% объема породы. Минеральный состав вкрапленников: андезин № 44—45 (60—70%), кварц, иногда с включениями калиевого полевого шпата (10—15%), биотит (10—15%), роговая обманка (до 5%), очень редко калиевый полевой шпат. Основная масса породы состоит из микролитов плагиоклаза, нередко серицитизированного и эпидотизированного, перекристаллизованного стекла, большого количества чешуек бледно-зеленого хлорита и землистых мелких агрегатных скоплений эпидота.

Третья фаза. *Дациты* ( $\zeta J sh$ ) — серые или темно-серые мелкозернистые порфировые породы.

Порфировые выделения составляют до 30—40% от объема породы и более. Структура порфировая с микрогипидиоморфно-зернистой, иногда микропойкилитовой основной массой. Во вкрапленниках: андезин № 35—42, кварц, биотит, роговая обманка, редко авгит. Основная масса полнокристаллическая; состоит из плагиоклаза, кварца и значительного количества биотита, ассоциирующего со сферулом и рудным минералом. В поле развития дацитов наблюдаются туфовидные разности. Сравнивая породы сохондинского комплекса средними типами пород по Р. Дэли, можно заметить, что они в общем характеризуются промежуточным составом между дацитом и монцонитом. От средних типов они отличаются всегда несколько меньшим содержанием кальция в полевошпатовой части. Кварцевые диоритовые порфиры первой фазы комплекса соответствуют по составу слюдяному андезиту, отличаясь несколько меньшим содержанием кальция в полевошпатовой части и более высоким — щелочей, особенно калия (анализ 34, рис. 2).

Диоритовые порфиры второй фазы по сравнению со всеми породами комплекса отличаются резко повышенной основностью и по составу соответствуют монцониту, отличаясь от него меньшим содержанием щелочей и кальция, наряду с несколько более высоким содержанием магния и железа (анализ 35).

Самые молодые представители комплекса — дациты — обладают наиболее кислым составом и соответствуют промежуточному типу между дацитом и слюдяным андезитом (анализы 36—37).

Среднеюрский возраст сохондинского комплекса определяются следующими данными. Наиболее ранние породы комплекса — гранодиорит-порфиры и кварцевые диоритовые порфиры — прорывают верхнепермские отложения (падь Хатун) и гранодиориты четвертой фазы кыринского комплекса (гора Сохондо); с другой стороны, все породы комплекса содержатся в гальке конгломератов букуунской свиты средне-верхнеюрского возраста. Абсолютный возраст дацитов и гранит-порфиров из пади Хатун, определенный аргоновым методом (лаборатория ВСЕГЕИ, Н. И. Полевая), равняется 143 млн. лет (коллекция В. П. Краснова, обр. 6052). Следует заметить, что имеются и большие цифры абсолютного возраста пород сохондинского комплекса (160—180 млн. лет), которые мы объяснить не можем.

### Харалгинский интрузивный комплекс

В составе комплекса выделены две фазы: первая — порфирировидные граниты, вторая — аляскитовые граниты и гранит-порфиры. С данными интрузиями связаны обильные гидротермальные

ные образования с турмалиновой, сульфидной и оловянной минерализациями.

Порфировидные граниты первой фазы ( $\gamma_1J_2h$ ) слагают несколько небольших (1—5 км<sup>2</sup>) дайкообразных тел и штоков

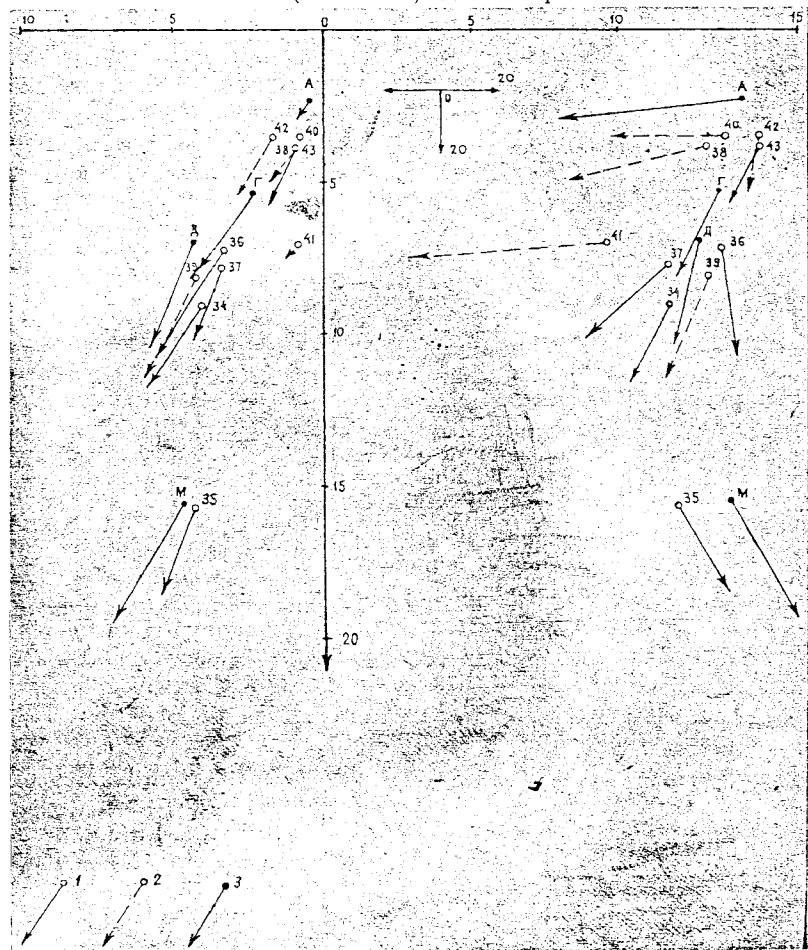


Рис. 2. Диаграмма химических составов изверженных пород среднене- юрских интрузий (по А. Н. Заварцкому).

1 — породы сохондинского комплекса, 2 — породы хараминского комплекса, 3 — средние типы породы по Р. Дэли (Г — граниты, А — алакиты, Д — да- киты, М — монцониты)

в пределах зоны разломов, протягивающейся от гольцов Цаган-Ула на северо-восток до р. Кыры. По внешнему облику это серые и темно-серые породы с мелко- или тонкозернистой апли- товидной основной массой, на фоне которой резко выделяются крупные (1×1,5, 2×6 см) таблитчатые полевошпатовые вкрапленники розового или белого цвета. Количество вкрапленников

составляет от 30 до 60% объема породы. Розовые вкрапленники более характерны для нормальных разновидностей, белые — для меланократовых. Структура порфировидная с аплитовидной или гипидиоморфнозернистой основной массой: иногда наблюдаются элементы пойкилитовой структуры. Минералогический состав: калиевый полевой шпат (40—45%), плагиоклаз № 10—22 (25—30%), кварц (20—30%), биотит (2—3%, иногда до 10—15% в меланократовых разновидностях). Аксессории: гранат, апатит, сфеен, редкоземельный и рудный минералы.

Лейкократовые и аляскитовые граниты ( $\gamma_2J_2h$ ) и гранит-порфиры ( $\gamma_2J_2h$ ) второй фазы распространены в пределах зон разломов, протягивающихся в северо-восточном направлении от гольцов Цаган-Ула до р. Кыры и вдоль долины р. Былыры. Форма интрузивов: шточообразные и дайковые тела, вытянутые согласно с простирием разломов, размер тел от 1 до 12 км<sup>2</sup>. Характерные черты внешнего облика гранитов: розовая окраска, лейкократовый состав и часто наблюдаемое гломерокристаллическое сложение. Структура гипидиоморфнозернистая или аллотриоморфнозернистая, нередко криптовая и гранулированная. Минералогический состав: калиевый полевой шпат — перит (45—50%), кварц (30—40%), плагиоклаз № 8—13 (10—25%), биотит (2—5%). Аксессорные минералы: циркон, апатит и рудные.

Гранит-порфиры располагаются в зонах разломов, которые секут интрузивы первых двух фаз (водораздел речек Зылькунде и Угдыри, верховья рч. Букукуна), а также образуют эндоконтактовую фацию гранитов второй фазы. Наиболее развиты гранит-порфиры в районе гольцов Цаган-Ула, в верховьях рек Агуцы и Быркыкты, по р. Былыры. Здесь они представлены многочисленными дайками северо-восточного простирия. Наиболее крупные дайки наблюдались на гольцах Цаган-Ула; здесь они достигают в длину 8—10 км при мощности до 200—300 м. Простирие северо-восточное 50—70°, падение крутное (60—70°) к юго-востоку. В верховьях р. Быркыкты, на водоразделе Зылькунде и Угдыри и в среднем течении Агуцакана дайки не так многочисленны. Здесь они сопровождаются обильными гидротермальными образованиями.

В Былыринской зоне гранит-порфиры имеют незначительное развитие и наблюдаются на правом склоне долины Былыры между устьями Хатуна и Мал. Улятуя. Дайки редки и мало-мощны (1—3 м). На этом участке наиболее мощные дайки (до 50 м) расположены в районе пос. Аршантуй. Падение даек юго-восточное, угол падения 40—45°. Везде, где наблюдаются дайки гранит-порфиров, вмещающие породы брекчированы и грейзенизированы.

Среди дайковых образований второй фазы выделяется три разновидности: 1) гранит-порфиры и кварцевые порфиры с зеленовато-серой почти стекловатой основной массой, с крупными

(до 8 мм) идиоморфными вкрапленниками белого полевого шпата и мелкими выделениями хорошо ограненного кварца и биотита; 2) гранит-порфиры и гранодиорит-порфиры, отличающиеся значительно меньшими размерами вкрапленников и близкой к аплитовой основной массой; 3) гранодиорит-порфиры с почти стекловатой светло-серой основной массой и крупными, иногда оплавленными вкрапленниками белого полевого шпата, кварца, роговой обманки и биотита.

Все перечисленные разновидности пород нередко можно наблюдать в одной дайке. В центральных частях наиболее крупных даек (гора Сохондо) нередко наблюдаются переходы до порфировидного мелко- или среднезернистого гранита. Структура пород порфировая. Основная масса отличается разнообразием структур: для кварцевых порфиров характерна фельзитовая, для гранит-порфиров и гранодиорит-порфиров — микропегматитовая и аплитовая (иногда наблюдаемые совместно), а также гранофировая и микрогранулитовая структура. Вкрапленники представлены плагиоклазом (в кварцевых порфирах и гранит-порфирах № 17—20, в гранодиорит-порфирах до № 35), кварцем, биотитом, калиевым полевым шпатом — перититом, редко роговой обманкой (в гранодиорит-порфирах калиевый полевой шпат во вкрапленниках редок). Основная масса: калиевый полевой шпат, кварц, биотит. Аксессорные минералы: апатит, циркон, редкоземельный и рудный минералы.

Гидротермальные образования харалгинского комплекса пространственно тесно ассоциируют с гранит-порфирами. Среди них можно выделить две группы: 1) зоны окварцевания и грейзенизации, сопровождающиеся редкометальной минерализацией и развитые в эндо- и экзоконтактах даек гранит-порфиров, 2) жильные образования, не обнаруживающие непосредственной связи с интрузивами гранит-порфиров, но располагающиеся в общих для тех и других вмещающих разрывных структурах (парагенетические связи). Участки наибольшего развития жильных образований совпадают с площадями развития гранит-порфиров: водораздел рек Агуцы и Быркыкты, среднего течение рч. Зун-Агуцакана, верховья р. Букукуна, водораздел рек Зылькунде и Угдыри. По минералогическому составу среди жильных пород различаются: кварцево-полевошпатово-кассiterитовые, кварцево-полевошпатово-молибденитовые, кварцево-турмалиновые, кварцево-сульфидные, кварцево-кассiterитовые, кассiterитовые и др.

Породы харалгинского комплекса по химическому составу очень близки между собой и соответствуют промежуточному типу между средними типами аляскита и нормального гранита по Р. Дэли (анализы 38—43). С аляскитом их сближает высокое содержание кремния и малое по сравнению с нормальным гранитом содержание магния, железа и кальция. Отдельные разновидности в составе пород комплекса приближаются к

циту или даже гранодиориту (анализы 39,41). Повышение основности в данном случае вызвано положением этих пород непосредственно в эндоконтактовой зоне массивов.

Среднеюрский возраст гранитоидов харалгинского комплекса определяется на основании их активного контакта с отложениями нижней — средней юры (на соседнем листе М-49-ХХI) и породами сохондинского комплекса. Верхняя граница определяется по наличию гранитоидов харалгинского комплекса в гальке конгломератов букукунской свиты. Абсолютный возраст гранитов харалгинского комплекса составляет 153 млн. лет (падь Анацакан, коллекция В. П. Краснова, обр. 2446) и 143 млн. лет (гора Сохондо, коллекция Н. И. Тихомирова, обр. 2371). Анализы выполнены по валовым пробам во ВСЕГЕИ Н. И. Полевой.

### ВЕРХНЕЮРСКИЕ СУБВУЛКАНИЧЕСКИЕ И ГИПАБИССАЛЬНЫЕ ТРЕЩИННЫЕ ИНТРУЗИИ

Верхнеюрские гипабиссальные и субвулканические интрузии ( $\lambda\pi J_3$ ) представлены дайками фельзитовых и кварцевых порфиров, гранит-порфиров и реже кератофоров. Обычно они группируются в рои, пространственно тяготеющие к обрамлению мезозойских тектонических депрессий. Протяженность даек колеблется от сотен метров до 3 км и реже до 6—7 км (падь Майохай), а мощность — от 1—10 до 50 м. Наибольшим развитием верхнеюрские интрузии пользуются в бассейнах падей Хатун, Майохай, Зун- и Барун-Баяктоли. Верхнеюрский их возраст определяется тем, что в приустьевой части пади Хатун дайка фельзитовых порфиров прорывает отложения средне (?)—верхнеюрской, букукунской свиты; сходные породы описаны в гальках конгломератов нижнего мела. В окрестностях пос. Кулинда дайки обнаруживают тесную связь с покровами кислых эфузивов и являются, по-видимому, их корнями.

Фельзитовые и кварцевые порфирсы представляют собою плотные массивные либо флюидальные породы порфирового сложения и разнообразной окраски: серой, зеленовато-серой, лилово-серой, белой, кремовой, оранжевой. На фоне основной массы четко выделяются мелкие (до 3 мм) вкрапленники кварца (отсутствуют в фельзитах), плагиоклаза (№ 20—31) калиевого шпата и биотита (до 10% объема породы). Основная масса имеет микрофельзитовую структуру.

Гранит-порфирсы представляют собою плотную массивную порфировую породу, состоящую из вкрапленников кварца (7%), плагиоклаза (15%) и биотита (2%) размером до 3—4 мм и мелкозернистой основной массы серого и оранжево-бурового цвета, состоящей из зерен размером до 1 мм. Основная масса, составляющая 75% объема породы, представлена калиевым полевым шпатом (60%), кварцем (40%) и биотитом (1,0—0,5%). Из акцессорных отмечаются сфен и циркон.

*Кератофиры* представляют собою породы зеленовато-серого цвета с порфировыми вкрапленниками розоватого калиевого шпата и тонкозернистой основной массой пойкилитовой структуры, сложенной альбитом, калиевым полевым шпатом и кварцем. Из акцессориев отмечены призмочки апатита. Около даек во вмещающих породах наблюдается ореол окварцевания и окремнения. Сами дайковые породы большей частью брекчированы, окварцеваны и пронизаны сетью кварцевых прожилков с редкой вкрапленностью пирита и антимонита.

К верхнеюрскому возрасту условно отнесены встреченные на водоразделе рек Зылькунде и Угдыри *пикритовые порфиры* ( $\omega J_3$ ). Они образуют ряд даек северо-западного простирания мощностью до 1—2 м, залегающих в ороговикованных породах уртуйской свиты. Пикриты представляют собой плотные, массивные, тяжелые породы черного цвета мелкозернистой структуры. Они обильно насыщены арсенидами никеля и кобальта и другими сульфидами. Под микроскопом в пикритах обнаруживается мелкозернистая призматически-зернистая структура. Порода в основном состоит из очень свежих кристаллов пироксена (авгита), между которыми изредка встречаются зерна оливина и роговой обманки. Отмечается насыщенность пород шестоватыми кристалликами апатита и титаномагнетита. Присутствующие в породе сульфиды (до 10%) выполняют промежутки между идиоморфными зернами пироксенов. С опи-саными пикритами пространственно связаны кварцево-сульфидные жилы с пиритом, пирротином, пентландитом и другими сульфидами.

## ТЕКТОНИКА

Территория листа М-49-ХХII, ХХVIII расположена в пределах Даурской структурной зоны Забайкалья, окончившей геосинклинальное развитие к началу триаса и испытавшей в мезозое интенсивные движения складчато-глыбового типа. Среднепалеозойские отложения и прорывающие их интрузии верхнепалеозойские образуют герцинское складчатое основание — нижнегранитоидов, образуют герцинское складчатое основание — нижний структурный этаж.

В средней юре — нижнем мелу произошло формирование наложенных структур-тектонических депрессий, выполненных слабо дислоцированными континентальными осадочными и вулканогенными породами средней — верхней юры и нижнего мела, образующими верхний структурный этаж.

## ГЕРЦИНСКИЕ СКЛАДЧАТЫЕ СТРУКТУРЫ

Нижний структурный этаж сформирован в результате сложного геосинклинального развития, распадающегося на два этапа. В течение первого этапа, охватывающего период форми-

рования ононской, ундургинской и уртуйской свит, происходило накопление формации морских отложений с заметной ролью эфузивов основного состава. Различная степень метаморфизма и различие в складчатых дислокациях упомянутых свит позволяет предполагать между ними несогласия, по-видимому незначительных масштабов. В течение второго этапа, охватывающего верхнюю пермь, происходило накопление терригенных отложений (хапчарангинская свита). Пермские отложения залегают на более древних несогласно и вместе с последними прорваны крупными интрузиями гранитов. Среди герцинских складчатых структур можно выделить три крупные структуры первого порядка — Даурский и Пограничный (Ононский) антиклиниории и расположенный между ними Хапчарангинский синклиниорий.

Пограничный (Ононский) антиклиниорий прослеживается в субширотном направлении в южной части территории. В его пределах выделяются две кулисообразно расположенные антиклинали: Газулутыйская и Алтанская.

В ядре Газулутойской антиклинали выходят силурийские отложения ононской свиты, а на крыльях — девонские толщи ундургинской свиты. Ононская свита слагает несколько опрокинутую на север антиклиналь, осложненную складками второго порядка с размахом крыльев от 2 до 10 км, в ядрах которых выходят отложения нижней подсвиты ононской свиты. Углы падения на крыльях колеблются от 20 до 60—80°. Шарниры складок по простиранию ундулируют. Крылья описываемых складок осложнены мелкими изоклинальными складками нескольких порядков, вплоть до мелкой плойчатости.

Пограничный антиклиниорий с юга и севера ограничен надвигами. Северный надвиг представлен зоной миллионитов мощностью 11 м. Южный надвиг выражен зоной миллионитов мощностью 100—120 м, содержащей блоки рассланцованных пород. В бассейне падей Саготуй и Ирэвэк расположена несколько асимметричной синклиналь, южное крыло которой оборвано нарушением. В ядре складки обнажаются интенсивно дислоцированные песчаники и сланцы верхней ундургинской подсвиты.

Алтанская антиклиналь протягивается от верховьев р. Нижний Олукчаг в запад-юго-западном направлении к низовьям реки Киркун. По р. Букуну шарнир складки образует изгиб и приобретает субмеридиональное простирание. Ядро Алтанской антиклинали сложено отложениями нижней ундургинской подсвиты. Местами оно перекрыто более молодыми отложениями и сохранилось только фрагментами. Алтанская антиклиналь представляет собой простую складку с углами падения на крыльях 45—60°.

К югу от Алтанской антиклинали, в бассейне р. Баяктоли, развита крупная опрокинутая на северо-запад Баяктолинская синклинальная структура. Западная ее часть уничтожена гранодиоритами Кенги-Акуйского массива. В ядре Баяктолинской

синклинали развиты отложения верхней ундургинской подсвиты, на крыльях — отложения средней подсвиты. Размах крыльев этой структуры достигает 11 км. На всем протяжении фиксируется почти однообразное падение пород на юго-запад под углами от 30 до 70°, преимущественно 45—50°. Слоистость большей частью совпадает со сланцеватостью, что указывает на наличие изоклинальных складок высоких порядков, опрокинутых на северо-запад. В верховьях рек Ср. Кармачи и Икэ-Шывыр расположена также довольно крупная синклинальная складка, на южное крыло которой надвинуты отложения ононской свиты.

Внутреннее строение описываемых структур характеризуется большой сложностью. Широко развиты локальные зоны надвигов, зоны рассланцевания и будинирования и явления дисгармоничной складчатости в податливых алевритовых сланцах, заключенных между прослойками песчаников.

Даурский антиклиниорий прослеживается от верховий р. Букукуна в северо-восточном направлении к вершине р. Кыры. Здесь широким развитием пользуются крупные интрузии послепермских гранитоидов, а складчатые структуры сохранились обрывками. Отложения ундургинской свиты выходят в тектонических блоках, ограниченных зонами милонитизации и рассланцевания. Один из таких блоков закартирован в верховье р. Ингоды, в бассейне рек Береи и Бугоригопа. Породы в этом блоке моноклинально падают на юго-восток под углом 70°, что указывает на наличие здесь мелких опрокинутых складок. По р. Агуца, около устья рч. Кумыльской Алии, ундургинская свита собрана в синклинальную складку с размахом крыльев до 6 км. Отложения уртуйской свиты собраны в ряд линейных синклинальных и антиклинальных складок северо-восточного простирания. Размах крыльев этих складок порядка 1—4 км, протяженность складок 12—15 км. Углы на крыльях крутые (60—80°). В замковых частях складок нередко развиваются мелкие дисгармоничные складки. Описываемые структуры осложнены крупными тектоническими нарушениями, которые прослежены вдоль долин рек Ингоды, Анацакана, Зылькунде и в других местах.

Между Даурским и Пограничным антиклиниориями в субширотной полосе, протягивающейся от пос. Букукун на восток к с. Кыра, широким развитием пользуются отложения верхней перми, образующие Хапчерангинский синклиниорий, большая часть которого расположена восточнее изученной нами территории. Между отложениями среднего палеозоя и верхней перми существовал, по-видимому, значительный перерыв. Пермские отложения собраны в складки северо-восточного и субмеридионального простирания. К западу от пос. Букукун закартирована опрокинутая на восток синклинальная складка субмеридионального простирания, имеющая ширину до 7 км.

В лежачем крыле складки углы падения слоев имеют 45—50°, в западном опрокинутом крыле — 60—75°. По правобережью р. Передний Алтан, у с. Алтан, и по пади Хатун пермские отложения образуют антиклинальные складки, в ядрах которых выходят песчаники первой хапчерангинской подсвиты, а на крыльях — породы второй подсвиты. К югу от первых двух структур установлена опрокинутая на северо-запад синклинальная складка, сложенная породами второй хапчерангинской подсвиты. Углы падения крыльев указанных структур довольно крутые (до 50—70°). Эти складки первого порядка осложнены более мелкими структурами, имеющими размах 200—300 м и амплитуду 50—100 м, и разрывными нарушениями.

Среднепалеозойские и пермские отложения прорваны крупными интрузиями гранитоидов многофазного кыринского комплекса. Первая интрузивная фаза, представленная породами средней кислотности, на территории листа не получила развития. Во вторую фазу сформировались гранодиориты, кварцевые диориты и диориты, образующие полусогласные конформные интрузивы с хорошо выраженной первичной полосчатостью. Третья фаза — умеренокислых гранитоидов — представлена как полуогласными, так и несогласными конформными дисгармоничными плутонами. Четвертая фаза — кислых и умеренокислых гранитов и гранодиоритов — является отчетливо посторогенной. Образованные ею плутоны имеют отчетливые контакты, секущие складчатые структуры и могут рассматриваться как несогласные и дисгармоничные. С внедрением интрузии кыринского комплекса закончилось геосинклинальное развитие территории.

### МЕЗОЗОЙСКИЕ (КИММЕРИЙСКИЕ) СТРУКТУРЫ

В средней юре (?) по разломам, возникшим в молодом складчатом фундаменте, в области Даурского и Борщовочного хребтов произошло внедрение гипабиссальных и субвуликанических интрузий дацитов, гранодиорит-порфиров, гранит-порфиров, гранитов и других пород сохондинского и харалгинского комплексов. Эти породы развиты в гольцах Улан-Ганга и приурочены к местам пересечений двух крупных систем разломов: 1) северо-восточной, прослеживающейся от верховьев речки Букукун к озеру Угдыри, и 2) север-северо-восточной, прослеженной в верхнем течении р. Ингоды. Отложения средней — верхней юры и нижнего мела образуют верхний структурный этаж. Букукунская и бырцинская свиты развиты в Кулиндинской и Букукунской впадине, а также по периферии Алтана — Кыринской. Они собраны в пологие простые синклинальные складки с углами падения на крыльях порядка 10—30°. Складки местами осложнены разрывными нарушениями, особенно в бортах депрессий. Мезозойские впадины можно охарактеризовать

как грабен-синклинальные структуры, в образовании которых наблюдаются и прогибания, и радиальные перемещения по разрывам. Наиболее крупная, Алтано-Кыринская впадина представляет собой длинную (60 км) сравнительно узкую (от 4 до 15 км) синклинальную структуру большого радиуса кривизны. Выполняющие ее меловые отложения в центре структуры залегают почти горизонтально, а на крыльях под углом 10—30°. Борта впадины осложнены продольными разломами типа простых сбросов (северный борт) и надвигов (южный борт, у с. Алтан). Общая синклинальная структура осложнена тремя пологими овальными мульдами с амплитудой прогибания до 1200—1500 м, которые по геофизическим данным установлены в районе сел Алтан, Билютуй и Кыра. В пределах Алтано-Кыринской впадины, также по геофизическим данным, установлены поперечные разрывные нарушения: 1) к западу от с. Алтан (сопряженные с направлением долины речек Агуцы и Курейкан), 2) около с. Билютуй (вдоль р. Кыры) и 3) несколько западнее с. Кыра. Все нарушения однотипные — западные крылья опущены, восточные взброшены. Амплитуда перемещений достигает 700—1200 м. В окрестностях с. Алтан выявлена целая сеть нарушений более мелкого масштаба, придающих Алтанской мульде мозаичный облик.

Большинство тектонических нарушений исследуемой территории являются мезозойскими, либо подновлены в мезозое, так как к ним приурочены мезозойские интрузии и связанные с ними гидротермальные образования и рудные концентрации. Часть из этих нарушений являются долгоживущими, как, например, зона катаклаза и брекчирования, прослеженная от вершины р. Букукун к оз. Угдыри. Вдоль этой зоны внедрились жильные дerrиваты кыринской интрузии, затем дайки сохондинского и харалгинского комплексов, которые местами брекчированы и залечены последующими порциями магмы. Всего в районе намечаются три главные системы нарушений: северо-восточные, северо-западные и меридиональные. В кайнозойское время исследуемый район в основном испытывал поднятия и размывы, которые обусловили формирование сильно расчлененного высокогорного рельефа.

## ГЕОМОРФОЛОГИЯ

На территории листа, расположенной на сравнительно небольшом участке Даурского сводового поднятия (мегаформы) и его юго-восточном крыле, по морфометрическому признаку выделяются следующие типы рельефа: 1) высокогорный 2) среднегорный и 3) низкогорный.

По генетическому признаку рельеф подразделяется на эрозионный, ледниковый, денудационный и аккумулятивный.

## ВЫСОКОГОРНЫЙ РЕЛЬЕФ

Область высокогорья охватывает наиболее высокую часть Даурского хребта и его отрогов. Максимальные отметки высот этой области колеблются от 1700 до 2500 м. Относительные превышения водоразделов над дном долин достигают 400—600 м. В пределах высокогорья в зависимости от генезиса и возраста выделяются различные типы рельефа.

Древний эрозионно-денудационный пологосклонный рельеф наблюдается в виде небольших по площади (1—20 км<sup>2</sup>) поверхностей, сохранившихся на водоразделах речек Угдыри и Зылькунде, Агуцы и Ингоды, Агуцы и Агуцакана, Цохондо и Букукуна, не захваченных современной эрозией. Рельеф этих поверхностей отражает только основные очертания древних эрозионных форм (долин и водоразделов), сглаженных процессами денудации. Например, древняя долина на водоразделе речек Зылькунде и Угдыри представлена глубокой пологосклонной седловиной с корытообразным поперечным профилем. Вершины современных, речных долин в результате регressiveвой эрозии срезают древний рельеф.

Ледниковый рельеф развит в наиболее высокогорных частях Даурского хребта — гольцы Цаган-Ула, Быркыктын-Янг и Улан-Чулин. На субвулканических интрузиях сохондинского комплекса в гольцах Цаган-Ула ледниковые скульптурные формы (цирки, кары, троги) сохранились хорошо, а на гранитоидах (гольцы Быркыктын-Янг, Улан-Чулин) гораздо хуже. В районе возможно выделить минимум две фазы оледенения.

Оледенение первой фазы было, по-видимому, наиболее мощным и охватывало всю гольцовую часть района. На перевале из долины р. Береи в р. Агуцакан (между Большим и Малым Сохондо) и на водоразделе речек Зун- и Барун-Агуцакан сохранились участки древних трогов. В днища этих трогов врезаны троги и кары, созданные во вторую фазу оледенения. В верховьях р. Береи и р. Зун-Агуцакан на уровне днища древнего трога наблюдаются древние цирки, в днища которых врезаны молодые кары. Формы предгорного ледника отмечены вдоль северо-западного склона Даурского хребта. Это плоские сглаженные поверхности, на которых сохранились остатки морены (водораздел рек Береи и Бугоригол и др.). Аналогичный рельеф предгорного ледника наблюдался в районе оз. Угдыри, которое является, очевидно, экзарационной ванной.

Вторая фаза оледенения по своим масштабам, очевидно, уступала первой. В пределах гольцов Цаган-Ула хорошо сохранились скульптурные формы — цирки, кары и троги. Цирки имеют вытянутую форму (до 2—3 км) и сравнительно небольшую высоту стенок: 100—150 м. В устьевой части отдельных цирков (оз. Букукунское, оз. Улюртуй и др.) сохранился порог, подпруживающий озера. В вершинах некоторых речек (Барун-

Агуцакан, Зун-Цохондо и др.) наблюдаются кары и троги. Троги имеют глубину до 100—200 м и длину до 10 км. В районе гольцов Улан-Чулин скульптурные формы второй фазы оледенения выражены менее четко.

Аккумулятивный ледниковый рельеф развит на моренных отложениях. Боковые морены представлены узкими валообразными грядами, прислоненными к бортам трогов. Обычная высота таких гряд 20—30 м (реки Быркыкты, Агуцакан) при длине 3—5 км. Донные морены трогов в значительной степени перемыты современными водотоками. Местами (реки Барун-Цохондо, Зун-Агуцакан, Улюртуй и др.) сохранились конечные морены, перегораживающие трог. Они имеют высоту до 30—40 м при ширине 150—200 м. На занимающих обширные площади моренах предгорного ледника (водораздел рек Букукун — Ингода, Цангандуй — Берея, район оз. Угдыри) развиты пологосклонные низкие моренные холмы и валообразные гряды с массивой озер между ними.

Ледники первой и второй фазы использовали древние эрозионные долины. Главнейшим следствием экзарации явилось расширение долин в нижних частях склонов, в результате чего они приобрели типичную форму трогов.

Интенсивно расчлененный эрозионный рельеф распространен в верховьях рек Букукун, Агуца, Ингода и по правобережью р. Кыра. Облик рельефа определяется глубоковрезанными крутосклонными V-образными долинами с узкими водораздельными пространствами. Только крупные реки — Ингода, Агуца, Букукун и Кыра — имеют выработанные ящикообразные долины. Относительные превышения водоразделов над дном долин достигают 400—500 м. Средняя наиболее распространенная крутизна склонов долин 20—30° и значительно реже до 40° и более.

Плоскоступенчатый денудационный рельеф современных поверхностей альтiplanации характеризуется развитием нагорных террас, наиболее отчетливо выраженных выше отметки 1700 м. Общий облик рельефа определяется широкими (от 50—200 м и до 3 км) плоскими почти горизонтальными площадками, расположенными одна над другой и разделенными крутыми уступами — морозными забоями. Высота уступов различная (от 10—30 до 50 м). Количество нагорных террас в пределах различных вершин не одинаково (от 10—12 террас до 15).

### СРЕДНЕГОРНЫЙ РЕЛЬЕФ

Область среднегорного рельефа располагается к юго-востоку от высокогорья и занимает наибольшую по площади часть района. В общем плане поверхности среднегорного рельефа отчетливо намечается уклон к юго-востоку: от 1600—1700 м

в верховьях рек Агуцы и Угдыри до 1500 м у Алтано-Кыринской впадины (к югу от последней до 1500—1300 м). Относительные превышения водоразделов над дном долин — от 200 до 400 м и реже до 600 м. По морфогенетическим признакам в среднегорье выделяются два типа рельефа.

Денудационный рельеф с реликтами древних эрозионных форм наблюдается в пределах отдельных высоких водоразделов: пади Хатун (Кыринский) и пади Хатун (Былинский) р. Букукуна и рч. Ниж. Джермалтай, в междуречье Кыры и Былыры, а также в вершине р. Баяктоли и в других местах. Это наклонные плоские или всхолмленные поверхности, покрытые мощным чехлом крупноглыбовых и щебенчатых осипей. Местами наблюдается неясно выраженная ступенчатость склонов (солюфлюкционные оплавины и погребенные морозозабойные уступы). В области развития гранитоидов часто встречаются вытянутые гряды останцов выветривания. Реликтовые формы древнего эрозионного рельефа (долины) сохранились в районе оз. Угдыри, по водоразделу Нижн. и Верхн. Джермалтаев и в других местах. Различное гипсометрическое положение древнего рельефа в высокогорье и среднегорье (разница в отметках 200—250 м), по-видимому, объясняется глыбовыми перемещениями.

Эрозионный интенсивно расчлененный рельеф существенно отличается от эрозионного рельефа высокогорья: большей расчлененностью и лучшей выработанностью продольного и поперечного профилей долин первого и второго порядка. Долины главных рек (Кыры, Былыры, Агуцы и Букукуна) и их главных притоков имеют ящикообразный поперечный профиль. В верхнем течении они, как и третьестепенные водотоки, имеют V-образный поперечный профиль.

### НИЗКОГОРНЫЙ РЕЛЬЕФ

Низкогорный аккумулятивно-эрэзионный рельеф (мелкосопочник) развит на небольших площадях вдоль южного борта Алтано-Кыринской впадины и на юге района, в низовьях р. Газулутый. Абсолютные высоты вершин колеблются в пределах 1100—1200 м, а относительные превышения в пределах 50—100 м. Для рассматриваемого типа рельефа характерны корытообразные широкие долины с заболоченным дном. Водоразделы представлены пологосклонными увалами или цепочками холмов. Слоны водоразделов и днища долин покрыты мощным чехлом рыхлых отложений.

Рельеф мезозойских впадин характеризуется преобладающим развитием эрозионных форм, что связано с поднятием района. Границы депрессий с окружающим среднегорным рельефом почти всегда отбиваются отчетливо выраженным текtonическим уступом. В пределах Алтано-Кыринской впадины

выделяются эрозионный, эрозионно-структурный и аккумулятивный рельеф. Эрозионно-структурный рельеф развит на поверхности выходов верхнеюрских эфузивов, покровы которых образуют поперечные к водоразделам гряды вдоль бортов впадины. Эрозионный слаборасчлененный рельеф наблюдается на площадях развития нижнемеловых отложений. Для него характерны корытообразные широкие долины, разделенные пологими плоскими увалами.

Аккумулятивный рельеф в пределах Алтано-Кыринской впадины представлен пролювиально-делювиальными шлейфами, окаймляющими впадину. Поверхность шлейфов выглядит как наклонная равнина с пологосклонными увалами, снижающимися в сторону центральной части впадины. Эродированные впадины (Букуунская и Кулиндинская) располагаются в области среднегорного рельефа. Они прорезаны до фундамента, и мезозойские отложения сохранились в основном только на водоразделах, на которых наблюдаются участки слаборасчлененного холмистого рельефа.

### РЕЧНЫЕ ДОЛИНЫ

Сложно расчлененная гидросеть района в своем развитии подчинена двум направлениям. В юго-восточном или северо-северо-восточном направлении текут реки, берущие начало в Даурском хребте (Ингода, Кыра, Былыра, Агуца, Букуун, Киркун и основная часть их притоков). Эти долины часто используют ослабленные тектонические зоны. Северо-восточное направление долин вызвано заложением их в зонах разломов северо-восточного простирания (Барун-Кивакат, верховья Агуцакана, Анацкан, Угдыри и др.).

Продольные профили долин рек имеют сложное строение: в бассейнах Кыры, Агуцы, Букууна и Ингоды наблюдается от двух до трех переломов продольного профиля, выраженных эрозионными уступами.

В районе можно выделить три комплекса речных террас. Первая терраса, аккумулятивная, отмечена в виде реликтов по рекам Букуун, Агуца и Кыра. В верхних по течению участках высота террасы не более 1,5 м, в нижних — 2,5—3 м. Вторая терраса чаще всего эрозионно-аккумулятивная и только в верховьях бассейнов Букууна и Агуцы переходит в эрозионную. Высота второй террасы в верховьях рек колеблется от 3 до 5 м, перед выходом речных долин в Букуунскую и Алтано-Кыринскую впадины достигает 7—8 м, а вдоль южной рамки листа до 10 м. Ширина площади террасы в горной части района невелика и редко достигает 100—200 м, а во впадинах она увеличивается до нескольких километров. Третья терраса, аккумулятивно-эрэзионная, установлена в долинах рек Букуун, Агуцы, Кыры и Газулутый. Высота террасы составляет 8—10 м в верховьях рек и около 20 м на выходе долин в Алтано-Кыринскую впадину.

История формирования рельефа может быть расшифрована начиная с юрского времени.

Период, охватывающий время от средней юры до конца нижнего мела, связан с этапом формирования сводового поднятия Даурского хребта, когда были созданы все главнейшие элементы наблюдаемого сейчас тектонического макрорельефа. К этому времени относится формирование впадин типа грабен-синклиналей (Алтано-Кыринская, Букуунская, Кулиндинская впадины) и разделяющих их хребтов — глыбовых антиклиналей (хребты Даурский, Борщовочный и Ононский). В момент отложения букуунской свиты рельеф впадин представлял собой пролювиально-аллювиальные равнины с озерами. К концу верхней юры в пределах впадин на поверхности верхнеюрских эфузивов образовалось структурное плато. В начале мела во впадинах продолжалось погружение, однако оно было довольно плавным (в отложениях нижнего мела мало конгломератов). К концу раннемелового времени рельеф района представляется обширной аккумулятивной равниной, среди которой на месте бывших хребтов сохранились низкие возвышенности с рельефом, находящимся в стадии близкой к пенепленизации.

К концу нижнего мела в связи с новыми тектоническими подвижками район испытывал в основном поднятие (эта тенденция сохраняется и в настоящее время). Об этом свидетельствует отсутствие сколько-нибудь значительной, соизмеримой с нижнемеловой аккумуляцией осадков во впадинах всего Забайкалья в третичный и четвертичный периоды. В это время резко ожила эрозионная деятельность. В средне-верхнечетвертичную эпоху наиболее возвышенные участки Даурского свода были охвачены горным оледенением.

### ПОЛЕЗНЫЕ ИСКОПАЕМЫЕ

На исследованной территории обнаружены промышленные месторождения редких металлов, главным образом олова и вольфрама. Меньшее значение имеет золото. Другие металлические ископаемые: молибден, свинец, цинк, марганец, сурьма, мышьяк, ртуть, никель и кобальт на площади листа в практически интересных концентрациях не встречены. Нерудные ископаемые представлены бурыми углами, пьезокварцем, флюсовыми известняками и кирпичными глинами. Известняки, глины и угли имеют только местное значение.

### ГОРЮЧИЕ ИСКОПАЕМЫЕ

#### Бурый уголь

Угленосность на территории листа М-49-ХХII связана с нижнемеловыми отложениями, выполняющими Алтано-Кыринскую впадину. Кроме того, незначительные углепроявления известны

в средне (?)-верхнеюрских отложениях Букуунской впадины.

Алтанское месторождение бурых углей (121) расположено в западной части Алтанско-Кыринской впадины в районе с. Алтан. Площадь разведанной части месторождения составляет 40 км<sup>2</sup>, где выделяется от 1 до 9 пачек угля мощностью в 0,03—5,0 м. Глубина залегания угольных пластов от 0,0 до 240 м. Угли высокозольные (32,16%), труднообогатимые, непригодные для коксования и пригодные для полукоксования, имеющие повышенный выход летучих (11%), малосернистые S<sub>общ</sub> 0,65%. Уголь бурый с высокой степенью метаморфизма или же каменный слабометаморфизованный, относящийся к длиннопламенным. Запасы на 1/VII 1959 г. по С<sub>2</sub> составляют 26,234 тыс. т и отнесены к забалансовым. Перспективы прироста запасов на глубину отсутствуют.

### МЕТАЛЛИЧЕСКИЕ ИСКОПАЕМЫЕ

#### Марганец

Марганцевое рудопроявление (инфилтратационного типа) расположена на правом склоне долины р. Алтана, в 5 км к юго-западу от с. Алтан (133) и открыто Алтанской партией в 1955 г. Минерализация приурочена к полю развития переслаивающихся песчаников и алевролитов пермского возраста, интенсивно расщелоченных и на отдельных участках брекчированных по зоне разлома северо-восточного простирания. Рудные минералы (пиролюзит и полианит — 50%, псиломелан — 47% и гидрокислы железа — 3%) образуют корки, налеты пленки и прожилковидные стяжения, а также выполняют густую сеть трещин и образуют жилообразные стяжения мощностью до 10 см.

Среднее содержание марганца в рудной массе 1,5—2% при максимальном 9,4% и минимальном 0,1%. На глубину рудопроявление не изучено. Низкое содержание марганца не позволяет рассчитывать на возможность промышленного использования этого рудопроявления.

#### Свинец и цинк

Свинцово-цинковые руды встречаются как спутники олова в касситеритово-сульфидных месторождениях, и только в отдельных случаях известны самостоятельные проявления этих металлов. Наиболее интересное, но слабо изученное рудопроявление расположено на правом склоне долины рч. Барун-Цохондо (96). Рудные тела представлены эпидот-циозитовыми скарнами, развитыми по брекчированным палеозойским песчаниково-сланцевым породам. Содержание свинца в скарнах до 2%. По простирианию зоны брекчирования в этих же скарнах установлены олово и вольфрам (95).

В верховьях рч. Зун-Агуцакана, у верхней кромки цирка с двумя озерами (60), в дайках наблюдаются три зоны ме-

риализованных брекчий мощностью от нескольких сантиметров до 0,5 м. Цемент брекчий карбонатно-кварцевый с обильной вкрапленностью пириита, арсенопирита, сфалерита, галенита, пиrottита и висмутового блеска. В небольшом количестве существует шеелит. Содержание свинца в минерализованной брекчии 0,7—1,0%. В северо-западной стенке цирка обнажается серия таких же зон минерализованных брекчий (58), расположенных в экзоконтакте дайки гранит-порфира. Наряду с сульфидами здесь наблюдается вкрапленность кассiterита. Содержание свинца в рудных тела до 1—2% при 0,04% олова.

Известны проявления свинца в аллювии. Ореолы со знаковыми содержаниями галенита выделены в нижнем течении рч. Угдыры (25) и по левобережью р. Былыры, в бассейне падей Шивыртай и Хатун (91). На названных участках установлены (особенно в бассейне рч. Угдыры) зоны разломов, а также интрузии харалгинского комплекса. Коренные источники галенита, по-видимому, представлены еще не обнаруженными проявлениями касситеритово-сульфидного оруденения.

#### Никель — кобальт

Кобальтово-никелевое оруденение было встреченено на водоразделе речек Угдыры и Зылькунде (12). Участок рудопроявления сложен ороговикованными нижнекаменноугольными (?) песчаниками, в которых развита серия зон тектонических брекчий. Простижение главной зоны СЗ 305°, падение вертикальное. Оперяющие трещины имеют простижение 330—340°, падение вертикальное и к северо-востоку под углом 70°. К главной зоне приурочена дайка титаномагнетитового сульфидосодержащего пикрита мощностью 1,2 м, прослеженная на 200 м. В пикrite установлен никель в количестве 0,2%. Трещины, оперяющие главный разлом, выполнены кварцево-сульфидными жилами мощностью до 2 м, прослеживающимися до 150 м. Минералы жил: пириит, пиrottин, халькопирит, арсенопирит, пентландит и магнетит. В жилах установлены: никель (0,66—0,75%), кобальт (0,03—0,08%), олово (0,01—0,03%), свинец (до 0,1—2,18%), цинк (до 1,16%), титан (0,01—0,2%) и железо (до 10%). Песчаники в зонах дробления несут ильменитовую минерализацию и содержат титан в количестве 13%, цирконий—0,01%, марганец — 0,1% и галлий — 0,003% (химанализ). Присутствует гранат.

#### Мышьяк

Мышьяк установлен в качестве спутника оловянного, молибденового и вольфрамового оруденения, а также образует самостоятельные рудопроявления. Рудные тела представлены кварцевыми жилами с вкрапленностью, прожилками, гнездообразными и линзовидными скоплениями арсенопирита. Все известные рудопроявления мышьяка (123, 124, 125, 128, 141) расположены

гаются в контактовых зонах гранитоидов кыринского комплекса и в зонах развития даек харагинского комплекса, локализуясь в зонах дробления.

### Золото

В пределах района незначительные по масштабам золоторудные проявления отмечены в верховьях пади Осоты-Хурулты (138, 139, 140). Здесь, в поле развития ононской свиты наблюдается дайка мусковитизированного микродиорита, в эндо- и экзоконтактовой зонах которой развиты связанные с ней обильные инъекции кварца. Содержание золота в кварце от следов до 0,5 г/т. В районе пос. Усть-Букукун, в верховьях р. Быркекты (143), в кварцевой жиле с вкрапленностью молибденита, залегающей среди однородных пермо-триасовых гранодиоритов, наряду с незначительным (0,01%) содержанием олова было установлено золото в количестве 0,8 г/т. Золото в количестве 0,6 г/т известно также в кварцево-арсенопиритовых жилах Букукунского рудопроявления (141).

Проявления золотой минерализации установлены в касситерито-сульфидных месторождениях, связанных с юрскими интрузиями (харагинского комплекса). Золото (до 0,33 г/т) известно в сульфидах рудопроявления Улан-Ганга (104). На перевале рч. Зун-Агуцакан и р. Беряя на обширной площади в крупноглыбовом делювии наблюдаются дациты и прорывающие их гранит-порфирь и кварцевые порфиры. Эти породы местами грейзенизированы и инъецированы сульфидно-кварцевыми жилами с вкрапленностью касситерита (55). В измененных дацитах (56) установлено золото в количестве 2,4 г/т и серебро — 16,4 г/т. На этом же участке золото (до 1,6 г/т) отмечено в связи с кварцево-кальцитовыми прожилками в неизмененных дацитах. По-видимому, того же юрского возраста золотое рудопроявление Отстойное (2), расположенное в зоне Ингодинского разлома (левый склон р. Ингоды против устья рч. Майляту). На рудопроявлении наблюдаются зоны охристых брекчий, местами окварцованных и карбонатизированных. В кварцевых прожилках установлены следы золота и до 8,1 г/т серебра.

Из россыпных проявлений золота наиболее крупное расположено в пади Золотой (126). Длина россыпи около 200 м. Верхняя ее часть отработана старателями (добыто 100 кг золота). Мощность торфов 3,5 м, песков — 1 м. В нетронутой разработкой части россыпи запасы не подсчитаны. Перспективы для прироста запасов невелики.

Менее значительная россыпь известна по пади Букукунская Хапчераңа (135). Большая часть россыпи отработана. Добыто 4, 13 кг золота; содержание 0,59 г/м<sup>3</sup>. В оставшейся части запасы составляют 1,16 кг, при содержании 0,944 г/м<sup>3</sup>.

Проявления золота (знаковые) в аллювии в единичных пробах известны по рекам Барун-Баяктоли, Кучигэр, Шумунда,

Агуцакан, Догибкыл, Анацакан, Агуца, Букукун. По рекам Шивертай, Хатун, Ближн. Шивичи и Киркун в некоторых шлиховых пробах золото установлено в весовом количестве. Максимальные содержания золота в аллювии: рч. Киркун до 0,45 г/м<sup>3</sup>, рч. Хатун — 1,6 г/м<sup>3</sup> и рч. Ближн. Шивичи — 2,4 г/м<sup>3</sup>.

### Олово

В описываемом районе проявления олова связаны с пермотриасовым и среднеюрским интрузивными комплексами.

Оруденение, связанное с пермотриасовыми интрузиями, установлено в пегматитах, встречающихся очень редко (Улурийское рудопроявление, 88), и практического интереса не представляет.

Основная часть проявлений оловянного оруденения связана со среднеюрским, харагинским, интрузивным комплексом. Месторождения и рудопроявления относятся к касситерито-сульфидной и касситерито-кварцевой формациям с широким развитием переходных типов. Среди них выделяются следующие типы: полевошпатово-кварцевый, касситерито-кварцевый, грейзеновый, сульфидно-железистый, сульфидные скарны. Месторождения группируются в рудные узлы, приуроченные к крупным региональным разломам (Ингодинскому, Сохондинскому и Былыринскому).

Сохондинский рудный узел представлен группой месторождений и рудопроявлений олова, расположенных в районе гольцов Цаган-Ула. Здесь, среди песчанико-сланцевых отложений уртуйской свиты обнажен массив субвулканических образований сохондинского комплекса, прорванный интрузиями гранитов и гранит-порфиров харагинского комплекса, приуроченными к разломам. Один из разломов (Сохондинский), прослеживается в юго-восточной части рудного узла и состоит из двух ветвей — зон дробления северо-восточного простирания. В северной части прослежен Ингодинский разлом, представленный сложной серией зон дробления север-северо-восточного и меридионального простираций.

В центральной части рудного узла находится наиболее крупное в районе Сохондинское месторождение, имеющее общие черты с месторождениями касситерито-кварцевого и касситерито-сульфидного типа. На юге, в верховьях бассейна Букукуна, преимущественное развитие по количеству проявлений принадлежит сульфидно-железистому типу, а по интенсивности оруденения — касситерито-кварцевому. Рудные тела залегают как в интрузивах сохондинского и харагинского комплексов, так и в палеозойских осадочных породах и гранитоидах. В северной части рудного узла проявлен полевошпатово-кварцевый тип оловянной минерализации (Право-Беренинское рудопроявление, 49). На этом участке интрузии харагинского комплекса не имеют значительного развития, однако широко распространены

ненная сульфидная минерализация в зонах дробления Ингодинского разлома позволяет предполагать наличие еще не вскрытых эрозией рудоносных интрузивов.

Сохондинское оловянно-вольфрамовое месторождение (54) открыто в 1934 г. геологом А. П. Скрябиковым. Расположено оно на левом склоне долины рч. Левой Береи. Рудное поле сложено плагиопорфирами и дацитами сохондинского комплекса, прорванными дайками и штокообразными телами гранит-порфиров и кварцевых порфиров. Месторождение представлено оловорудной зоной и шеелитовым штокверком.

Оловорудная зона прослежена по простиранию на 1000 м и состоит из сопрягающихся меридиональной и широтной зон. Меридиональная зона имеет падение на юго-запад под углом 60—70°, а широтная — на северо-запад под углом 65—75°. Мощность зон меняется от 3 до 18 м. Рудные тела представлены сетью коротких прожилков и жил протяженностью, не превышающей нескольких метров, реже десятков метров. Боковые породы грейзенизированы и насыщены сульфидами. Минералогический состав рудных тел: кварц, касситерит, шеелит, арсенопирит, лёллингит (главные минералы), сфалерит, галенит, халькопирит, станин, пирит, молибденит, пирротин, висмутин, тетрадимит, марказит, полевой шпат, анкерит, сидерит, кальцит (второстепенные). Касситерит в оловорудной зоне преобладает над шеелитом. Содержание олова на поверхности на всю мощность зоны составляет 0,056%, а по подземным выработкам — 0,15%. Среднее содержание олова в жильной массе 0,5%.

Шеелитовый штокверк, открытый старателями в 1938 г., расположен во внутренней части оловорудной зоны. Представляет собой густо насыщенную жилами субмеридиональную зону, занимающую площадь 200×60 м.

Рудные тела представляют кварцево-карбонатные и кварцево-арсенопиритовые жилы и прожилки, приуроченные к трем системам трещин: а) почти горизонтальной, б) крутопадающей на запад и в) крутопадающей на север. Местами жилы сближены и образуют штокверк. Околорудные изменения выражены в грейзенизации. Шеелит в рудных телах преобладает над касситеритом. Опробования по шеелитовому штокверку не производилось. По штуфным пробам содержание вольфрама определяется в 0,15%.

Штуфным опробованием на месторождении установлены также свинец (до 2,5%), бериллий (0,01%) и мышьяк (до 1%). Запасы олова по В+С<sub>1</sub> составляют 537 т, а по С<sub>2</sub> — 449 т олова и 55 т вольфрама. Около 10% олова представлено в виде станнина. При эксплуатации добыто 10 т олова и 60 т вольфрамистого концентрата. Месторождение законсервировано ввиду неблагоприятных географо-экономических условий.

Сходного типа рудная минерализация отмечена на рудопроявлениях 58, 55, 53, 64, 66. Это либо рудные жильные тела (55,

53), либо зоны минерализованных брекчий (58, 64). Практического значения названные рудопроявления не имеют ввиду малых размеров и низких содержаний олова (сотые доли процента). Некоторый интерес представляет рудопроявление Перевальное (55), где в делювиальных свалах оруденелых пород установлены сравнительно высокие концентрации касситерита (до 12 г/м<sup>3</sup>).

Рудопроявление Улан-Ганга (104) представлено серией минерализованных зон, образовавшихся вдоль сброса северо-восточного простирания на контакте пород уртуйской свиты и гранодиоритов кыринского комплекса. Преобладающими рудными минералами являются сульфиды железа, главным образом пирротин и в меньшей степени арсенопирит и пирит (сульфидно-железистый тип). Содержание олова в рудах низкое (0,01—0,09%) и только в единичных случаях достигает 0,13%. Помимо олова установлены вольфрам (до 0,2%) и золото (0,33 г/т).

Близки к вышеописанному по типу минерализации и морфологии рудных тел рудопроявления № 61, 62, 57, 63, 108. В отношении рудопроявления 108 следует отметить, что здесь наряду с зонами сульфидной минерализации развиты редкие касситеритово-кварцевые жилы и прожилки.

Близким к галенито-сфалеритовому типу является Букуунское рудопроявление (101). Здесь рудные тела, залегающие в среднеюрской интрузии, характеризуются ведущим значением сульфидов железа, особенно пирротина, а жилы, расположенные в экзоконтактовой зоне, отличаются широким развитием галенита и сфалерита. Ни одно из известных рудопроявлений сульфидно-железистого типа не представляет интереса ввиду низких содержаний олова (сотые и тысячные доли процента).

Букуунское месторождение, открытое в 1955 г. А. Я. Колтуном, расположено в верхнем течении р. Букуун, по кл. Загадочному (99). Площадь рудного поля на юге сложена породами уртуйской свиты, а на севере — кварцевыми диоритами порфиритами сохондинского комплекса. В центральной части обнаружается массив гранитов харагинского комплекса, рассеченный маломощными дайками гранит-порфиров, кварцевых порфиров и лампрофиров.

В структурном отношении месторождение приурочено к Сохондинскому разлому и располагается в трещинах оперения северо-западного и широтного простираций. На месторождении установлено 5 рудных зон, прослеженных по простиранию на 250—600 м. Мощность их колеблется от 1 до 5,0 м. Рудные зоны располагаются в гранитах харагинского комплекса. Строение зон прожилковое, сетчатое, брекчиеидное. Сетчатые и прожилковые зоны состоят из турмалиновых, кварцево-турмалиновых, кварцево-турмалино-касситеритовых, кварцевых и касситеритовых прожилков, нередко сменяющихся в залывандах зон вкрапленными рудами. В одной из пяти зон рудные тела представ-

ляют собою полевошпатово-кварцевые жилы с вкрапленностью кассiterита.

На флангах некоторых зон состав рудных тел несколько изменяется: появляются полевошпатово-кварцевые жилы (наложенная фельдшпатизация) часто с сульфидами — пиритом, арсенопиритом, галенитом, молибденитом. В отдельных случаях отмечен флюорит. Околоожильные изменения выражены в турмалинизации и альбитизации боковых пород и, в меньшей мере, в их хлоритизации и сульфидизации.

На месторождении выделяется, по Н. И. Тихомирову и Ж. Н. Рудаковой, четыре стадии минерализации. В наиболее раннюю стадию происходила альбитизация и грейзенизация пород, с которыми связано появление незначительного количества кассiterита. Вторая стадия — кварц-кассiterитовая. С третьей стадией связано образование безрудного кварца с небольшим количеством альбита, в четвертую происходит интенсивная турмалинизация. Максимальное содержание олова (16%) наблюдается в брекчийных рудах, минимальное — на флангах рудных зон. Среднее содержание олова по месторождению колеблется в пределах 0,61—2,09%. Запасы по  $C_1 + C_2$  на 1960 г. составляют 2664 т олова. Месторождение находится в стадии разведки.

Вблизи Букуунского месторождения известны рудопроявления с аналогичным характером минерализации. Это слабо изученные рудопроявления (94, 102), представленные кварцевыми жилами с вкрапленностью и тонкими прожилками кассiterита. Содержание олова низкое — от 0,01% (102) до 0,1% (94). В пределах Сохондинского рудного узла имеются рудопроявления олова грейзенового типа (105) и сульфидные скарны (95), не представляющие практического интереса ввиду низких содержаний олова (сотые доли процента), а также слабо изученные рудопроявления полевошпатово-кварцевого типа (49, 59).

Агуцинская группа рудопроявлений располагается в междуречье Агуцы и Быркыкты. В центральной и южной частях рудного поля широко развиты дайковые тела гранит-порфиров харалгинского комплекса, а также трещинные интрузивы сохондинского комплекса, приуроченные к зонам дробления Сохондинского разлома. Для рудного узла характерно кварцево-турмалиновое оловянное оруденение кассiterито-кварцевого типа, соответствующее слабо оловоносной первично-кварцевой тектонике. Рудной стадии минерализации на Букуунском месторождении. Рудные тела представлены кварцево-турмалиновыми жилами и зонами скварцовых и турмалинизованных брекчий. Кварцево-турмалиновая минерализация сопровождается сульфидами (арсенопиритом, пиритом и халькопиритом). Преобладает арсенопирит (65, 70, 73, 74, 69).

Рудопроявления собственно кассiterито-кварцевого типа (72 и 77) представлены кварцевыми жилами с вкрапленностью кас-

терита. Они залегают или непосредственно в теле оловоносного интрузива (72) или же очень близко от него (77). В рассматриваемом рудном узле отмечены также незначительные по масштабам рудопроявления с убогим содержанием олова, представленные зонами окварцевания и сульфидизации (75, 68) и грейзенами (80, 82).

Ни одно из известных в Агуцинской группе рудопроявлений не имеет практического значения. Опробование в участках наиболее интенсивно проявленной минерализации показало содержание олова в пределах 0,01—0,05%. Совместно с оловом в большинстве случаев присутствует вольфрам в виде шеелита.

Кыринская группа рудопроявлений расположена на водоразделе Зылькунде и Угдыри. Геологическая обстановка определяется наличием здесь пород уртуйской свиты, прорваных пермо-триасовыми гранитоидами и гранитами второй фазы харалгинского комплекса. Последние приурочены к участку пересечения разломов северо-восточного и северо-западного простираций. Оруденение локализуется как в зонах дробления, так и вне их и представлено полевошпатово-кварцевым и кассiterито-кварцевым типами.

Полевошпатово-кварцевое рудопроявление олова (14) приурочено к интенсивно перемятым и раздробленным в зонах пересечения разломов осадочно-метаморфическим породам уртуйской свиты. Рудные тела представлены полевошпато-кварцевыми прожилками, образующими весьма насыщенную сетчатую или штокверковую зону, в которой кассiterит ассоциирует с сульфидами (арсенопиритом, реже галенитом).

На левом склоне долины рч. Зылькунде известны кварцевые жилы с вкрапленностью молибденита. В некоторых из них установлено олово (16). По своему составу молибденито-кварцевые жилы очень сходны с таковыми на Усть-Букуунском молибденовом месторождении (там также известны признаки оловоносности).

В обоих случаях жилы расположены в эндо- и экзоконтактовых зонах пермо-триасовых гранитоидов. Оба рудопроявления (16, 14) малоперспективны ввиду низких содержаний олова в рудах: 0,02%—0,04% (14) и 0,06% (16%).

Былыринский рудный узел объединяет группу рудопроявлений, располагающихся в зоне Былыринского разлома. Значение рудного узла определяется россыпями кассiterита по долинам падей Нижн. Салбартау и Арашентай. Рудное поле сложено пермо-триасовыми гранодиоритами. Здесь же развиты осадочно-вулканогенные отложения букуунской свиты и дайки гранит-порфиров харалгинского комплекса. В районе с. Кулинда, а также в устьях падей Арашентай и Нижн. Салбартау находятся участки сопряжений Былыринского разлома, параллельного долине р. Былыра, с поперечными разломами северо-восточного, широтного и северо-западного простираций. На этих

участках располагаются известные в рассматриваемом рудном узле рудопроявления олова. Оруденение локализуется в зонах дробления.

По характеру рудной минерализации выделяется несколько типов. Рудопроявления переходного между касситерито-кварцевым и касситерито-сульфидным типами (35, 36, 40, 37) располагаются в некотором удалении от интрузивов гранит-порфиров. В составе рудных тел в значительном количестве присутствуют сульфиды свинца, цинка и мышьяка. Иногда (35) наблюдается турмалинизация боковых пород. Полезные компоненты содержатся в незначительных количествах (олово в сотых и тысячных долях процента, свинец и цинк — в десятых).

Сульфидно-железистый тип оруденения отмечен только на Былыринском рудопроявлении (90). Форма рудных тел жильная; рудные минералы: пирит, арсенопирит, халькопирит, касситерит, станинит. Рудопроявление разведывалось и признано бесперспективным из-за низкого содержания олова в рудах (сотые и тысячные доли процента).

Кроме вышеотмеченных типов оруденения известны слабо оловоносные грейзены с сульфидной вкрапленностью (39) и полевошпато-кварцевые жилы (41, 90), развитые непосредственно около интрузивов гранит-порфиров.

Промышленные концентрации касситерита в россыпях известны по долинам падей Нижн. Салбартуй (34) и Арашен-туй (33). В пределах территории листа расположены только нижние части россыпей. Суммарные запасы олова в россыпях по А+В 739 т, по С<sub>1</sub> — 133 т. Содержание олова в песках по категориям: В — 0,055%, С<sub>1</sub> — 0,043%, С<sub>2</sub> — 0,03%. Содержание олова\* в уже добытых песках 0,076%. Касситерит в россыпях крупнокристаллический, по типоморфным признакам характерный для пневматолитовых образований и не похожий на касситерит, известный в оловянных рудопроявлениях харалгинского комплекса. Возможным источником россыпей может быть касситерит, рассеянный в пегматоидных пермо-триасовых гранитах. Россыпи из аллювиальных переходят в элювиально-делювиальные. В делювии встречаются обломки гранита с миаролитами, выполненные крупнокристаллическим касситеритом.

В долине р. Правой Береи, притока р. Ингоды, прослежена россыпь касситерита (48) длиной до 800 м при ширине 8—80 м. Мощность песка 3—5 м, торфов 4—5 м. Содержание касситерита и шеелита: в песках 400 г/м<sup>3</sup>, в торфах 50 г/м<sup>3</sup>.

Знаковые содержания олова в аллювии обычны в области развития интрузивных пород пермо-триасового и раннеюрского возраста, особенно в северной части территории, в окрестностях

\* В нижних частях долин содержание касситерита в россыпях ниже промышленного минимума. Так, Нижне-Салбартуйская россыпь на протяжении около 2 км вверх от устья является непромышленной, а протяженность непромышленного участка Аратептуйской россыпи составляет около 4 км от устья.

описанных выше рудных узлов. Ореолы с повышенным содержанием (многознаковым и весовым) встречены в верховье р. Ингоды (1), где касситерит часто присутствует в аллювии в весовых количествах от 1 до 4 г/м<sup>3</sup>. Аналогичные ореолы установлены в верховьях рек Букукуна (93), Агуцы и Угдыри (19, 21, 112). В аллювии по р. Талгихта установлено присутствие касситерита до 26 г/м<sup>3</sup>, по р. Баданде — от 2,6 до 78 г/м<sup>3</sup> и по р. Быркыкте до 13 г/м<sup>3</sup>, кроме того, касситерит встречен в верховьях р. Кыры и по ее левым притокам (22), по реке Былыре у с. Кулинда (№ 89). Обращает на себя внимание наличие касситерита в аллювии верховья рч. Передний Алтан, где геологическая обстановка благоприятна для поисков коренных месторождений.

### Вольфрам

Шеелит присутствует в большинстве месторождений и рудопроявлений олова. В промышленных концентрациях он установлен только на Сохондинском оловянно-вольфрамовом месторождении. Известные в районе вольфрамовые рудопроявления представлены пегматитами (35) или кварцевыми (122) и молибденито-кварцевыми жилами (11), образовавшимися, по-видимому, в связи с интрузиями кыринского комплекса, а также полевошпато-кварцевыми жилами (28), развитыми в зонах разломов и связанными с гранитами харалгинского комплекса.

Наиболее интересное рудопроявление (с содержанием до 10% шеелита) расположено на правом склоне долины р. Кыры, против устья Угдыри (28). На участке рудопроявления развиты граниты четвертичной фазы кыринского комплекса, катаклизированные в зоне разлома. Катаклизиты инъецированы полевошпато-кварцевыми жилами мощностью до 0,5 м с вкрапленностью крупных кристаллов шеелита (до 2 см). Рудопроявление изучено очень слабо.

В аллювии, особенно в областях развития гранитоидов, шеелит присутствует повсеместно и создает определенный фон. Ореолы повышенных концентраций этого минерала (3, 4, 5, 7, 9, 13, 23, 29, 42, 79, 86, 103 и 106) обычно совпадают с таковыми для касситерита и группируются в районах оловорудных узлов. И только в юго-восточной (92, 130) и юго-западной (нижнее течение р. Киркун) части района шеелит образует ореолы рассеяния совместно с золотом и иногда с киноварью.

### Молибден

Молибденовая минерализация в исследованном районе известна в связи с пермо-триасовыми и среднеюрскими интрузиями, но практически интересных объектов не образует.

Молибден известен как постоянный спутник олова во многих касситерито-кварцевых и касситерито-сульфидных месторожде-

ниях и рудопроявлениях. Рудопроявления, имеющие самостоятельное значение, представлены полевошпато-кварцевыми (15) и кварцевыми (50, 47, 51) жилами с убогой вкрапленностью молибденита. Максимальное содержание молибденита достигает 0,07% (50). В двух пунктах известно молибденовое оруднение, находящееся в непосредственной связи с рудоносными раннеюрскими интрузивами (107, 98). Здесь в экзоконтактах даек гранит-порфиров, прорывающих пермо-триасовые гранодиориты, наблюдалась вкрапленность молибденита. Максимальное содержание молибдена в минерализованных породах 0,02% (107).

Рудопроявления молибдена, связанные с пермо-триасовыми интрузиями, представлены пегматитами и кварцевыми жилами. Проявления молибденового оруднения в пегматитах редки и незначительны по размерам (76, 131).

Чаще встречаются рудопроявления, представленные кварцевыми жилами с вкрапленностью молибденита, располагающиеся в экзо- и эндоконтактовых зонах пермо-триасовых интрузивов. Самое крупное из них — Усть-Букуунское рудопроявление (144), рудное поле которого сложено пермо-триасовыми гранодиоритами, контактирующими с северо-запада с ксенолитом роговиков. В эндо- и экзоконтактовой зонах наблюдаются кварцевые жилы, в некоторых из которых имеется вкрапленность молибденита. Всего установлено 5 жил мощностью от 5 до 50 см и протяженностью до 100 м. Содержание молибдена в жилах неравномерное и колеблется от следов до 0,35%. Запасы по месторождению составляют 0,823 т молибдена. Рудопроявления аналогичного типа отмечены в других местах (10, 84, 119, 120, 115, 142). Все эти рудопроявления с промышленной точки зрения мало перспективны.

Несколько иного характера молибденовое оруднение отмечено в верховьях рч. Передний Алтан (134). Здесь на контакте с гранодиоритами палеозойские песчаники инъецированы кварцевыми жилами с вкрапленностью молибденита, а в зоне мощностью 5 м окварцованны и сульфидизированы. Гранодиориты местами грейзенизированы и импрегнированы сульфидами (молибденитом, арсенопиритом, пиритом и халькопиритом). Содержание молибдена в окварцовых породах 0,001—0,003%, в грейзенах и кварцевых жилах до 0,01%; установлен также ванадий в количестве 0,01%.

### Редкие элементы

Монацит пользуется широким распространением и отмечен в аллювии почти всех рек. Весовые количества известны в нескольких пробах в долинах Верхней и Нижней Улури (от 1,04 до 156 г/м<sup>3</sup>). Коренным источником монацита являются различные гранитоиды, в которых он присутствует как акцессорный минерал.

### Ртуть

В верховьях р. Осоты Хурулты киноварь в знаковых количествах встречена в шлихах совместно с золотом, шеелитом и висмутином (130). Знаки киновари были отмечены в бассейнах р. Газулутый и по р. Ингоде, в ее левом притоке между устьями рек Береи и Бугоригола (8).

### Сурьма

Незначительные проявления сурьмы представлены жилами низкотемпературного кварца с убогой вкрапленностью антимонита. Обнаружены они в районе левых притоков р. Кыры (29, 32) и по Бол. Мангуткэну (85) в поле развития гранитов второй фазы кыринского комплекса.

## НЕМЕТАЛЛИЧЕСКИЕ ИСКОПАЕМЫЕ

### Горный хрусталь

Большинство известных проявлений горного хрусталя связано с пегматитами кыринского комплекса. Наиболее значительное проявление (44) расположено на левом склоне долины пади Талачи. Здесь наблюдается пегматитовая жила мощностью 2 м с кварцевой осью. Местами кварц образует ограниченные кристаллы размером до 55 см в длину. Аналогичного типа проявление (110) расположено в верховьях рч. Зун-Шевертай.

В приустьевых частях речек Угдыри и Догибкыла (26, 24) в делювии встречены крупные (5—15 см в длину) обломки хорошо ограниченных кристаллов кварца. На этих участках пользуются широким развитием пегматитовые жилы, залегающие в пермо-триасовых гранитоидах, а на правом склоне рч. Угдыри известны зональные пегматитовые жилы с кварцевыми осями.

По непроверенным данным, на Сохондинском оловянно-вольфрамовом месторождении в оловорудной зоне имеются занорыши размером до 0,45×0,5 м, выполненные кристаллами кварца, достигающими 25 см в длину.

### Поделочные камни

В разных местах на участках развития покровов верхнеюрских эффузивов наблюдались халцедоновидные и опаловые желваки. Иногда в желваках имеются пустоты, выполненные мелкими кристаллами аметиста (3—4 мм, реже 0,8—2 см по длиной оси). К северу от с. Кыры в устьях речек, прорезающих покровы эффузивов, наблюдаются скопления опаловых и халцедоновидных желваков, особенно обильных в устье рч. Дальней Шивычи (129).

## СТРОИТЕЛЬНЫЕ МАТЕРИАЛЫ

### Известняки

Известняки в исследованном районе установлены во многих пунктах. Они слагают линзообразные пласты мощностью 10—150 м в отложениях ундургинской и реже ононской свит. Внешне известняки чистые мелко- и крупнокристаллические с прослойями темноокрашенных битуминозных разностей. Особенно многочисленны выходы известняков по правобережью Цаган-Челуты, притока р. Киркун (145, 146) и в верховьях р. Капчеранги, правого притока р. Букукуна (132). По пади Капчеранга известняки разрабатываются местными населением для получения извести.

Небольшие линзовидные пласты известняка отмечены на правом склоне долины Шумунды и при слиянии речек Зун- и Барун-Агуцакана.

На водоразделе речек Агуцы и Курейканы (Агуцинское месторождение, 111) пласт белых мраморизованных известняков прослежен на 7 км и опробован на всю мощность (80 м). Известняк чистый и может быть, по-видимому, использован как металлургический флюс. Ориентировочные запасы его составляют 100 млн. т.

### Кирпичные глины

Кирпичные глины известны в устье пади Хатун, в 7—8 км к северу от с. Кыра (127). Разрабатываются небольшим кирпичным заводом местного значения; не разведывались. Глины слагают конус выноса пади Хатун на выходе ее в Алтанс-Кыринскую впадину. Качество глин низкое — глины песчанистые с большой примесью гранитной дресвы.

### МИНЕРАЛЬНЫЕ ИСТОЧНИКИ

На территории листа известно несколько минеральных источников, пригодных для бальнеологических целей. В настоящее время они используются (6, 43, 136) только местным населением и примитивно капитированы. Воды минеральных источников углекислые газирующие (136) или сульфатно-железистые (43) с резким запахом сероводорода. Известны теплые источники (6). Химический состав вод многих источников не определялся (31, 30, 43, 71, 84, 78, 55, 59) и их повышенная минерализация установлена органолептическим путем (по запаху, вкусу) или же по повышенной радиоактивности (109).

Промышленные перспективы исследованного района определяются главным образом наличием месторождений олова. Сравнительно высокая поисковая изученность района позволяет считать, что возможности обнаружения легко обнаруживаемых

месторождений олова практически исчерпаны. В качестве основного направления поисковых работ следует иметь в виду тщательные поиски и прослеживание зон дробления, а также детальные поиски в районах распространения интрузивов харалгинского комплекса. Среди поисковых методов одно из ведущих мест должно принадлежать металлометрии, электро- и магниторазведке. В качестве объектов для ревизий могут быть названы Право-Берейинское рудопроявление (49), юго-восточный фланг Сохондинского месторождения и рудопроявление Перевальное (55). Детальные поиски олова следует провести на водоразделе рек Кучегэр—Передний Алтан, около интрузий харалгинского комплекса.

В последние годы в Центральном Забайкалье установлена бериллиевая минерализация, связанная с гранитами харалгинского комплекса. Поэтому при поисковых работах следует обратить внимание на возможную бериллоносность и территории листа М-49-ХХII. При этом главное внимание должно уделяться зонам грейзенизации и альбитизации среди харалгинских интрузивов и приконтактовых частей (левобережье пади Арашентуй, низовые р. Анацакан, водораздел рек Анацакан и Угдыры).

Учитывая имеющиеся данные шлихового опробования, перспективы района в отношении новых россыпных месторождений олова небольшие.

На вольфрам рекомендуется провести поисково-разведочные работы на рудопроявлении 22, а также на прилегающих к нему участках. Высокое содержание шеелита (10%), а также возможность обнаружения нескольких сближенных рудных жил позволяют предполагать здесь наличие, по крайней мере, небольшого месторождения.

В качестве объекта поисковых работ на никель и кобальт рекомендуется участок рудопроявления 13. Здесь необходимы дополнительные работы для окончательной оценки как уже открытого рудопроявления, так и поиски новых рудных тел на прилегающей к нему площади.

Из нерудных полезных ископаемых рекомендуется проведение поисковых работ на пьезокварц. В этом смысле наиболее интересны площади в эндо- и эндоконтактовых частях интрузивов четвертой фазы кыринского комплекса, особенно в междуречье р. Кыры и р. Былры, где широко развиты дифференцированные пегматиты. Наряду с поисками олова в пределах Сохондинского рудного узла необходимо обратить внимание на пьезокварц.

### ПОДЗЕМНЫЕ ВОДЫ

По условиям залегания, распространения и питания подземные воды исследованной территории относятся к пластово-поровым, пластово-трещинным и жильным типам, а по

отношению к многолетней мерзлоте — к надмерзлотным и подмерзлотным.

Надмерзлотные пластово-поровые воды аллювиальных отложений образуют маломощный водоносный горизонт, обусловленный неглубоким залеганием многолетней мерзлоты; в горной части района глубина залегания 0,2—0,5 м. Поэтому подавляющая часть площади речных пойм горной части листа заболочена, и только в широких долинах рек Агуцы, Кыры и Былыры наблюдаются небольшие сухие участки, где уровень надмерзлотных вод располагается глубже (0,8—1 м). На большей части Алтанс-Кыринской впадины надмерзлотные воды залегают на глубине 1,5—2,5 м.

Надмерзлотные воды делювиально-пролювиальных отложений склонов и связанные с ними источники наиболее водообильны в горной части района. Выходы источников обычно приурочены к подножиям склонов, на сочленении их с поймой. Наиболее часто встречаются рассеянные выходы источников, вызывающие заболачивание обширных участков в нижних частях склонов долин и прилегающих к ним участков поймы. Источники с сосредоточенным выходом отмечены только в подножиях южных склонов долин. Глубина залегания вод, по данным горных работ, определяется в 0,5—1 м. Дебит источников не велик и не превышает 0,01—0,05 л/сек.

В гольцовской зоне водовмещающей средой является глыбовый делювий и элювий, обеспечивающие свободную фильтрацию вод. Мощность глыбового материала россыпей и осыпей обычно колеблется в пределах 1,5—2,5 м, но часто достигает 5 м. Водоупором служат мерзлые коренные породы. На плоских водораздельных пространствах широко развиты стоячие воды (гольцы Цаган-Ула, Улан-Чулин, Хонин-Чолун, водораздел Зылькунде и Угдыри).

На склонах гольцов в толще делювиальных россыпей эти воды образуют обильные потоки, большей частью скрытые под глыбами.

Пластово-трещинные и пластово-поровые воды приурочены к нормальноосадочным, туфогенно-осадочным и эфузивным породам юрского и нижнемелового возраста, развитым в пределах впадин. По отношению к вечной мерзлоте они являются подмерзлотными. Наиболее обводнены песчаники и угленосные пачки, залегающие ниже нижней границы мерзлоты, которая для Алтанс-Кыринской впадины находится на глубине 22—25 м. Подмерзлотные воды обладают напором. По данным, полученным при разведке Мордойского буроугольного месторождения, пьезометрический уровень вод располагается в непосредственной близости к поверхности, а дебит колеблется в пределах 2—5 л/сек.

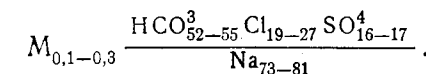
Трещинные воды по условиям водовмещающей среды могут быть разделены на воды гранитоидов и воды осадочно-

метаморфических пород. В гольцовой зоне, с 1700—1800 м и выше, практического значения трещинные воды, по-видимому, не имеют ввиду большой глубины распространения вечной мерзлоты (на Сохондинском месторождении скважина на глубине 200 м не вышла из мерзлых пород). Глубина распространения трещинных вод на большей части территории района определяется в 20—150 м (по аналогии с рудником Хапчранга).

Выходы трещинных вод, залегающих в осадочно-метаморфических породах, зафиксированы во многих пунктах района. Они приурочены к контактам с гранитоидными массивами или к зонам повышенной трещиноватости. Дебит источников в экзо-контактовых зонах интрузивов в среднем измеряется в 0,5—2 л/сек, а в зонах трещиноватости — в пределах 1—10 л/сек.

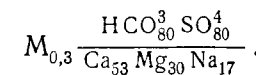
Источники, выходящие из гранитоидов, можно разделить на две категории. Первые имеют малый дебит, функционируют в дождливое время и выходы их приурочены к ненарушенным, с нормальной трещиноватостью гранитоидам. Вторые наблюдаются в зонах с повышенной трещиноватостью пород и среди катаклазитов; они имеют более или менее постоянный (летом) дебит в пределах 2—5 л/сек.

С жильными водами связаны источники, выходящие на дневную поверхность по трещинам молодых разломов. К зоне разлома северо-восточного простирания в верховьях р. Иногда приурочен теплый сероводородный источник Аршан с температурой воды 28° С и pH-8,2. Химический состав воды (формула Курлова):



К зонам дробления в пермо-триасовых гранитоидах приурочены холодные сероводородные источники в верховье р. Талачи и по рекам Кыра и Угдыри. Их дебит до 1,8 л/сек. По речкам Баданда, Сопкая, Бутырен и по левому притоку р. Агуца, ниже устья р. Баданда, известны холодные источники воды с вяжущим вкусом. Сведения о химическом составе вод отсутствуют.

В пади Зун-Джильбери расположен холодный газирующий источник углекислых вод с содержанием CO<sub>2</sub> 1 г/л. Он приурочен к разлому в палеозойских отложениях. Дебит источника до 1,5 л/сек. Химический состав воды по формуле Курлова:



Общая жесткость воды 14,19°; устранимая — 12,5°; истинная — 2,41° нем. град. Содержание солей радиа 1,61 · 10<sup>-10</sup> г/л и урана 2,0 · 10<sup>-6</sup> г/л.

## ЛИТЕРАТУРА

### Опубликованная

Амантов В. А., Зорина О. Н. Стратиграфия палеозойских образований Агинской зоны Забайкалья. Докл. на Межвед. совещ. по разр. стратигр. схем Забайкалья. Л., 1961.

Барабашев Е. В., Трушева Н. А. Третичные основные эфузивы Ингодинской котловины. Бюлл. НТГО ЧГУ, № 5, Чита, 1960.

Васильев В. Г., Волхонин В. С., Гришин Г. Л., Иванов А. Х., Маринов Н. А., Бокшанцев К. Б. Геологическое строение Монгольской Народной Республики. Л., 1959.

Козеренко В. Н. Геологическое строение юго-восточной части Восточного Забайкалья. ЛГУ, Львов, 1956.

Криштофович А. Н. Растительные остатки из озерных юрских отложений Забайкалья. Зап. минер. об-ва, сер. 2, ч. 51, вып. 1, 1918.

Маринов Н. А. Стратиграфия Монгольской Народной Республики. АН СССР, М., 1957.

Нагибина М. С. Верхнемезозойские континентальные отложения Забайкалья, их состав и условия образования. Тр. ИГН АН СССР, вып. 128, сер. геол. № 5, 1950.

Старченко В. В. О возрасте и геологическом положении мезозойских осадочных и вулканогенных образований южной части Центрального Забайкалья. Бюлл. НТГО ЧГУ, № 4, 1958.

Тихомиров Н. И. Пермские отложения в междуречье Кыра-Онон (Забайкалье). ДАН СССР, т. 114, № 5, 1957.

Тихомиров Н. И. Основные геологические закономерности распределения оловорудных месторождений на территории юго-восточного Забайкалья. Мат-лы совещ. геологов Вост. Сиб. и Дальн. Вост. по методике геолого-съемочных и поисковых работ. Чита, 1956.

### Фондовая\*

Аманов В. А., Зорина О. Н. Стратиграфия и литология нижнего и среднего палеозоя Агинского поля Восточного Забайкалья, 1959.

Беляков Е. А., Неделяев О. В. Геологический отчет по работам Агудинской поисково-съемочной партии за 1957 г., 1958.

Борец В. А. Отчет о геологоразведочных работах Былышинского приискового управления за 1950—1959 гг. с подсчетом запасов по Н. Салбартийскому и Аршантийскому россыпным месторождениям олова по состоянию на 1/VII 1960.

Внуков А. В., Костяков Н. П. и др. Отчет по геологической съемке Дулан-Хор-Ингодинской партии (м-ба 1:50 000) в районе верховий бассейнов рек Ашаглея, Куналея и Ингоды, проводившейся в 1954—1955 гг.

Дербина А. Е., Луненок П. Е. Геологическое строение и полезные ископаемые района бассейнов рек Кыры и Былры, 1939.

Золотухин Г. Н., Золотухина Е. Н. Геологический отчет по поисковой разведке углей и других полезных ископаемых на площади Алтано-Кыринской депрессии по состоянию на 1 мая 1960 г.

Курьянов Ф. К. Отчет о работе Кыринской партии за 1949 г., 1950.

Кудинова Т. И., Калашникова Е. Г. Геологические исследования в верхнем течении р. Кыры в 1953 г., 1954.

Колтун А. Я. Геологическая съемка и поиски масштаба 1:50 000 на олово, вольфрам и редкие металлы в районе гольца Сохондо в Центральном Забайкалье (отчет Сохондинской и Киркунской партий за 1955—1956 гг.), 1956.

Краснов В. П., Старченко В. В., Варламов В. А., Аргутин А. В. Геологическое строение южной и центральной части листа М-49-XXII

(промежуточный отчет Алтанской съемочно-составительской партии по работе 1955 г.).

Максимов Б. А. Отчет о геологической съемке на юго-восточном склоне Даурского хребта в районе гольца Сохондо. 1932.

Милай Т. А., Жданова Л. П. Геологическое строение и полезные ископаемые листа М-49-Х (сводный отчет о ревизионно-увязочных работах, проведенных в 1955—1957 гг. на территории листа М-49-Х в Центральном Забайкалье), 1959.

Соколов С. Н., Селезнева Е. К. Отчет Кыринской геологопоисковой партии о результатах работ за 1943 г.

Тимбеков И. Х. Отчет о работах Алтанской геофизической партии, проведенных в Кыринском районе Читинской области в 1958—1959 гг., 1960.

Тулохонов М. И., Дмитраченко Н. К. и др. Отчет о результатах геологосъемочных и поисковых работ за 1959 г., проведенных Любавинской партией в бассейне нижнего течения р. Кыры (М-49-92-Г и М-49-93-В), 1960.

Шулика В. И., Беляков Е. А. Геологический отчет по работам Сохондинской поисково-съемочной партии в 1955 г., 1956.

\* Хранится в фондах Читинского геологического управления.

**ПРИЛОЖЕНИЕ I**

**СПИСОК МАТЕРИАЛОВ, ИСПОЛЬЗОВАННЫХ ДЛЯ СОСТАВЛЕНИЯ  
КАРТЫ ПОЛЕЗНЫХ ИСКОПАЕМЫХ**

| №<br>п/п | Фамилия и инициалы<br>автора                       | Название работы  | Год<br>составле-<br>ния или<br>издания | Местонахожде-<br>ние материала, его<br>фондовый номер<br>или место издания |
|----------|--|--|--|--|
| 1        | В. В. Аристов,<br>Н. Ф. Лунева,<br>В. А. Шуршалина | Отчет Ингодинской пар-<br>тии Забайкальской эксп-<br>едиции по работам<br>1950 г.  | 1951                                   | Фонды ЧГУ,<br>№ 5912   |
| 2        | Е. А. Беляков,<br>О. В. Наделяев                   | Геологический отчет<br>по работам Агуцинской<br>поисково-съемочной пар-<br>тии за 1957 г.  | 1958                                   | Фонды ЧГУ,<br>№ 8961   |
| 3        | В. А. Борец  | Отчет о работе Верх-<br>не-Ингодинской партии<br>за 1944 г.  | 1944                                   | Фонды ЧГУ,<br>№ 209  |
| 4        | В. А. Борец  | Отчет о результатах<br>работ Былышинской по-<br>исковой партии за 1946 г.  | 1946                                   | Фонды ЧГУ,<br>№ 183  |
| 5        | В. А. Борец  | Отчет о геологораз-<br>ведочных работах Бы-<br>лышинского промискового<br>управления за 1949—<br>1950 г. с подсчетом за-<br>пасов по Нижн. Салбар-<br>туйскому и Аршантуй-<br>скому россыпным место-<br>рождениям олова по со-<br>стоянию на 1/VII 1950 г. | 1950                                   | Фонды ЧГУ,<br>№ 5921   |
| 6        | Г. Л. Вазбуккий                                    | Полевой отчет о ре-<br>зультатах геологопоиско-<br>вых и поисково-разве-<br>доных работах на восточном склоне Даурско-<br>го хребта в Кыринском<br>районе ВСК  | 1932                                   | Фонды ЧГУ,<br>№ 2819   |
| 7        | А. Н. Васильев                                     | Отчет Сохондинской<br>геологоразведочной пар-<br>тии по работам 1936 г.  | 1936                                   | Фонды ЧГУ,<br>№ 507  |
| 8        | И. Г. Волосюк                                      | Промежуточный отчет<br>о разведке Букуунского<br>оловянного месторожде-<br>ния (1958—1959 гг.)   | 1959                                   | Фонды ЧГУ,<br>№ 9293   |

**Продолжение прилож. I**

| №<br>п/п | Фамилия и инициалы<br>автора          | Название работы   | Год<br>составле-<br>ния или<br>издания | Местонахожде-<br>ние материала, его<br>фондовый номер<br>или место издания |
|----------|---------------------------------------|---|--|--|
| 9        | А. В. Внуков,<br>Н. П. Костяков и др. | Отчет по геологической<br>съемке Дулан-Хор-Ин-<br>годинской партии (м-б<br>1 : 50 000) в районе<br>верховий бассейнов рек<br>Ашаглея, Куналея и Ин-<br>годы, проводившейся в<br>1954—1955 гг. | 1956                                   | Фонды ЧГУ,<br>№ 7658   |
| 10       | А. П. Голубков                        | Промышленный отчет<br>о разведке Сохондинско-<br>го оловянного месторо-<br>ждения за 1935 г.  | 1935                                   | Фонды ЧГУ,<br>№ 607  |
| 11       | А. П. Голубков                        | Краткий отчет о рабо-<br>тах Сохондинского по-<br>искового отряда летом<br>1936 г.  | 1936                                   | Фонды ЧГУ,<br>№ 608  |
| 12       | А. П. Голубков                        | Отчет о работе Сохон-<br>динского поискового от-<br>ряда за 1936 г.   | 1937                                   | Фонды ЧГУ,<br>№ 609  |
| 13       | А. Е. Дербина,<br>П. А. Смольский     | Геологический очерк<br>района Доло-Убугунско-<br>го ртутного месторожде-<br>ния (отчет Любавинской<br>геологосъемочной партии<br>за 1942—1943 гг.)  | 1943                                   | Фонды ЧГУ,<br>№ 1495   |
| 14       | С. И. Другов                          | Результаты поисковых<br>работ в 1934 г. на олово<br>в Восточной Сибири  | 1935                                   | Фонды ЧГУ,<br>№ 577  |
| 15       | Г. Н. Золотухин                       | Отчет о результатах<br>работ по поисковой раз-<br>ведке углей и других по-<br>лезных ископаемых на<br>площади Алтано-Кырин-<br>ской депрессии по со-<br>стоянию на 1/VII 1959 г.              | 1959                                   | Фонды ЧГУ,<br>№ 9261   |
| 16       | Н. Г. Истомина                        | Отчет о работе Агу-<br>цинской поисковой пар-<br>тии и Баландинского<br>зимнешурфового от-<br>ряда за 1950 г.   | 1951                                   | Фонды ЧГУ,<br>№ 5936   |
| 17       | Е. С. Казаринов                       | Геологическое строе-<br>ние левобережья р. Бы-<br>лры и междуречья Кы-<br>ры-Былры в юго-за-<br>падной части Восточно-<br>го Забайкалья (отчет<br>партии № 112 Соснов-<br>ской экспедиции)    | 1955                                   | Фонды ЧГУ,<br>№ 7503   |

Продолжение прилож. 1

| №<br>п/п | Фамилия и инициалы автора               | Название работы   | Год составления или издания | Местонахождение материала, его фондовый номер или место издания |
|----------|---|---|-----------------------------|---|
| 18       | А. Я. Колтун                            | Геологопромышленный отчет о работах Сохондинской партии за 1954 г. по поисковым работам м-ба 1:25 000 в районе гольца Сохондо в Центральном Забайкалье  | 1955                        | Фонды ЧГУ, № 7547   |
| 19       | А. Я. Колтун                            | Геологическая съемка и поиски м-ба 1:50 000 на олово, вольфрам и другие цветные и редкие металлы в районе гольца Сохондо в Центральном Забайкалье (отчет Сохондинской и Киркунской партии за 1955—1956 гг.) | 1957                        | Фонды ЧГУ, № 8189   |
| 20       | С. Н. Коровин и О. Н. Шанюшкин          | Окончательный отчет Верхне-Онинской партии о результатах поисково-разведочных работ в Кыринском районе Читинской области за 1941 г.   | 1942                        | Фонды ЧГУ, № 929  |
| 21       | В. П. Краснов,<br>В. В. Старченко и др. | Геологическое строение южной и центральной частей листа М-49-XXII (промежуточный отчет Алтанской съемочно-составительской партии по работам 1955 г.)  | 1956                        | Фонды ЧГУ, № 7701   |
| 22       | Т. И. Кудинова,<br>Е. Г. Калашникова    | Геологические исследования в районе слияния рек Кыры и Былры (отчет Кыринской геологопоисковой партии за 1952 г.)   | 1953                        | Фонды ЧГУ, № 6609   |
| 23       | Т. И. Кудинова,<br>Е. Г. Калашникова    | Геологические исследования в верхнем течении р. Кыры (отчет Кыринской геологопоисковой партии за 1953 г.).  | 1954                        | Фонды ЧГУ, № 6950   |
| 24       | Ф. К. Курьянов                          | Отчет о работе Букукунской поисково-разведочной партии за 1948 г.   | 1948                        | Фонды ЧГУ, № 1138   |
| 25       | Ф. К. Курьянов                          | Отчет о работе Кыринской поисковой партии за 1949 г.  | 1950                        | Фонды ЧГУ, № 268  |

Продолжение прилож. 1

| №<br>п/п | Фамилия и инициалы автора             | Название работы  | Год составления или издания | Местонахождение материала, его фондовый номер или место издания |
|----------|---------------------------------------|--|-----------------------------|---|
| 26       | Э. В. Лешкевич                        | Отчет о работе Верхне-Ингодинской поисково-разведочной партии за 1945 и 1946 гг.   | 1947                        | Фонды ЧГУ, № 936  |
| 27       | Н. Ф. Логинов                         | Отчет о работе Кыринского поисково-разведочного отряда за 1938 г.  | 1938                        | Фонды ЧГУ, № 920  |
| 28       | П. Е. Луненок,<br>А. Е. Дербина и др. | Окончательный отчет Кыринской оловопоисковой партии ВСГУ за 1939 г.  | 1940                        | Фонды ЧГУ, № 1163   |
| 29       | Л. М. Орлова и<br>В. М. Степанов      | Минеральные воды Читинской области (приводы холодных вод)  | 1958                        | Фонды ЧГУ, № 8815   |
| 30       | Л. М. Орлова,<br>В. М. Степанов       | Отчет по Любавинскому присыку за 1954 г.   | 1954                        | Фонды ЧГУ, № 386  |
| 31       | Л. М. Орлова,<br>В. М. Степанов       | Ононский золотоносный район  | 1934                        | Фонды ЧГУ, № 268  |
| 32       | Л. М. Орлова,<br>В. М. Степанов       | Отчет о геологоразведочных работах Востсиболово  | 1950                        | Фонды ЧГУ, № 2604   |
| 33       | С. Н. Соколов,<br>Е. К. Селезнева     | Отчет Кыринской геологоразведочной партии за 1943 г.   | 1944                        | Фонды ЧГУ, № 1738   |
| 34       | Р. А. Хазов,<br>В. И. Хазова и др.    | Геологический отчет по работам Южной поисково-съемочной партии за 1956 г.  | 1957                        | Фонды ЧГУ, № 8338   |
| 35       | Д. М. Шаньгин                         | Отчет Верхне-Ингодинской геологоразведочной партии за 1933 г.  | 1933                        | Фонды ЧГУ, № 3105   |
| 36       | В. И. Шулика,<br>Е. А. Беляков        | Геологический отчет по работам Сохондинской поисково-съемочной партии за 1955 г.   | 1956                        | Фонды ЧГУ, № 7700   |
| 37       | Н. Яковенко                           | Геологопромышленный отчет по работам Кыринской поисково-шахтной партии Забайкалья  | 1934                        | Фонды ЧГУ, № 3111   |
| 38       | В. В. Старченко,<br>В. П. Краснов     | Геологическое строение юго-западной части Даурского хребта (отчет Алтанской картосоставительской партии по работам 1956—1957 г.) | 1961                        | Фонды ЧГУ   |

ПРИЛОЖЕНИЕ 2

СПИСОК ПРОМЫШЛЕННЫХ МЕСТОРОЖДЕНИЙ, ПОКАЗАННЫХ НА ЛИСТАХ М-49-XXII И XXVIII КАРТЫ ПОЛЕЗНЫХ ИСКОПАЕМЫХ МАСШТАБА 1:200 000

| № по карте | Индекс клетки на карте | Наименование месторождения и вид полезного ископаемого | Состояние эксплуатации | Тип месторождения (К — коренное, Р — россыпное) | № использованного материала по списку (приложение 1) |
|------------|------------------------|--|------------------------|---|--|
|------------|------------------------|--|------------------------|---|--|

Металлические ископаемые

|     |       |   |                  |   |                 |
|-----|-------|---|------------------|---|-----------------|
| 126 | III-4 | Золото<br>По руч. Золотой (Нижн. Бильчир) | Законсервировано | P | 30              |
| 135 | IV-2  | По рч. Хапчеранга (Букуунское)            | Отработано       | P | 31              |
|     |       | Олово                                     |                  |   |                 |
| 33  | I-4   | Арашентуйское                             | Эксплуатируется  | P | 5               |
| 99  | III-1 | Букуунское                                | Разведывается    | K | 8, 19           |
| 34  | I-4   | Нижне-Салбартуйское                       | Эксплуатируется  | P | 5               |
|     |       | Вольфрам и олово                          |                  |   |                 |
| 54  | II-1  | Сохондинское                              | Законсервировано | K | 7, 11<br>12, 10 |

ПРИЛОЖЕНИЕ 3

СПИСОК НЕПРОМЫШЛЕННЫХ МЕСТОРОЖДЕНИЙ, ПОКАЗАННЫХ НА ЛИСТАХ М-49-XXII И XXVIII КАРТЫ ПОЛЕЗНЫХ ИСКОПАЕМЫХ МАСШТАБА 1:200 000

| № по карте | Индекс клетки на карте | Наименование месторождения и вид полезного ископаемого | Состояние эксплуатации | Тип месторождения (К — коренное, Р — россыпное) | № использованного материала по списку (прил. 1) | Примечание |
|------------|------------------------|--|------------------------|---|---|------------|
|------------|------------------------|--|------------------------|---|---|------------|

Горючие ископаемые

|     |          |                          |                      |   |    |  |
|-----|----------|--------------------------|----------------------|---|----|--|
| 121 | III-2, 3 | Бурый уголь<br>Алтанское | Не эксплуатировалось | K | 15 |  |
|-----|----------|--------------------------|----------------------|---|----|--|

Металлические ископаемые

|    |      |                           |                      |   |    |  |
|----|------|---------------------------|----------------------|---|----|--|
| 48 | II-1 | Олово<br>Правобережинское | Не эксплуатировалось | P | 19 |  |
|----|------|---------------------------|----------------------|---|----|--|

Неметаллические ископаемые

|     |       |                                    |                      |   |    |                                   |
|-----|-------|------------------------------------|----------------------|---|----|-----------------------------------|
|     |       | Поделочные камни                   |                      |   |    |                                   |
| 129 | III-4 | Аметист<br>Устье рч. Дальн. Шивычи | Не эксплуатируется   | K | 21 |                                   |
| 114 | III-2 | Известняки<br>Агуцаканская         | Не эксплуатировалось | K | 2  | Известняки флюсовые первого сорта |
| 111 | III-2 | Агуцинское                         | То же                | K | 2  |                                   |
| 145 | V-1   | Киркунское I                       | " "                  | K | 38 |                                   |
| 146 | V-1   | Киркунское II                      | " "                  | K | 38 |                                   |
| 132 | IV-2  | Капчерангуйское                    | Эксплуатируется      | K | 38 | Не опробовано                     |

Кирпичные глины

|     |       |            |                 |   |    |       |
|-----|-------|------------|-----------------|---|----|-------|
| 127 | III-4 | Падь Хатун | Эксплуатируется | K | 38 | То же |
|-----|-------|------------|-----------------|---|----|-------|

## ПРИЛОЖЕНИЕ 4

**СПИСОК ПРОЯВЛЕНИЙ ПОЛЕЗНЫХ ИСКОПАЕМЫХ, ПОКАЗАННЫХ  
НА ЛИСТАХ М-49-XXII И XXVIII КАРТЫ ПОЛЕЗНЫХ ИСКОПАЕМЫХ  
МАСШТАБА 1:200 000**

| № по карте | Индекс клетки на карте | Название (местонахождение) проявления и вид полезного ископаемого | Характеристика проявления | № используемого материала по списку (приложение 1) |
|------------|------------------------|---|---------------------------|--|
|------------|------------------------|---|---------------------------|--|

**Металлические ископаемые**

|     |       |  |   |        |
|-----|-------|--|---|--------|
| 133 | IV-2  | <i>Марганец</i><br>Правый склон долины р. Алтан у с. Алтан   | Содержание марганца в зоне дробления до 9%  | 21, 38 |
| 25  | I-3   | <i>Свинец и цинк</i><br>Нижнее течение рч. Угдыры            | Шлиховой ореол галенита в аллювии   | 25, 23 |
| 60  | II-1  | <i>Верховья р. Зун-Агуцакан в цирке с двумя озерами</i>      | В дацитах три минерализованные сульфидами зоны дробления. Содержание свинца до 0,7—1% | 18     |
| 96  | III-1 | <i>Правобережье рч. Барун-Цохондо</i>                        | Эпидот-циозитовые скарны с содержанием свинца до 2%                                   | 18     |
| 91  | II-4  | <i>Левобережье р. Былры около устья пади Хатун</i>           | Шлиховой ореол галенита в аллювии   | 22     |
| 12  | I-2   | <i>Никель и кобальт</i><br>Водораздел рр. Угдыри и Зылькунде | Дайка пикритового порфирита и кварцевые жилы. Содержание никеля 0,75%, кобальта 0,08% | 2, 38  |
| 123 | III-3 | <i>Мышьяк</i><br>Левый склон долины р. Агуцы                 | Кварцевые жилы с арсенопиритом (до 1%)  | 28     |
| 124 | III-3 | Левый склон долины рч. Кынгергитуй                           | То же   | 28     |
| 125 | III-3 | Там же   | " "   | 28     |
| 128 | III-4 | Левый склон долины рч. Ближн. Шивычи                         | " "   | 28     |
| 141 | V-1   | Букукунское арсенопиритовое                                  | Зоны дробления, сцементированные кварцем с прожилками арсенопирита; золота до 0,6 г/т | 20     |

| № по карте    | Индекс клетки на карте | Название (местонахождение) проявления и вид полезного ископаемого | Характеристика проявлений  | № использованного материала по списку (приложение 1) |
|---------------|------------------------|---|--|--|
| 2             | I-1                    | <i>Золото</i><br>Отстойное (на правом склоне р. Ингоды)           | Зона окварцованных и карбонатизированных брекчий, сцементированных охрами. Следы золота и до 8,1 г/т серебра. Станинометрией установлено содержание до 0,1% олова  | 26   |
| 56            | II-1                   | Водораздел рр. Зун-Агуцакан и Берея                               | Грейзенизированные дациты, инъецированные кварцево-сульфидными и кварцево-карбонатными прожилками; золота до 2,4 г/т, серебра 16,4 г/т   | 6  |
| 137           | IV-4                   | Верховья р. Осоты-Хурулты   | Совместно с шеелитом и киноварью в аллювии знаки золота  | 13   |
| 138, 139, 140 | IV-4                   | Верховья р. Осоты-Хурулты   | Кварцевые жилы в эндогенных экзоконтактах даек микрогранодиоритов. Золота до 0,5 г/т   | 13   |
| 143           | V-1                    | Левый склон долины р. Быркехты                                    | Кварцевая жила с вкрапленностью молибденита. Содержит до 0,8 г/т золота, 0,01% олова и следы молибдена   | 20   |
| 1             | I-1                    | <i>Олово</i><br>Верховье р. Ингоды и ее притоки                   | Шлиховой ореол кассiterита с содержанием до 2—4 г/м³   | 1, 9, 23   |
| 14            | I-2                    | Водораздел рр. Зылькунде и Угдыри                                 | В экзоконтактовой зоне гранитов харалгинского комплекса в роговиках полевошпато-кварцевые жилы и прожилки с турмалином, сульфидами, кассiterитом и шеелитом. Олова до 0,04%. Минералогическим анализом установлено 0,11% шеелита | 25, 32   |
| 16            | I-2                    | Правый склон долины р. Анацакан                                   | Среди песчаниково-сланцевых пород кварцевые жилы с вкрапленностью молибденита. Олова до 0,06%  | 25   |

Продолжение прилож. 4

| № по карте | Индекс клетки на карте | Название (местонахождение) проявления и вид полезного ископаемого              | Характеристика проявления   | № используемого материала по списку (приложение 1) |
|------------|------------------------|--|---|--|
| 19         | I-2                    | Левобережье р. Угдыри  | В аллювии 6-го левого притока р. Угдыри шлиховой ореол кассiterита  | 23, 25   |
| 21         | I, II-2                | Верховье рр. Угдыри, Быркыты и Агуцы   | Шлиховой ореол кассiterита с содержанием от многих знаков до весовых  | 2, 21, 25  |
| 22         | I-3                    | Верховье р. Кыра   | Шлиховой ореол со знаковыми содержаниями кассiterита  | 23   |
| 27         | I-3                    | Догибкыльское. В устьевой части рч. Догибкыл (приток р. Кыры), на левом склоне | Дайки лейкократовых средненорских грейзенизованных гранитов с вкрапленностью кассiterита. Содержание олова до 0,11%, свинца до 0,05%, цинка до 0,4%, латана до 0,01—0,03% | 2  |
| 35         | I-4                    | Левый склон долины р. Нижн. Салбартау  | Кварцево-сульфидные жилы среди окварцованных и турмалинизованных гранитоидов содержат: олова 0,01—0,03%, свинца до 0,01%, цинка до 0,14%, мышьяка до 0,1%                 | 34, 4  |
| 36         | I-4                    | Левый склон долины р. Нижн. Салбартау  | Свалы обожренного кварца. Олова 0,03%, свинца 0,003%  | 34   |
| 37         | I-4                    | Левый склон долины р. Нижн. Салбартау  | Катаэлазированные, окварцованные и сульфидизированные гранитоиды, содержащие олова 0,01%—0,02%, свинца до 0,01%, цинка до 0,03%   | 3, 4   |
| 39         | I-4                    | На водоразделе рр. Арашентуй и Нижн. Салбартау (высота 1568 м)                 | В зоне дробления грейзенизованные мелкозернистые граниты (дайка); содержание олова 0,001—0,025%, свинца 0,03—0,003%, цинка 0,03%  | 34   |
| 40         | I-4                    | Первый склон долины р. Былыры, против устья рч. Большой Улятуй                 | Сульфидно-кварцевые жилы в зоне сульфидизации содержат олова до 0,1%, свинца до 0,1% и цинка до 0,3%  | 34   |

Продолжение прилож. 4

| № по карте | Индекс клетки на карте | Название (местонахождение) проявления и вид полезного ископаемого | Характеристика проявления  | № используемого материала по списку (приложение 1) |
|------------|------------------------|---|--|--|
| 41         | I-4                    | Левый склон долины р. Арашентуй                                   | Половошпато-кварцевые жилы мощностью в 3—10 см с вкрапленностью арсенопирита и пирита. Олова до 0,01%.   | 4  |
| 45         | II-1                   | Правый склон долины рч. Барун-Цангинандуй                         | Брекчированые и сульфидизированные осадочно-метаморфические породы. Олова до 0,19%   | 3  |
| 46         | II-1                   | Там же  | То же  | 3  |
| 49         | II-1                   | Право-Береинское рудопроявление (в устье рч. Правой Береи)        | В роговиках полевошпато-кварцевые и сульфидно-кварцевые жилы с вкрапленностью кассiterита и арсенопирита. Боковые породы грейзенизированы и сульфидизированы. По данным штуфного опробования олова до 1,0%, по данным бороздового от 0,04% до 0,13%      | 19   |
| 52         | II-1                   | Левый склон долины рч. Левой Береи                                | На площади 0,4 км <sup>2</sup> свалы полевошпато-кварцевых жил с вкрапленностью кассiterита и рутила   | 19   |
| 53         | II-1                   | Улуртуйское (оз. Улуртуй)   | Зона дробления, инъицированная сульфидно-кварцевыми жилами (мощность от 1 до 40 см), с сульфидами и кассiterитом. Прослежена по простианию на 240 м и по падению на 60 м. Среднее содержание олова в жилах 0,76%   | 7, 10, 11, 12                                      |
| 55         | II-1                   | Перевальное (перевал из рч. Зун-Агуцакана в рч. Левую Берею)      | Свалы грейзенизованных инъицированных кварцевыми прожилками гранит-порфиров и кварцевых порфиров с вкрапленностью сульфидов и кассiterита. Олова в делювии, по данным металлометрии, до 0,03%, а по данным шлихового опробования, до 12 г/м <sup>3</sup> | 19   |

Продолжение прилож. 4

| № по карте | Индекс клетки на карте | Название (местонахождение) проявления и вид полезного ископаемого | Характеристика проявления   | № используемого материала по списку (приложение 1) |
|------------|------------------------|---|---|--|
| 57         | II-1                   | Восточная стенка Букуунского цирка                                | Сульфидизированные дациты в экзоконтакте дайки гранит-порфира, олова до 0,01%   | 36   |
| 58         | II-1                   | Верховья р. Зун-Агуцакан, в цирке с двумя озерами                 | Около дайки гранит-порфиров зоны дробления сцепментированы кварцем и карбонатами с вкрапленностью сульфидов, шеелита и кассiterита. Содержание олова до 0,04%, вольфрама следы, свинца до 1—2%              | 19   |
| 59         | II-1                   | Верховье рч. Зун-Агуцакан   | Зона брекчированных, грейзенизованных и сульфидизированных дацитов и кварцевые жилы с касситеритом. В кварцевых жилах содержание олова 0,1%; в минерализованных брекчиях: олова 0,03—0,06%, вольфрама 0,02% | 18   |
| 61         | II-1                   | Букуунское озеро (левый склон р. Букуун)                          | На контакте дайки гранит-порфира зона дробления и сульфидизации, мощностью 10—15 м. Олова химическим анализом штуфов установлено 0,16%, спектральным анализом — тысячные доли процента                      | 37, 36   |
| 62         | II-1                   | Барун-Цохондо (верховья рч. Барун-Цохондо)                        | По контакту плагиопорфиров и дацитов зона дробления и окварцевания мощностью 5—10 м. Олова химическим анализом штуфов установлено 0,14%, спектральным анализом — тысячные доли процента                     | 37, 36   |
| 63         | II-1                   | Цирк левой вершины рч. Барун-Цохондо                              | Плагиопорфиры в зоне дробления окваркованы и сульфидизированы. Содержание олова 0,01%   | 36   |
| 64         | II-1                   | Верховья рч. Барун-Агуцакан                                       | Брекчированные и сульфидизированные роговики. Олова — сотые доли процента   | 19   |

Продолжение прилож. 4

| № по карте | Индекс клетки на карте | Название (местонахождение) проявления и вид полезного ископаемого | Характеристика проявления  | № используемого материала по списку (приложение 1) |
|------------|------------------------|---|--|--|
| 65         | II-2                   | Водораздел речек Талгикты и Баданды                               | Зона брекчированных, окварцованных и турмалинизованных роговиков, импренированная сульфидами и кварцево-турмалиновыми прожилками. Олова до 0,03% | 25   |
| 66         | II-2                   | Водораздел речек Быркыкты и Баданды                               | Пегматитовые жилы мощностью от 10 до 30 см. В протолочках весом 5—6 кг установлено касситерита до 37 знаков и шеелита до 54 знаков               | 25   |
| 68         | II-2                   | У слияния рч. Быркыкты и рч. Улан-Чулин-Горуха                    | Брекчированные сланцы с сульфидами. Олова до 0,04—0,06%  | 25   |
| 69         | II-2                   | Водораздел рч. Улан-Чулин-Горухи и рч. Норэй-Горухи               | Сланцы инъецированные кварцево-турмалиновыми прожилками и сульфидизированные. Олова до 0,02%   | 25   |
| 70         | II-2                   | На горе Куца  | Турмалинизованные брекчии. Олова до 0,09%  | 25   |
| 72         | II-2                   | Бадандинское (правый склон рч. Баданда)                           | В дайке гранит-порфира тонкие кварцевые прожилки с вкрапленностью сульфидов касситерита  | 25, 16, 2  |
| 73         | II-2                   | Правый склон долины рч. Баданды                                   | Кварцево-турмалиновая жила. Олова 0,02%  | 25   |
| 74         | II-2                   | Левый склон долины рч. Баданды                                    | Роговик, инъецированный кварцево-турмалиновыми прожилками и сульфидизированный. Олова до 0,14%   | 25   |
| 75         | II-2                   | Правый склон долины р. Агуцы (в верховьях)                        | Зона катаклизированных, окваркованных и сульфидизированных гранодиоритов. Олова до 0,01%   | 36   |
| 77         | II-2                   | Левый склон долины рч. Баданды                                    | В ороговикованных песчаниках тонкие прожилки кварца с вкрапленностью касситерита   | 16   |

Продолжение прилож. 4

| № по карте | Индекс клетки на карте | Название (местонахождение) проявления и вид полезного ископаемого         | Характеристика проявления  | № используемого материала по списку (приложение 1) |
|------------|------------------------|---|--|--|
| 80         | II-2                   | Водораздел рч. Агуцы и Баданды  | Грейзенизированный гранодиорит. Олова до 0,05%   | 2  |
| 82         | II-2                   | Водораздел рр. Агуцы и Быркыты  | Грейзенизированные гранодиориты. Олова 0,01—0,05%  | 2  |
| 83         | II-2                   | Водораздел рч. Быркыты и р. Норэй-Горухи                                  | Грейзенизированные гранодиориты. Олова до 0,01—0,06%   | 2  |
| 87         | II-3                   | Правый склон долины рч. Верхней Улурин                                    | Свалы грейзенизированного гранодиорита, рассеченные жилами обогащенного кварца (мощность 1—10 см). В протолочке весом 5,0 кг одно зерно кассiterита 0,3 мм в поперечнике | 25   |
| 88         | II-3                   | Улуринское. На левом склоне долины рч. Верхней Улурин                     | Трубчатое тело пегматита сечением 3×4 м. Среднее содержание олова в пегматите 0,14%  | 6, 2, 7, 28  |
| 89         | II-4                   | р. Былыра у пос. Кулинда  | Ореол кассiterита (много знаков)   | 22   |
| 90         | II-4                   | Былыринское (у пос. Кулинда)  | Кварцево-сульфидные жилы с кассiterитом. Олова в жилах 0,01—0,05% (в одной пробе 0,31%)  | 27, 28, 22   |
| 93         | III-1                  | Верховье р. Букуун  | Ореол кассiterита с содержанием до 3 г/м³  | 19, 24   |
| 94         | III-1                  | По ключу Встречному в 1,2 км к северо-западу от Букуунского месторождения | Зона турмалинизации и инъекции кварцево-касситеритовых жил. В делювии, по данным металлометрии, содержание олова до 0,1%   | 25   |
| 95         | III-1                  | Правый склон долины рч. Барун-Цохондо                                     | Зона скарнированных пород с сульфидами. Олова 0,03%; вольфрама до 0,1%; свинца до 0,1%   | 19   |
| 97         | III-1                  | Левый склон долины р. Барун-Цохондо                                       | Зона дробления и сульфидно-кварцевые жилы. Боковые породы — турмалиновые и мусковитовые грейзены. Олова до 0,01%—0,07%   | 19   |

Продолжение прилож. 4

| № по карте | Индекс клетки на карте | Название (местонахождение) проявления и вид полезного ископаемого | Характеристика проявления  | № используемого материала по списку (приложение 1) |
|------------|------------------------|---|--|--|
| 100        | III-1                  | Водораздел рр. Букуун и Барун-Цохондо                             | Зона кварцево-турмалиновых грейзенов. Олова 0,04%—0,05%  | 19   |
| 101        | III-1                  | Букуунское  | Зоны минерализации: 1) грейзенизированные граниты с вкрапленностью сульфидов, касситерита и шеелита; 2) зона окварцевания и сульфидизации; 3) зона сульфидизированных роговиков        | 25, 19   |
| 102        | III-1                  | Водораздел ключей Ерничного, Кукушкина и Убур-Талгкты             | Зоны дробления, инъциированные кварцевыми прожилками с касситеритом. Олова 0,01—0,03%, вольфрама 0,02%   | 19   |
| 104        | III-1                  | Улан-Ганга, на левом склоне р. Букуун                             | Зоны минерализованных брекций с сульфидами. Химическим анализом установлены следы олова и 0,33 г/т золота  | 25, 20, 37   |
| 105        | III-1                  | Левый склон долины рч. Зун-Цохондо                                | Грейзен мусковитовый с сульфидами. Олова — сотые доли процента   | 19   |
| 108        | III-1                  | Водораздел ключей Кукушкина и Ерничного                           | Зона шириной 20 м гидротермально-измененных и сульфидизированных пород с касситерито-кварцевыми прожилками. Олова от 0,01—0,06 до 0,6%; трехокиси вольфрама до 0,03% и свинца до 0,06% | 19   |
| 112        | III-2                  | р. Агуца около устья рч. Алии                                     | Ореол касситерита (много знаков)   | 2, 21  |
| 113        | III-2                  | Левый склон долины рч. Алии                                       | В зоне надвига гранитоиды инъциированы кварцевыми, турмалино-кварцевыми жилами и грейзенизированы. Олова от 0,01 до 0,03%  | 2, 21  |

## Продолжение прилож. 4

| № по карте | Индекс клетки на карте | Название (местонахождение) проявления и вид полезного ископаемого | Характеристика проявления   | № использованного материала по списку (приложение 1) |
|------------|------------------------|---|---|--|
| 116        | III-2                  | Левый склон долины р. Агуцы                                       | В зоне надвига гранитоиды инъецированы кварцевыми, турмалино-кварцевыми жилами и грейзенизированы. Олова от 0,01 до 0,03% | 2, 21  |
| 117        | III-2                  | Левый склон долины рч. Курейкан                                   | То же   | 2, 21  |
| 118        | III-2                  | Водораздел рр. Агуцакан и Курейкан                                | Кварцевые жилы с грейзенами. Содержат следы золота, до 0,03% олова и до 0,02% трехокиси вольфрама                         | 2, 38  |
| 3          | I-1                    | <i>Вольфрам</i><br>Р. Ингода                                      | Знаковый ореол рассеяния шеелита в аллювии  | 9  |
| 4          | I-1                    |   | Шлиховой ореол шеелита в аллювии  | 9  |
| 5          | I-1                    | Правобережье р. Ингоды  | То же   | 9, 11  |
| 7          | I-1                    | Верховье р. Аршан   | " "   | 9  |
| 9          | I-2                    | Левый склон долины р. Анацакан                                    | В протолочке весом 5—6 кг из жилы пегматита мощностью до 30 см до 50 знаков шеелита                                       | 25   |
| 11         | I-2                    | Правый склон долины рч. Зылькунде                                 | Кварцевые жилы с вкрапленностью молибденита. Вольфрама до 0,15%   | 25   |
| 13         | I-2, 3                 | Бассейн р. Кыры и низовые рч. Угдыри                              | Шлиховой ореол шеелита в аллювии с содержанием «много знаков»   | 23, 25   |
| 17         | I-2                    | Верховье рч. Анацакан   | В протолочках весом 5—6 кг из жилы пегматита мощностью 30 см установлен шеелит (до 54 знаков)                             | 25   |
| 18         | I-2                    | Там же  | То же   | 25   |

| № по карте | Индекс клетки на карте | Название (местонахождение) проявления и вид полезного ископаемого     | Характеристика проявления  | № использованного материала по списку (приложение 1) |
|------------|------------------------|---|--|--|
| 20         | I-2                    | Верховье р. Угдыри  | Шлиховой ореол шеелита в аллювии с содержанием «много знаков»                                      | 23, 25   |
| 23         | I-3                    | Верховья речек Догибкыл и Догидкыл                                    | То же  | 22, 34   |
| 28         | I-3                    | Левый склон долины р. Кыры  | Полевошпато-кварцевые жилы мощностью до 40—60 см, содержащие крупнокристаллический шеелит (до 10%) | 2  |
| 38         | I-4                    | Левый склон долины р. Былыры  | Пегматитовая жила с вкрапленностью вольфрамита (0,1%)  | 36   |
| 42         | I-4                    | Падь Талача   | Ореол рассеивания шеелита в аллювии с содержанием «много знаков»                                   | 22   |
| 67         | II-2                   | Водораздел рч. Биркыта и рч. Баданда                                  | В протолочке весом 5—6 кг из жилы пегматита шеелита 42 знака                                       | 25   |
| 79         | II, III-2              | Низовья рч. Агуцакан, Кукейкан, Шиколан и бассейн рч. Кумыльская Алия | Ореол шеелита в аллювии с содержанием «много знаков»   | 2, 21  |
| 86         | II-3                   | Верховье р. Нижняя Улури  | То же  | 22   |
| 92         | II-4                   | Падь Шивартай   | " "  | 22   |
| 103        | III-1                  | Верховье р. Букуун  | " "  | 18, 19, 24   |
| 106        | III-1                  | Падь Барун-Кивакат  | " "  | 19, 24   |
| 122        | III-3                  | Водораздел рч. Верхняя Улури и Горохон                                | Обломки кварца с вкрапленностью крупных кристаллов шеелита   | 28   |
| 10         | I-2                    | Молибден<br>Правый склон долины рч. Зылькунде                         | Кварцевые жилы с убойной вкрапленностью молибденита  | 25, 23   |

Продолжение прилож. 4

| № по карте | Индекс клетки на карте | Название (местонахождение) проявления и вид полезного ископаемого | Характеристика проявления  | № использованного материала по списку (приложение 1) |
|------------|------------------------|---|--|--|
| 15         | I-2                    | Водораздел рч. Зыль-кунде и рч. Угдыри                            | В зонах дробления густая сеть полевошпатово-кварцевых жил мощностью до 30 см с убогой вкрапленностью молибденита                           | 25   |
| 47         | II-1                   | Левый склон долины рч. Бугоригол (Бугоригда)                      | Свалы кварца с вкрапленностью молибденита  | 9  |
| 50         | II-1                   | Правый склон долины рч. Левая Берега                              | Кварцевая жила мощностью до 50 см с вкрапленностью молибденита. Молибдена до 0,07%   | 19   |
| 51         | II-1                   | Левый склон долины рч. Правая Берега                              | Свалы кварца с вкрапленностью молибденита  | 9  |
| 76         | II-2                   | Правый склон долины рч. Баданды                                   | Свалы турмалинового пегматита с вкрапленностью молибденита   | 16   |
| 84         | II-2                   | Правый склон долины р. Агуца                                      | Свалы кварца с убогой вкрапленностью молибденита   | 16   |
| 98         | III-1                  | Левый склон долины рч. Зун-Цохондо                                | В экзоконтактовой зоне дайки гранит-порфира убогая вкрапленность молибденита   | 19   |
| 107        | III-1                  | Водораздел ключей Ерничного и Кукушкина                           | В экзоконтактовой зоне дайки гранит-порфира вкрапленность молибденита. Содержание молибдена в штуфных пробах 0,02%, в делювии 0,001—0,003% | 19   |
| 119        | III-2                  | Водораздел рч. Агуцакана и рч. Алтана                             | Свалы кварца с редкой вкрапленностью молибденита   | 25   |
| 115        | III-2                  | Водораздел р. Агуцы и рч. Алии                                    | Свалы кварца с редкой вкрапленностью молибденита   | 21   |
| 120        | III-2                  | Левый склон долины р. Алтан                                       | То же  | 25   |

Продолжение прилож. 4

| № по карте                        | Индекс клетки на карте | Название (местонахождение) проявления и вид полезного ископаемого | Характеристика проявления  | № использованного материала по списку (приложение 1) |
|-----------------------------------|------------------------|---|--|--|
| 131                               | IV-1                   | Левый склон долины р. Букукун                                     | Дайка мелкозернистых гранитов со шлирами пегматита. В пегматите вкрапленность крупночешуйчатого молибденита                    | 21   |
| 134                               | IV-2                   | Правый склон долины рч. Передний Алтан                            | Зона грейзенизации, окварцевания и сульфицизации с вкрапленностью молибденита. Содержит: молибдена до 0,011%, ванадия до 0,01% | 21   |
| 142                               | V-1                    | Водораздел р. Киркун и рч. Бырка-Горхон                           | Кварцевые жилы с убогой вкрапленностью молибденита   | 20   |
| 144                               | V-1                    | Усть-Букукунское  | Пять кварцевых жил с содержанием молибдена от следов до 0,35%  | 20   |
| <i>Ртуть</i>                      |                        |   |  |  |
| 8                                 | I-1                    | Бассейн рч. Ару-Хон-Чел   | В аллювии шлиховой ореол киновари с содержанием «знаки»  | 9  |
| 130                               | III, IV-4              | Верховье рч. Осоты-Хуралты  | То же  | 13   |
| <i>Сурьма</i>                     |                        |   |  |  |
| 29                                | I-3                    | Правый склон долины рч. Мостикова                                 | Свалы низкотемпературного кварца с вкрапленностью антимонита   | 17   |
| 32                                | I-3                    | Долина левого притока р. Кыры (ниже рч. Мостикова)                | То же  | 17   |
| 85                                | I-3                    | Долина рч. Мал. Мангуткан   | Жилы низкотемпературного кварца с вкрапленностью антимонита  | 17   |
| <i>Неметаллические ископаемые</i> |                        |   |  |  |
| 24                                | I-3                    | Горный хрусталь<br>Долина рч. Догибкыл                            | В делювии встречены кристаллы мориона размером 5×2×2 см  | 23   |
| 26                                | I-3                    | Долина рч. Угдыри   | То же  | 23   |

Продолжение прилож. 4

| № по карте | Индекс клетки на карте | Название (местонахождение) проявления и вид полезного ископаемого | Характеристика проявления   | № используемого материала по списку (приложение 1) |
|------------|------------------------|---|---|--|
| 44         | I-4                    | Левый склон долины рч. Талача                                     | Пегматитовая жила мощностью 2 м с редкими кристаллами прозрачного кварца размером до 55 мм по длиной оси      | 22   |
| 110        | III-1                  | Верховья правого притока рч. Зун-Шивертай                         | Пегматитовая жила с редкими пустотами, выполненными кристаллами горного хрусталия размером 1,5—2,0 см в длину | 10   |

Минеральные источники

|    |      |   |   |    |
|----|------|---|---|----|
| 6  | I-1  | Источник Аршан в долине рч. Аршан, в 300 м к северо-востоку от устья рч. Хойту-Горуха | Источник восходящий. Вода вытекает из пяти воронок. Расстояние между ними 5—15 м. Вода прозрачная пресная со слабым запахом сероводорода; температура 28°С  | 29 |
| 30 | I-3  | Верховья правого притока р. Кыры (ниже устья р. Угдыри)                               | Источник в зоне дробления в гранитоидах. Вода холодная с резким сероводородным запахом; дебит небольшой   | 25 |
| 31 | I-3  | Верховья второго правого (от устья) притока р. Угдыри                                 | То же   | 25 |
| 43 | I-4  | Правый склон долины рч. Талача, в 6,0 км от устья                                     | Источник восходящий, имеет три выхода на поверхность, расположенных на 30—50 м друг от друга. Дебит 1,8 л/сек. Вода холодная с кисловатым вкусом и резким запахом сероводорода. Населением используется для лечения | 28 |
| 71 | II-2 | Левый склон долины рч. Баданды  | Холодный источник с небольшим дебитом. Вода имеет вяжущий вкус  | 25 |
| 78 | II-2 | Вершина левого притока р. Агуцы (ниже устья рч. Баданды)                              | То же   | 29 |

Продолжение прилож. 4

| № по карте | Индекс клетки на карте | Название (местонахождение) проявления и вид полезного ископаемого  | Характеристика проявления  | № используемого материала по списку (приложение 1) |
|------------|------------------------|--|--|--|
| 81         | II-2                   | Левый склон долины рч. Сопкая Бутырен                              | Холодный источник с небольшим дебитом. Вода имеет вяжущий вкус   | 29   |
| 109        | III-1                  | Правый склон долины рч. Зун-Цохондо                                | Холодный пресный источник с радиоактивностью до 120 гамм   | 19   |
| 136        | IV-2                   | На левом склоне долины рч. Зун-Джильбери (Джильберийский источник) | На площади около 1000 м <sup>2</sup> из трещин почвы и искусственной выемки вытекает углекислая минеральная вода. Температура воды 30°С. Источник газирует. Содержание CO <sub>2</sub> 1 г/л. Содержание солей радия 1,61 · 10 <sup>-10</sup> г/л, урана 2,0 · 10 <sup>-6</sup> г/л. Дебит 1,5 л/сек | 29   |

## ХИМИЧЕСКИЕ АНАЛИЗЫ

| № анализа    | № образца | Наименование породы и место взятия   | Содержание       |                  |                                |                                |      |      |  |  |
|--------------|-----------|--|------------------|------------------|--------------------------------|--------------------------------|------|------|--|--|
|              |           |  | SiO <sub>2</sub> | TiO <sub>2</sub> | Al <sub>2</sub> O <sub>3</sub> | Fe <sub>2</sub> O <sub>3</sub> | FeO  | MnO  |  |  |
| Пермо-триасо |           |  |                  |                  |                                |                                |      |      |  |  |
| Вторая       |           |  |                  |                  |                                |                                |      |      |  |  |
| 1            | 2         | Мелкозернистый порфировидный гранодиорит верховье р. Былры                                 | 67,05            | 0,52             | 16,61                          | 0,42                           | 3,94 | 0,06 |  |  |
| 2            | 26        | Среднезернистый порфировидный гранодиорит у с. Былры                                       | 66,70            | 0,43             | 16,42                          | 0,08                           | 4,7  | 0,06 |  |  |
| 3            | 3905      | Гнейсовидный кварцевый диорит, Верхн. Джермалтай   | 65,47            | 0,39             | 16,54                          | 0,95                           | 3,74 | 0,05 |  |  |
| 4            | 3949      | Гнейсовидный гранодиорит, падь Билютай   | 66,70            | 0,39             | 17,17                          | 0,48                           | 4,0  | 0,05 |  |  |
| Третья       |           |  |                  |                  |                                |                                |      |      |  |  |
| 5            | 9         | Среднезернистый порфировидный гранодиорит р. Зун-Шевартай                                  | 69,50            | 0,32             | 16,80                          | 0,05                           | 3,50 | 0,05 |  |  |
| 6            | 11        | То же, р. Кумыльская Алия  | 69,23            | 0,33             | 15,61                          | 0,03                           | 3,15 | 0,05 |  |  |
| 7            | 16        | То же, р. Нижняя Улури   | 71,08            | 0,27             | 15,20                          | 0,04                           | 3,15 | 0,05 |  |  |
| 8            | 7         | Неравномернозернистые и мелкозернистые гранодиориты и кварцевые диориты, р. Передний Алтан | 68,60            | 0,29             | 15,75                          | 0,05                           | 3,50 | 0,05 |  |  |
| 9            | 1961      | То же, р. Передний Алтан   | 70,14            | 0,34             | 15,83                          | 0,60                           | 3,15 | 0,04 |  |  |
| 10           | 1         | Неравномернозернистые и мелкозернистые гранодиориты и кварцевые диориты, р. Агуца          | 66,80            | 0,41             | 16,98                          | 0,02                           | 4,30 | 0,06 |  |  |
| 11           | 15        | То же, р. Кегин-Акуй   | 67,0             | 0,45             | 16,56                          | 0,21                           | 3,90 | 0,05 |  |  |
| 12           | 19        | То же, р. Малый Улентуй  | 67,50            | 0,46             | 16,93                          | 0,12                           | 4,2  | 0,06 |  |  |
| 13           | 3         | То же, падь Зун-Хатун  | 65,75            | 0,46             | 16,02                          | 0,47                           | 4,30 | 0,05 |  |  |
| 14           | 05        | То же, р. Нижн. Джермалтай   | 68,10            | 0,34             | 15,54                          | 1,28                           | 3,08 | 0,05 |  |  |
| 15           | 05        | То же, р. Нижн. Джермалтай   | 66,16            | 0,49             | 15,74                          | 0,33                           | 3,56 | 0,08 |  |  |

## ИЗВЕРЖЕННЫХ ПОРОД

| ние в %      |      |      |                   |                       |                               |        |                                | Автор коллекции и год сбора | Лаборатория и аналитик |  |  |
|--------------|------|------|-------------------|-----------------------|-------------------------------|--------|--------------------------------|-----------------------------|------------------------|--|--|
|              | MgO  | CaO  | Na <sub>2</sub> O | K <sub>2</sub> O      | P <sub>2</sub> O <sub>5</sub> | П.п.п. | Сумма                          |                             |                        |  |  |
| вые интрузии |      |      |                   |                       |                               |        |                                |                             |                        |  |  |
| фаза         |      |      |                   |                       |                               |        |                                |                             |                        |  |  |
| 1,07         | 2,95 | 3,55 | 3,45              | 0,12                  | —                             | 99,74  | В. В. Старченко, 1956—1957 гг. | ЧГУ, Тихонова               |                        |  |  |
| 1,03         | 2,71 | 3,34 | 3,19              | 0,12                  | —                             | 98,77  | То же                          | То же                       |                        |  |  |
| 2,23         | 3,15 | 4,18 | 2,26              | 0,10                  | 0,87                          | 99,93  | „ „                            | „ „                         |                        |  |  |
| 1,77         | 3,28 | 3,48 | 2,31              | 0,10                  | 0,57                          | 100,3  | „ „                            | „ „                         |                        |  |  |
| фаза         |      |      |                   |                       |                               |        |                                |                             |                        |  |  |
| 1,19         | 2,47 | 2,66 | 4,02              | 0,08                  | —                             | 100,14 | В. В. Старченко, 1956—1957 гг. | ЧГУ, Тихонова               |                        |  |  |
| 0,85         | 2,44 | 3,06 | 3,68              | 0,08                  | —                             | 98,51  | То же                          | То же                       |                        |  |  |
| 0,70         | 1,92 | 3,46 | 3,77              | 0,05                  | —                             | 99,69  | „ „                            | „ „                         |                        |  |  |
| 1,44         | 2,73 | 3,24 | 3,23              | 0,06                  | —                             | 98,94  | „ „                            | „ „                         |                        |  |  |
| 0,84         | 2,01 | 3,72 | 3,50              | 0,11                  | 0,68                          | 100,96 | „ „                            | „ „                         |                        |  |  |
| 1,10         | 2,92 | 3,60 | 3,37              | 0,11                  | —                             | 99,67  | „ „                            | „ „                         |                        |  |  |
| 1,20         | 3,17 | 4,02 | 3,40              | 0,09                  | —                             | 100,05 | „ „                            | „ „                         |                        |  |  |
| 1,00         | 3,25 | 3,72 | 3,31              | 0,11                  | —                             | 100,66 | „ „                            | „ „                         |                        |  |  |
| 2,25         | 3,45 | 3,40 | 2,86              | 0,12                  | —                             | 99,13  | „ „                            | „ „                         |                        |  |  |
| 1,46         | 2,76 | 3,88 | 3,21              | 0,12                  | 0,41                          | 100,23 | „ „                            | „ „                         |                        |  |  |
| 2,07         | 3,27 | 3,41 | 3,53              | H <sub>2</sub> O—0,23 | 1,12                          | 99,99  | „ „                            | ВСЕГЕИ, М. Т. Селютина      |                        |  |  |

| № анализа        | № образца | Наименование породы и место взятия                             | Содержание       |                  |                                |                                |      |      |
|------------------|-----------|--|------------------|------------------|--------------------------------|--------------------------------|------|------|
|                  |           |  | SiO <sub>2</sub> | TiO <sub>2</sub> | Al <sub>2</sub> O <sub>3</sub> | Fe <sub>2</sub> O <sub>3</sub> | FeO  | MnO  |
| <b>Четвертая</b> |           |  |                  |                  |                                |                                |      |      |
| 16               | 20        | Граниты и лейкократовые гранодиориты порфировидные             | 70,36            | 0,27             | 15,01                          | 0,49                           | 3,10 | 0,05 |
| 17               | 2444      | То же, р. Анацакан   | 70,60            | 0,29             | 15,10                          | 1,27                           | 2,58 | 0,04 |
| 18               | 1859a     | То же, пос. Кулинда  | 71,40            | 0,27             | 14,23                          | 1,12                           | 2,72 | 0,05 |
| 19               | E-14-5    | То же, падь Талача   | 72,77            | 0,17             | 14,01                          | 0,32                           | 2,30 | 0,03 |
| 20               | 23        | Граниты с высоким содержанием кварца, падь Хатун (Былышинская) | 75,27            | 0,06             | 13,96                          | 0,04                           | 1,90 | 0,03 |
| 21               | 25        | То же, устье р. Угдыра   | 75,36            | 0,06             | 13,66                          | 0,10                           | 1,60 | 0,03 |
| 22               | 21        | То же, падь Талача   | 76,22            | 0,07             | 13,01                          | 0,05                           | 2,00 | 0,02 |
| 23               | 18        | Меланократовые гранодиориты краевой фации, падь Догибкыл       | 68,64            | 0,37             | 15,12                          | 0,43                           | 3,80 | 0,04 |
| 24               | 012       | То же, р. Букукун  | 69,70            | 0,37             | 15,00                          | 1,45                           | 3,15 | 0,06 |
| 25               | 2449a     | То же, устье р. Анацакан                                       | 64,05            | 0,74             | 16,24                          | 0,66                           | 3,85 | 0,11 |
| <b>Дайковые</b>  |           |  |                  |                  |                                |                                |      |      |
| 26               | K-14-1    | 1 этап<br>Мелкозернистый гранит, падь Талача                   | 76,12            | 0,08             | 13,29                          | 0,34                           | 1,86 | 0,05 |
| 27               | 739       | 2 этап<br>Лампрофир, падь Кегин-Акуй                           | 57,97            | 0,78             | 18,80                          | 1,57                           | 5,27 | 0,10 |
| 28               | 36706     | То же, падь Барун-Баяктоли                                     | 50,15            | 0,61             | 16,37                          | 2,07                           | 6,76 | 0,08 |
| 29               | 2256      | Диоритовый порфирит, падь Шивыча                               | 57,80            | 0,79             | 16,27                          | 0,50                           | 6,50 | 0,09 |
| 30               | 36066     | То же, падь Средние Кормачи                                    | 53,00            | 0,47             | 15,78                          | 1,85                           | 6,50 | 0,09 |
| 31               | 55946     | Плагиоклазовый порфирит, падь Бадаритуй                        | 63,49            | 0,55             | 17,25                          | 1,71                           | 3,81 | 0,07 |
| 32               | 7816      | То же, падь Зун-Бияктоли                                       | 59,20            | 0,52             | 15,65                          | 0,79                           | 5,31 | 0,08 |
| 33               | 2336a     | Плагиогранит-порфир, падь Ирэвэк                               | 66,30            | 0,40             | 15,45                          | 0,54                           | 4,15 | 0,05 |

| ние в %       |      |      |                   |                  |                               |        |                               | Автор коллекции и год сбора | Лаборатория и аналитик |
|---------------|------|------|-------------------|------------------|-------------------------------|--------|-------------------------------|-----------------------------|------------------------|
|               | MgO  | CaO  | Na <sub>2</sub> O | K <sub>2</sub> O | P <sub>2</sub> O <sub>5</sub> | П.п.п. | Сумма                         |                             |                        |
| <b>фаза</b>   |      |      |                   |                  |                               |        |                               |                             |                        |
| 0,28          | 1,68 | 3,73 | 4,10              | 0,12             | —                             | 99,19  | В. В. Старченко 1956—1957 гг. | ЧГУ, Тихонова               |                        |
| 0,73          | 2,12 | 3,32 | 3,10              | 0,13             | 0,40                          | 99,68  | То же                         | То же                       |                        |
| 0,78          | 1,80 | 3,60 | 3,45              | 0,08             | 0,19                          | 99,69  | " "                           | " "                         |                        |
| 0,51          | 0,86 | 3,50 | 4,71              | 0,07             | 0,20                          | 99,45  | " "                           | " "                         |                        |
| н. н.         | 1,13 | 2,19 | 4,25              | 0,02             | —                             | 99,85  | " "                           | " "                         |                        |
| н. н.         | 1,40 | 3,27 | 4,25              | 0,02             | —                             | 99,75  | " "                           | " "                         |                        |
| н. н.         | 0,97 | 2,78 | 4,78              | 0,02             | —                             | 99,92  | " "                           | " "                         |                        |
| 0,50          | 2,40 | 3,70 | 4,51              | 0,10             | н. н.                         | 99,52  | " "                           | " "                         |                        |
| 0,76          | 2,14 | 4,19 | 3,06              | 0,10             | 0,54                          | 100,52 | " "                           | " "                         |                        |
| 2,17          | 3,95 | 3,71 | 3,15              | н. н.            | 1,40                          | 100,04 | " "                           | " "                         | ВСЕГЕИ, М. Т. Селютина |
| <b>породы</b> |      |      |                   |                  |                               |        |                               |                             |                        |
| 0,22          | 0,82 | 3,24 | 4,36              | 0,09             | 0,22                          | 100,69 | " "                           | ЧГУ, Тихонова               |                        |
| 3,60          | 4,44 | 3,26 | 1,34              | 0,19             | 2,27                          | 99,59  | " "                           | То же                       |                        |
| 9,60          | 6,27 | 3,52 | 0,74              | 0,12             | 3,38                          | 99,67  | " "                           | " "                         |                        |
| 3,54          | 4,43 | 5,68 | 0,97              | 0,24             | 2,37                          | 99,63  | " "                           | " "                         |                        |
| 7,24          | 5,09 | 5,34 | 0,95              | 0,10             | 2,81                          | 99,92  | " "                           | " "                         |                        |
| 2,76          | 3,12 | 4,67 | 1,13              | 0,15             | 1,23                          | 99,94  | " "                           | " "                         |                        |
| 4,58          | 4,76 | 4,46 | 1,39              | 0,10             | 2,85                          | 99,69  | " "                           | " "                         |                        |
| 2,36          | 3,32 | 2,85 | 2,30              | 0,10             | 1,23                          | 99,05  | " "                           | " "                         |                        |

| № анализа                    | № образца | Наименование породы и место взятия        | Содержа-         |                  |                                |                                |      |      |  |  |
|------------------------------|-----------|---|------------------|------------------|--------------------------------|--------------------------------|------|------|--|--|
|                              |           |   | SiO <sub>2</sub> | TiO <sub>2</sub> | Al <sub>2</sub> O <sub>3</sub> | Fe <sub>2</sub> O <sub>3</sub> | FeO  | MnO  |  |  |
| Среднеюрские<br>Сохондинский |           |   |                  |                  |                                |                                |      |      |  |  |
| интрузии<br>комплекс         |           |   |                  |                  |                                |                                |      |      |  |  |
| 34                           | 6052      | Гранодиорит-порфир, падь Хатун            | 65,72            | 0,45             | 16,00                          | 0,69                           | 5,10 | 0,06 |  |  |
| 35                           | 08        | Плагиоклазовый порфирит, р. Барун-Цохондо | 57,80            | 1,43             | 15,35                          | 3,89                           | 5,38 | 0,07 |  |  |
| 36                           | 02        | Дацит, гольцы Цаган-Ула                   | 67,78            | 0,43             | 15,62                          | 0,47                           | 4,12 | 0,04 |  |  |
| 37                           | 06        | Дацит, р. Барун-Цохондо                   | 68,70            | 0,37             | 15,77                          | 1,13                           | 3,11 | 0,05 |  |  |
| Харалгинский                 |           |   |                  |                  |                                |                                |      |      |  |  |
| 38                           | 2446      | Редкопорфировидный гранит р. Анацакан     | 75,73            | 0,10             | 13,23                          | —                              | 1,78 | 0,06 |  |  |
| 39                           | 2444a     | То же р. Анацакан                         | 65,00            | 0,70             | 16,96                          | 0,73                           | 3,73 | 0,05 |  |  |
| 40                           | 04        | То же, низовья р. Зун-Цохондо             | 75,80            | 0,12             | 13,07                          | 1,06                           | 1,43 | 0,05 |  |  |
| 41                           | 01        | Аляскитовый гранит р. Анацакан            | 75,77            | 0,09             | 12,50                          | 0,31                           | 1,61 | 0,05 |  |  |
| 42                           | 07        | То же, р. Былыра участок Кулинда          | 72,80            | 0,20             | 14,29                          | 0,95                           | 2,07 | 0,05 |  |  |
| 43                           | 5089      | Гранит-порфир, падь Талача                | 73,70            | 0,15             | 13,37                          | 0,37                           | 2,69 | 0,03 |  |  |

| автор коллекции и год сбора   | Лаборатория и аналитик | ние в % |      |                   |                  |                               |        |                        |  |
|---|------------------------|---------|------|-------------------|------------------|-------------------------------|--------|------------------------|--|
|   |                        | MgO     | CaO  | Na <sub>2</sub> O | K <sub>2</sub> O | P <sub>2</sub> O <sub>5</sub> | П.п.п. | Сумма                  |  |
| интрузии<br>комплекс  |                        |         |      |                   |                  |                               |        |                        |  |
| 1,40 3,46 3,24 3,29 0,12 н. н. 99,53 В. В. Старченко, 1956—1957 гг. ЧГУ, Тихонова |                        |         |      |                   |                  |                               |        |                        |  |
| 2,65  | 5,76                   | 3,89    | 2,34 | 0,93              | 0,71             | 100,2                         | То же  | То же                  |  |
| 1,57  | 3,15                   | 3,90    | 3,61 | 0,10              | 0,20             | 100,99                        | „ „    | „ „                    |  |
| 1,14  | 2,89                   | 3,95    | 2,27 | 0,13              | 0,28             | 99,79                         | „ „    | „ „                    |  |
| комплекс  |                        |         |      |                   |                  |                               |        |                        |  |
| 0,28  | 0,85                   | 3,35    | 4,30 | 0,24              | 0,45             | 100,37                        | „ „    | ВСЕГЕИ, М. Т. Селютина |  |
| 1,65  | 3,58                   | 3,88    | 3,10 | 0,23              | 0,66             | 100,27                        | „ „    | ЧГУ, Тихонова          |  |
| —   | 0,78                   | 3,93    | 4,00 | 0,03              | 0,10             | 100,37                        | „ „    | То же                  |  |
| 0,20  | 0,77                   | 2,46    | 5,22 | 0,04              | 0,21             | 99,23                         | „ „    | „ „                    |  |
| 0,40  | 1,57                   | 4,28    | 4,03 | 0,08              | 0,48             | 101,20                        | „ „    | „ „                    |  |
| 0,39  | 0,85                   | 4,63    | 3,58 | 0,13              | 0,19             | 100,08                        | „ „    | То же                  |  |

Продолжение прилож. 5

Числовые характеристики изверженных пород по А. Н. Заварицкому

| № анализа | <i>a</i> | <i>c</i> | <i>b</i> | <i>s</i> | <i>a'</i> | <i>f'</i> | <i>m'</i> | <i>c'</i> | <i>n</i> | <i>Q</i> | <i>a/c</i> |
|-----------|----------|----------|----------|----------|-----------|-----------|-----------|-----------|----------|----------|------------|
| 1         | 12,55    | 3,56     | 8,28     | 75,61    | 27,64     | 50,41     | 21,95     | —         | 60,20    | 22,56    | 3,50       |
| 2         | 11,84    | 3,24     | 9,77     | 75,15    | 34,48     | 46,21     | 18,62     | —         | 61,3     | 23,38    | 3,65       |
| 3         | 12,40    | 3,80     | 10,00    | 73,80    | 18,80     | 43,70     | 37,50     | —         | 73,90    | 19,00    | 3,34       |
| 4         | 10,65    | 3,93     | 11,12    | 74,30    | 35,93     | 37,73     | 26,34     | —         | 70,00    | 23,37    | 2,70       |
| 5         | 10,07    | 2,88     | 11,12    | 75,93    | 51,80     | 30,60     | 17,60     | —         | 45,45    | 28,84    | 3,45       |
| 6         | 11,85    | 2,97     | 7,27     | 77,91    | 58,90     | 41,70     | 19,40     | —         | 55,70    | 29,15    | 4,00       |
| 7         | 12,68    | 2,24     | 6,61     | 78,47    | 38,00     | 45,00     | 17,00     | —         | 58,33    | 29,34    | 5,60       |
| 8         | 11,51    | 3,22     | 8,49     | 76,78    | 31,49     | 39,38     | 29,13     | —         | 60,46    | 27,33    | 5,21       |
| 9         | 14,05    | 2,36     | 6,57     | 77,02    | 24,00     | 55,00     | 21,00     | —         | 56,07    | 23,58    | 5,96       |
| 10        | 12,64    | 3,50     | 8,74     | 75,12    | 32,31     | 46,92     | 20,77     | —         | 67,70    | 21,46    | 3,61       |
| 11        | 13,67    | 3,79     | 6,70     | 75,84    | 12,12     | 57,58     | 30,30     | —         | 64,36    | 20,35    | 3,60       |
| 12        | 12,66    | 3,86     | 8,13     | 75,33    | 21,39     | 58,19     | 20,50     | —         | 63,16    | 21,50    | 3,28       |
| 13        | 11,64    | 4,13     | 9,68     | 74,55    | 13,99     | 46,85     | 39,16     | —         | 63,90    | 21,69    | 2,80       |
| 14        | 13,03    | 3,29     | 7,25     | 76,4     | 11,11     | 55,56     | 33,33     | —         | 65,00    | 23,54    | 4,00       |
| 15        | 12,56    | 3,96     | 7,85     | 75,63    | 6,95      | 47,83     | 54,22     | —         | 69,80    | 22,18    | 3,20       |
| 16        | 13,95    | 2,01     | 5,16     | 78,88    | 33,77     | 57,14     | 9,09      | —         | 57,69    | 27,85    | 6,94       |
| 17        | 11,44    | 2,53     | 7,79     | 78,24    | 41,03     | 44,44     | 14,53     | —         | 61,63    | 31,07    | 4,52       |
| 18        | 12,52    | 2,13     | 6,35     | 79,00    | 26,04     | 55,21     | 18,75     | —         | 61,90    | 30,83    | 5,87       |
| 19        | 13,36    | 0,96     | 7,22     | 78,16    | 28,57     | 60,71     | 10,72     | —         | 52,83    | 28,04    | 14,22      |
| 20        | 10,42    | 1,31     | 6,58     | 81,69    | 72,27     | 27,73     | 41,44     | —         | 43,12    | 41,23    | 8,00       |
| 21        | 12,88    | 1,65     | 2,96     | 82,51    | 46,66     | 53,34     | —         | —         | 53,57    | 37,61    | 7,80       |
| 22        | 12,36    | 1,11     | 3,90     | 82,63    | 50,00     | 50,00     | —         | —         | 46,81    | 39,43    | 12,12      |
| 23        | 14,62    | 2,71     | 5,08     | 77,59    | —         | 80        | 16,00     | 4         | 55,55    | 23,23    | 5,37       |
| 24        | 13,02    | 2,48     | 8,72     | 75,78    | 13,43     | 73,14     | 13,43     | —         | 67,00    | 23,04    | 5,25       |
| 25        | 13,47    | 0,37     | 8,64     | 77,52    | —         | 51,67     | 44,17     | 4,16      | 64,17    | 27,73    | 36,70      |
| 26        | 12,50    | 0,88     | 6,16     | 80,46    | 36,08     | 58,77     | 35,15     | —         | 52,79    | 35,04    | 14,20      |
| 27        | 9,27     | 5,46     | 17,83    | 67,44    | 29,45     | 36,05     | 34,50     | —         | 78,35    | 10,88    | 1,69       |
| 28        | 8,76     | 6,75     | 25,87    | 58,62    | —         | 32,26     | 63,98     | 3,76      | 88,88    | 7,03     | 1,29       |
| 29        | 14,12    | 4,31     | 13,98    | 67,59    | —         | 48,26     | 43,28     | 8,46      | 89,60    | 2,63     | 3,27       |
| 30        | 13,10    | 3,90     | 22,32    | 60,68    | —         | 34,93     | 54,94     | 10,13     | 89,06    | —8,74    | 3,36       |
| 31        | 11,59    | 3,70     | 13,40    | 71,31    | 28,00     | 38,00     | 34,00     | —         | 86,10    | 15,74    | 3,13       |
| 32        | 11,89    | 4,64     | 14,87    | 68,60    | —         | 39,08     | 52,55     | 8,37      | 83,14    | 8,78     | 2,56       |
| 33        | 9,43     | 4,00     | 11,39    | 75,18    | 27,38     | 38,10     | 54,52     | —         | 65,47    | 27,50    | 2,36       |
| 34        | 11,79    | 4,15     | 9,13     | 74,93    | 14,18     | 59,70     | 26,12     | —         | 60,11    | 22,13    | 2,84       |
| 35        | 11,98    | 4,41     | 15,71    | 67,90    | —         | 54,19     | 29,07     | 16,74     | 72,09    | 7,43     | 2,71       |
| 36        | 13,50    | 3,41     | 7,22     | 75,87    | —         | 59,26     | 36,11     | 4,63      | 62,37    | 21,33    | 3,96       |
| 37        | 11,72    | 3,49     | 7,78     | 77,01    | 25,86     | 50,00     | 24,14     | —         | 72,57    | 27,09    | 3,36       |
| 38        | 13,00    | 0,96     | 3,90     | 82,14    | 47,45     | 42,38     | 10,17     | —         | 54,00    | 37,32    | 13,54      |
| 39        | 13,00    | 4,31     | 8,07     | 74,62    | 14,43     | 50,81     | 34,76     | —         | 65,26    | 18,93    | 3,01       |
| 40        | 13,64    | 0,84     | 3,51     | 82,01    | 37,57     | 62,43     | —         | —         | 60,00    | 35,90    | 16,23      |
| 41        | 9,62     | 0,85     | 6,99     | 82,54    | 68,22     | 27,11     | 4,67      | —         | 53,06    | 44,19    | 11,32      |
| 42        | 14,68    | 1,84     | 3,49     | 79,99    | 1,89      | 79,24     | 18,87     | —         | 61,88    | 28,78    | 7,43       |
| 43        | 14,72    | 0,98     | 3,86     | 80,44    | 10,17     | 72,88     | 16,95     | —         | 66,22    | 30,46    | 15,02      |